



# HABILITATION A DIRIGER DES RECHERCHES

Université Louis Pasteur  
Laboratoire de Physique Théorique

Présentée par *Michel Rausch de Traubenberg*

## Algèbres de Clifford Supersymétrie et Symétries $\mathbb{Z}_n$ Applications en Théorie des Champs

*Soutenue le 23 Octobre 1997 devant la commission d'examen*

N. Fleury	
A. Comtet	
R. Kerner	Rapporteur externe
J. Richert	
M. Rosso	Rapporteur interne
M. G. Schmidt	Rapporteur externe
J. -B. Zuber	Président



LPT 97-02

# Algèbres de Clifford

Supersymétrie et Symétries  $\mathbb{Z}_n$

Applications en Théorie des Champs

M. Rausch de Traubenber<sup>1</sup>

*Laboratoire de Physique Théorique*

*3 rue de l'Université, 67084 Strasbourg cedex, FRANCE*

---

<sup>1</sup>rausch@lpt1.u-strasbg.fr

*A Monique et Yourik,  
A Véronique,  
Au petit être que j'attends avec impatience ...  
Aurélien, qui est venu entre temps.*

# REMERCIEMENTS

Cette habilitation à diriger des recherches est le fruit d'une dizaine d'années de recherche. Je voudrais tout d'abord exprimer mes remerciements à tous mes collaborateurs, Norbert Fleury, Asher Perez, Pascal Simon, Marcus Slupinski et Robert Yamaleev ainsi que Ulrich Ellwanger et Carlos Savoy. A cet égard, une pensée toute particulière va à Norbert Fleury que je considère comme un de mes plus "anciens collaborateurs", je ne pourrai que regretter ses fonctions de plus en plus prenantes à l'IUFM. Je tiens également à remercier tout spécialement Carlos Savoy qui, lors de ma thèse de doctorat, a su me transmettre une certaine façon d'aborder la physique.

Je souhaite remercier tous les membres de mon jury, A. Comtet, R. Kerner, J. Richert, M. Rosso, M. G. Schmidt et J.-B. Zuber, pour l'intérêt qu'ils ont manifesté pour ce travail et pour les discussions que nous avons pu avoir, discussions qui m'ont permis de progresser et qui m'ont ouvert de nouvelles perspectives.

Durant toutes ces années, j'ai profité de nombreuses discussions et conseils. Remercier nominativement tous le monde prendrait trop de place. Cependant, j'aimerais, parmi toutes ces personnes anonymes, mentionner P. Grangé, C. Schubert et L. Wills Toro.

Je voudrais également exprimer mes remerciements à tous mes collègues, et en particulier à J. -L. Jacquot et N. Rivier.

En dernier lieu, je tiens à remercier parents et amis, et parmi eux tout spécialement Monique et Yourik. Une pensée toute particulièrement affectueuse va à Véronique.

Après une brève introduction concernant les algèbres de Clifford associées à un polynôme quelconque, nous indiquons une méthode systématique permettant d'en obtenir une représentation matricielle. Les matrices ainsi construites peuvent être considérées comme une extension des matrices de Dirac car elles permettent la linéarisation d'un polynôme arbitraire. Cette méthode met en évidence deux structures fondamentales: les algèbres de Grassmann et de Clifford généralisées. Ces dernières permettent de définir une généralisation naturelle des nombres complexes et des quaternions que nous étudions. Il apparaît, en outre, que si on munit les algèbres de Grassmann généralisées d'une structure différentielle, on obtient une algèbre de Heisenberg  $q$ -déformée (ou algèbre des  $q$ -oscillateurs); celle-ci permet de construire une représentation de l'algèbre de Clifford du polynôme  $x^{F-1}y$ . Ensuite, en mettant en avant les propriétés des espaces de dimension un, deux et trois, et en utilisant l'algèbre de Heisenberg  $q$ -déformée, nous construisons explicitement une extension des théories supersymétriques, appelée supersymétrie fractionnaire d'ordre  $F$  (FSUSY). La FSUSY se trouve donc, de ce fait, naturellement associée au polynôme  $x^{F-1}y$ . Nous appliquons alors la FSUSY en dimension 1, dans le formalisme de la ligne d'univers, et en suivant la méthode de quantification avec contraintes, nous dérivons une extension de l'équation de Dirac. En dimension 2, il apparaît que la FSUSY est une théorie conforme connectant des champs primaires de poids conformes  $(0, 1/F, \dots, (F-1)/F)$ , et outre le tenseur énergie-impulsion, on construit un courant conservé de poids conforme  $1 + 1/F$ . L'algèbre (OPE) est alors complètement déterminée, et on montre que la charge centrale est rationnelle pour  $F = 2$  (la supersymétrie usuelle), 3 et 4. Puis, nous nous attachons à construire une extension non-triviale de l'algèbre de Poincaré en dimension  $1 + 2$ . Après avoir étudié les représentations de cette algèbre, on montre que la FSUSY en  $3d$  est une symétrie qui agit sur des champs de spin fractionnaire ou anyons. Pour terminer, et ceci quelque soit la dimension, il apparaît qu'une classification naturelle des théories FSUSY émerge en décomposant  $F$ , l'ordre de la FSUSY, en ses produits de facteurs premiers; ainsi, une théorie FSUSY d'ordre  $F_1 F_2$  sera invariante d'ordre  $F_1$  ( $F_2$ ). On peut donc définir des sous-systèmes présentant des sous-symétries.

# Contents

<b>Introduction</b>	<b>5</b>
<b>1 Extensions des Algèbres de Clifford et de Grassmann</b>	<b>9</b>
1.1 Algèbres de Clifford d'un polynôme . . . . .	11
1.1.1 Définition . . . . .	11
1.1.2 Représentations . . . . .	13
1.1.2.1. Polynôme produit . . . . .	14
1.1.2.2. Polynôme somme-Algèbre de Clifford généralisée . . . . .	14
1.1.2.3. Polynôme quelconque . . . . .	16
1.1.2.4. Algèbre de Grassmann généralisée . . . . .	18
1.1.3 Algèbre de Clifford du polynôme $\mathbf{x}^{n-1}\mathbf{y}$ . . . . .	19
1.2 Extension des nombres complexes . . . . .	20
1.2.1 Propriétés algébriques des multicomplexes . . . . .	21
1.2.1.1 Norme . . . . .	22
1.2.1.2 Représentations polaire et cartésienne . . . . .	23
1.2.1.3 Fonctions trigonométriques . . . . .	24
1.2.2 Analyse multicomplexe . . . . .	25
1.2.3 Invariance conforme . . . . .	27
1.3 $n^2$ -ions . . . . .	29
1.4 Applications . . . . .	31
<b>2 Algèbre de Heisenberg <math>q</math>-déformée et <math>q</math>-oscillateurs</b>	<b>33</b>
2.1 Algèbre de Heisenberg $q$ -déformée . . . . .	35
2.1.1 Dérivation . . . . .	35
2.1.2 Représentations . . . . .	36
2.1.3 Inclusions . . . . .	37
2.2 $q$ -oscillateurs . . . . .	38
2.2.1 Algèbre des $q$ -oscillateurs . . . . .	38
2.2.2 Base des états cohérents . . . . .	39

2.3	Famille de $q$ -oscillateurs . . . . .	40
2.3.1	Systèmes de $q$ -oscillateurs . . . . .	41
2.3.1.1.	Quantification de l'algèbre de Grassmann généralisée . . . . .	41
2.3.1.2.	L'hyperplan quantique . . . . .	42
2.3.1.3.	Extensions alternatives. . . . .	43
2.3.2	Intégration . . . . .	44
2.3.2.1.	Intégration et base des états cohérents . . . . .	44
2.3.2.2.	Changement de variables . . . . .	45
2.3.2.3.	Intégrale de chemin . . . . .	46
<b>3</b>	<b>Extension de la supersymétrie: Supersymétrie fractionnaire</b>	<b>49</b>
3.1	Supersymétrie fractionnaire en dimension 1 . . . . .	53
3.1.1	Groupe d'invariance de la ligne d'univers . . . . .	53
3.1.2	De la ligne d'univers à la super-ligne d'univers . . . . .	54
3.1.3	Action invariante par transformations FSUSY . . . . .	56
3.1.3.1.	$F$ est un nombre premier . . . . .	56
3.1.3.2.	FSUSY d'ordre $F$ non-premier . . . . .	58
3.1.3.3.	Structure de l'algèbre FSUSY . . . . .	59
3.1.4	Invariance locale . . . . .	60
3.1.5	Quantification de Dirac . . . . .	63
3.1.6	Perspectives et questions ouvertes . . . . .	65
3.2	Supersymétrie fractionnaire en dimension 2 et invariance conforme . . . . .	66
3.2.1	Superespace fractionnaire et extension de l'algèbre de Virasoro . . . . .	66
3.2.2	Action . . . . .	68
3.2.3	Invariance . . . . .	70
3.2.4	Intégrale de chemin et fonctions de Green . . . . .	70
3.2.5	Oscillateurs, ordre normal et théorème de Wick . . . . .	71
3.2.6	Espace de Hilbert et quons . . . . .	74
3.2.7	Algèbre des courants . . . . .	75
3.2.8	Associativité . . . . .	76
3.2.9	Applications . . . . .	78
3.3	Supersymétrie fractionnaire en dimension $1 + 2$ et anyons . . . . .	82
3.3.1	Représentations de l'algèbre de Poincaré . . . . .	82
3.3.2	Extension de l'algèbre de Poincaré et supersymétrie fractionnaire . . . . .	86
3.3.3	Propriétés . . . . .	89
3.3.3.1.	Structure de l'algèbre . . . . .	89
3.3.3.2.	Extensions avec charges centrales . . . . .	90
3.3.3.3.	Propriétés générales . . . . .	90

3.3.4	Représentations de l'algèbre . . . . .	91
3.3.5	Perspectives . . . . .	94
	<b>Conclusion</b>	<b>97</b>
	<b>Références</b>	<b>99</b>





# Introduction

Notre interprétation des propriétés physiques des particules élémentaires passe, par exemple, par une description algébrique. Le concept d'algèbre devient alors intimement corrélé au comportement des particules. De ce fait, la connaissance des symétries fondamentales permet de mettre en avant un certain nombre de caractéristiques et de faire des prédictions que l'on pourra confronter à l'expérience. Ainsi, ce principe directeur a permis de construire des théories plus ou moins bien confirmées expérimentalement. Etant donné que les mêmes grands principes sous-tendent ces diverses approches, on peut noter une certaine cohérence dans la façon dont, à partir du modèle standard, on construit la théorie des cordes.

Toutes ces descriptions ont cependant une caractéristique commune car elles sont basées sur des structures algébriques similaires. Les unes sont associées aux algèbres de Lie et les autres aux super-algèbres de Lie. Les premières sont donc liées à des générateurs bosoniques et les secondes, à des générateurs fermioniques.

Avant que la théorie des cordes ne devienne une théorie susceptible de décrire les particules élémentaires, une certaine liberté semblait de mise: on recherchait, dans le cadre des théories de Grand-Unification, un groupe de jauge plus ou moins grand mais reproduisant au moins celui du modèle standard, ou bien, suivant l'approche des théories de Kaluza-Klein, on augmentait la dimension de l'espace-temps ou encore on imposait une théorie supersymétrique, etc.. Beaucoup de bonnes raisons allaient dans le sens de telle ou telle description mais aucun argument n'imposait une approche plutôt qu'une autre.

Avec la théorie des cordes, de nouvelles perspectives sont apparues dans le formalisme fondamental, et les propriétés des particules pouvaient être comprises à partir de l'étude des symétries sur la surface d'univers de la corde. Autrement dit, on a, avec cette alternative, une corrélation entre la physique en dimension 2 et la physique dans l'espace-temps, ce qui revient à dire que la physique dans l'espace-temps est contrainte par les propriétés d'invariance à deux dimensions. Parallèlement aux théories de cordes, une approche similaire s'est développée et une description relativiste des particules, voire une théorie des champs, peut être induite par une description des particules sur la ligne d'univers. On voit donc que, suivant cette logique, les petites dimensions tiennent un rôle particulier. En outre, dans les espaces de petites dimensions, il est possible de définir des états qui ne présentent ni les

caractéristiques des bosons, ni celles des fermions. Cette propriété permet donc de définir de nouvelles structures algébriques ne reposant ni sur des bosons ni sur des fermions. On peut alors se poser la question de l'incidence de telles algèbres sur les propriétés physiques des systèmes qu'ils décrivent. Tout comme les super-algèbres admettent comme structures fondamentales les algèbres de Clifford ou de Grassmann, il va falloir introduire des structures analogues engendrant ces nouveaux types d'algèbres.

D'un point de vue mathématique, et indépendamment de toutes alternatives et perspectives physiques, s'est développée une généralisation des algèbres de Clifford et de Grassmann. Ces extensions, associées à un polynôme de degré plus grand que deux, ont été appelées algèbres de Clifford d'un polynôme et algèbres  $n$ -extérieures. Elles permettent de mettre en avant deux structures de base, les algèbres de Clifford et de Grassmann généralisées. Ces structures permettront de construire des théories que l'on peut comprendre comme des extensions des théories supersymétriques. De plus, ces généralisations présentent une propriété intéressante: une algèbre de Clifford ou de Grassmann généralisée, associée à un polynôme de degré  $n_1 n_2$  contient une algèbre de Clifford ou de Grassmann d'ordre  $n_1$  (ou  $n_2$ ) comme sous-algèbre. Cette classification se répercutera au niveau des théories généralisant la supersymétrie.

La première étape, que nous développerons dans le premier chapitre, consistera à définir cette structure algébrique fondamentale associée à un polynôme non-quadratique. On étudiera alors en détail les propriétés mathématiques de ces structures, propriétés qui nous permettront de construire des extensions naturelles des théories quadratiques (nombres complexes, quaternions, etc.).

Dans une seconde étape, nous mettrons en évidence le fait que ces nouvelles algèbres induisent naturellement une structure différentielle sur des variables non-commutatives, ou des oscillateurs présentant des  $q$ -déformations, et donc ouvrent des perspectives en géométrie non-commutative ou dans les groupes quantiques, où de tels objets sont également définis. Nous n'approfondirons pas cette possibilité.

Il apparaîtra alors, dans le troisième chapitre, que ces structures différentielles, connectées aux propriétés exceptionnelles des espaces de dimensions 1, 2, 3, vont nous permettre de définir une théorie allant au-delà de la supersymétrie, théorie appelée supersymétrie fractionnaire. Nous allons exploiter cette extension pour construire une théorie des champs en dimension 1, dans le langage du formalisme de la ligne d'univers; en dimension deux, en mettant en avant l'invariance conforme et en dimension  $1 + 2$ , en relation avec les anyons, ou états de spin fractionnaire.

A la différence des formes quadratiques et des algèbres  $\mathbb{Z}_2$ -graduées, où la structure mathématique est unique, dès que l'on considère des polynômes de degré supérieur à 2, tous les polynômes ne sont pas équivalents ( $f$  et  $g$  sont équivalents si on peut trouver une

---

transformation  $U$  telle que  $f(x) = g(Ux)$ , et donc de grandes classes de théories sont alors envisageables. De ce fait, d'un point de vue formel, il est bien évidemment primordial d'étudier ce type de théories ainsi que de mettre en évidence les concepts de base qui permettent de construire des extensions de la supersymétrie. En effet, potentiellement, à chaque famille de polynômes, et pour chaque représentation de son algèbre de Clifford associée, une extension des théories supersymétriques est envisageable. La FSUSY, quant à elle, est étroitement reliée au polynôme  $x^{F-1}y$  (ou à l'algèbre de Heisenberg  $q$ -déformée), et à sa version classique, l'algèbre de Grassmann généralisée. Il est également important de pouvoir étudier les conséquences physiques que ces généralisations impliquent.

Enfin, une approche algébrique générale peut, peut-être, mettre un peu d'ordre devant le foisonnement des idées ayant permis d'aller au-delà la supersymétrie.



# Chapter 1

## Extensions des Algèbres de Clifford et de Grassmann

La théorie des nombres a toujours été un sujet riche et fascinant, particulièrement lorsque celle-ci est sous-tendue par le concept d'algèbre. L'importance de la notion d'algèbre, tant en physique qu'en mathématique, n'est en effet plus à démontrer. Ainsi, par exemple, on peut noter le rôle central des algèbres dans la description des symétries des lois de la physique. Poussée à son paroxysme, cette idée a conduit du modèle standard de la physique des particules à la théorie des cordes, en passant par les théories de Grand Unification ou les théories dites supersymétriques. Toutes ces descriptions ont cependant une caractéristique commune: en effet, les relations de fermeture définissant la structure mathématique de ces groupes de symétrie sont toujours définies à partir de relations *bilinéaires* (commutateurs ou anticommutateurs). La raison profonde de cette propriété remarquable provient du fait que les opérateurs de la symétrie agissent sur un espace muni d'une métrique *i.e.* d'une forme quadratique. C'est pourquoi les formes quadratiques ont été amenées à jouer un rôle essentiel.

Historiquement, lors de la construction des différents types d'algèbres, le théorème d'Hurwitz (1898) a limité de façon drastique les extensions possibles des nombres réels. En effet, si on munit une algèbre  $\mathcal{A}$  d'une norme, on ne peut construire que quatre algèbres sans diviseurs de zéro et dont le produit des normes est la norme du produit pour tout élément de  $\mathcal{A}$  : les nombres réels, les complexes, les quaternions et les octonions. La prise en compte de structures mathématiques plus générales *nécessite* que l'on abandonne au moins l'une des conditions de validité du théorème d'Hurwitz.

Parmi les extensions qui ont joué un rôle crucial, on peut relever les algèbres dites de Clifford ou de Grassmann. Ces deux extensions sont définies *primo* à partir de relations de fermeture quadratiques, et *secundo* sont associées à un polynôme quadratique, comme nous allons le revoir ci-après. De ce fait, bien que les conditions de validité du théorème d'Hurwitz aient été relâchées, ces généralisations présentent des similarités avec les quaternions, elles

en constituent donc une extension (on note  $\mathcal{C}_2^p$  l'algèbre engendrée par  $p$  générateurs)

$$\mathbb{R} \longrightarrow \mathbb{C} \longrightarrow \mathbb{H} \longrightarrow \cdots \longrightarrow \mathcal{C}_2^p,$$

dans le sens où les réels (resp. complexes et quaternions) s'identifient à  $\mathcal{C}_2^0$  (resp.  $\mathcal{C}_2^1, \mathcal{C}_2^2$ ) c'est-à-dire sont engendrés par 0 (resp. 1, 2) générateur(s). Notons  $\Gamma_i, i = 1, \dots, p$  les  $p$  générateurs de  $\mathcal{C}_2^p$ . Ils sont soumis à la contrainte suivante<sup>1</sup>

$$\{\Gamma_i, \Gamma_j\} = 2\delta_{ij}.$$

Ces structures algébriques sont associées au polynôme quadratique  $S_2(x) = \sum_{i=1}^p x_i^2 = \left(\sum_{i=1}^p \Gamma_i x_i\right)^2$  et sont à la base de l'opérateur de Dirac ainsi que de la représentation spinorielle de  $SO(p)$ .

Les algèbres de Grassmann, quant à elles, se construisent à partir des algèbres de Clifford  $\mathcal{C}_2^{2p} \longrightarrow \mathcal{G}_2^p$ .

$$\begin{aligned} \mathcal{G}_2^p & : \theta_i = \frac{\Gamma_i + i\Gamma_{i+p}}{\sqrt{2}} \\ \mathcal{G}'_2^p & : \theta'_i = \frac{\Gamma_i - i\Gamma_{i+p}}{\sqrt{2}}. \end{aligned}$$

Pour un espace Euclidien,  $\theta_i$  et  $\theta'_i$  sont conjuguées l'une de l'autre. Il est facile de vérifier que l'on a

$$\begin{aligned} \{\theta_i, \theta_j\} & = 0 \\ \{\theta'_i, \theta'_j\} & = 0 \\ \{\theta_i, \theta'_j\} & = \delta_{ij}. \end{aligned}$$

Les deux premières relations constituent la définition de l'algèbre de Grassmann et nous montrent qu'une telle algèbre est associée au polynôme nul, vu en tant que polynôme quadratique car  $\left(\sum_{i=1}^p \theta_i x_i\right)^2 = 0$ . La dernière nous montre explicitement que les deux séries de variables constituent en fait des oscillateurs fermioniques et donc permettent de construire la représentation spinorielle à partir d'un vide de Clifford annihilé par les  $a$  ( $a_i \equiv \theta_i, a_i^\dagger \equiv \theta'_i$ ).

Comme nous l'avons rappelé, les algèbres de Clifford et de Grassmann sont sous-tendues par des formes quadratiques; en outre, ces structures algébriques admettent une structure  $\mathbb{Z}_2$ -graduée, et apparaissent naturellement dans les théories supersymétriques (où les bosons

---

<sup>1</sup>*Stricto sensu*, il faudrait tenir compte de la signature de la métrique, mais cela ne change en rien la discussion.

sont pairs et les fermions impairs). Ceci nous suggère la prise en compte d'algèbres associées à des polynômes homogènes de degré  $n$  et admettant une structure  $\mathbb{Z}_n$ -graduée. Cependant, il existe une différence essentielle entre les polynômes quadratiques et ceux qui ne le sont pas. Les premiers, quand  $n = 2$ , sont toujours équivalents au polynôme  $x_1^2 + x_2^2 + \dots$  (modulo le nombre de signes plus et moins), alors, pour les formes non-quadratiques ( $n > 2$ ), il n'est pas toujours possible de réécrire  $f$  sous forme diagonale. On aura donc affaire à des familles d'algèbres. De telles extensions ont été considérées par les mathématiciens et constituent les algèbres de Clifford d'un polynôme [1, 2, 3, 4, 5, 6, 7, 8, 9] ou les algèbres  $n$ -extérieures [10, 11]. Dans une première section, nous allons rappeler la définition de ces algèbres. A la différence des algèbres de Clifford usuelles, les algèbres de Clifford d'un polynôme *n'admettent pas de représentation fidèle de dimension finie*. Dans une seconde section, nous allons analyser cette propriété et donner une méthode qui permette dans tous les cas, d'obtenir une représentation matricielle *donc non fidèle* [12]. Les algèbres fondamentales qui émergeront lors de ce processus sont les algèbres dites de Clifford généralisées [13, 14, 15, 16, 17, 18, 19]; elles constitueront une généralisation directe du concept d'algèbre de Clifford. Ces familles d'algèbres, associées aux polynômes  $x_1^n + \dots$ , vont nous permettre d'obtenir une extension de la notion de nombre complexe ainsi que de celle de quaternion. Nous avons appelé les premiers multicomplexes alors que les seconds ont été nommés nonions (pour des polynômes cubiques) par Sylvester et  $n^2$ -ions dans le cas général par Cartan.

## 1.1 Algèbres de Clifford d'un polynôme

### 1.1.1 Définition

L'idée naturelle qui vient à l'esprit pour étendre la notion d'algèbre de Clifford, associée à un polynôme, consiste tout simplement à introduire une série de générateurs permettant d'écrire notre polynôme comme une puissance parfaite. Considérons un polynôme  $f$  de degré  $n$  à  $p$  variables. Comme tout polynôme non-homogène peut être rendu homogène en considérant les coordonnées projectives  $x_o^n f\left(\frac{x_1}{x_0}, \frac{x_2}{x_0}, \dots, \frac{x_p}{x_0}\right)$ , on peut se limiter aux polynômes homogènes. Cette structure algébrique a été introduite pour la première fois pour les polynômes homogènes par Roby [1] et les polynômes quelconques par Revoy [2] (en fait, les premiers, et de façon indépendante, à avoir introduit de telles algèbres sont, Heerema [9], mais uniquement pour des polynômes cubiques à trois variables, ainsi que Morinaga et Nōno, qui ont étudié les polynômes diagonaux [13]). Le polynôme  $f$  peut s'écrire soit à l'aide d'une série de monômes

$$f(x) = \sum_{i_1 + \dots + i_p = n} \left[ \alpha_{(i_1, \dots, i_p)} x_1^{i_1} \dots x_p^{i_p} \right], \quad (1.1.1)$$



ou bien, profitant de l'isomorphisme entre les polynômes et les tenseurs symétriques d'ordre  $n$ , comme suit

$$f(x) = \sum_{\{i\}} x_{i_1} x_{i_2} \cdots x_{i_n} g_{i_1 \cdots i_n}. \quad (1.1.2)$$

Par abus de langage, nous appellerons le tenseur  $g_{i_1 \cdots i_n}$ , la  $n$ -métrique associée à  $f$ . Introduisons alors  $p$  générateurs  $g_1, \cdots, g_p$  qui vont nous permettre de réécrire *par définition*  $f$  sous la forme d'une puissance  $n$ -ième

$$f(x) = \sum_{\{i\}} x_{i_1} x_{i_2} \cdots x_{i_n} g_{i_1 \cdots i_n} = \left( \sum_{i=1}^p x_i g_i \right)^n. \quad (1.1.3)$$

Si on développe explicitement la puissance apparaissant dans (1.1.3) (et que l'on identifie termes à termes avec l'expression (1.1.2)), alors on obtient la relation de définition des  $g$

$$\{g_{i_1}, g_{i_2}, \cdots, g_{i_n}\} = \frac{1}{n!} \sum_{\text{perm.}\sigma} g_{i_{\sigma(1)}} g_{i_{\sigma(2)}} \cdots g_{i_{\sigma(n)}} = g_{i_1 \cdots i_n}. \quad (1.1.4)$$

L'algèbre de Clifford du polynôme  $f$ , notée  $\mathcal{C}_f(n, p)$ , est donc engendrée par les  $p$  générateurs  $g_i$ . Les mathématiciens ont une construction plus formelle de  $\mathcal{C}_f(n, p)$ . Nous allons brièvement la mentionner, ce qui nous permettra de mettre en avant l'unification qui sous-tend ces différentes structures algébriques. A cet égard, introduisons l'ensemble des polynômes sur  $\mathcal{C}$  à  $p$  indéterminées  $\mathcal{C}[x_1, \cdots, x_p]$ . Utilisant l'isomorphisme entre les tenseurs symétriques  $T(\mathcal{C}^p)$  et  $\mathcal{C}[x_1, \cdots, x_p]$ , on définit l'idéal bilatère de  $T(\mathcal{C}^p)$

$$I = \left\{ \frac{1}{n!} \sum_{\text{perm.}\sigma} g_{i_{\sigma(1)}} g_{i_{\sigma(2)}} \cdots g_{i_{\sigma(n)}} - g_{i_1 \cdots i_n} = 0 \right\}, \quad (1.1.5)$$

engendré par les  $g_i$ . La contrainte de linéarisation peut alors se définir à l'aide des espaces quotients [1]

$$\mathcal{C}_f(n, p) \equiv T(\mathcal{C}^p)/I.$$

Le cas quadratique reproduit une définition plus formelle des algèbres de Clifford usuelles [20].

Le passage aux algèbres  $n$ -extérieures,  $\Lambda_n^p$ , se fait comme pour les polynômes quadratiques, c'est-à-dire en considérant  $f$  comme égal à zéro. Ceci revient donc à poser  $g_{i_1 \cdots i_n} = 0$   $\Lambda_n^p \equiv \mathcal{C}_{(f=0)}(n, p)$  [10, 11].

On voit apparaître une différence essentielle avec les polynômes quadratiques; en effet, les contraintes conduisant aux  $g$  sont  $n$ -linéaires et de ce fait, on voit immédiatement que, dès que  $n > 2$ , le nombre de monômes augmente avec leur degré :  $g_1 g_2 g_1$  est *indépendant* de  $g_1^2 g_2$  car (1.1.4) ne nous permet pas de passer  $g_1$  à gauche de  $g_2$ . Or, lorsque  $n = 2$ , la dimension de  $\mathcal{C}_f(2, p) \equiv \mathcal{C}_2^p$  est de  $2^{E(p/2)}$  ( $E$  étant la partie entière) et les  $g_i$  sont représentés

par les matrices  $\Gamma$  de Dirac, pour un polynôme arbitraire, la dimension de  $\mathcal{C}_f(n, p)$  est *infinie*. Childs a établi que  $\mathcal{C}_f(n, p)$  admet des représentations de dimension finie si l'une des deux conditions suivantes est vérifiée  $n = 2$  ou  $p \leq 2$  [3].

### 1.1.2 Représentations

Cependant, nous avons établi que tout polynôme peut être linéarisé par des matrices appropriées [12]. Ce qui revient à dire qu'il est toujours possible de mettre la main sur une représentation *non-fidèle* de  $\mathcal{C}_f(n, p)$ . De prime abord, la considération de telles représentations peut paraître surprenante (on verra cependant leur utilité au chapitre 3). En outre, le fait de considérer de telles représentations en physique n'est pas neuf. A titre d'illustration, nous ne citerons que deux exemples. Toute algèbre de Lie compacte peut être représentée par des matrices de taille appropriée et il est bien connu qu'une telle représentation est fidèle. Toutefois, dans l'algèbre enveloppante, une telle représentation est bien entendu *non-fidèle*. Ainsi, par exemple, si on considère  $SU(2)$ , il n'y a aucune raison pour que  $t_i$ , les générateurs de  $SU(2)$ , satisfassent  $t_i^2 = 1$ , alors que pour la représentation spinorielle  $t_i \rightarrow \sigma_i$ , on a bien  $\sigma_i^2 = 1$ . Comme autre exemple, nous considérerons le groupe des rotations (ou plus exactement son groupe de recouvrement universel). Pour un tel groupe, une rotation de  $2\pi$  conduit, pour les représentations de spin demi-entier, à un changement de signe, alors que pour celles de spin entier, on *identifie* la rotation de  $2\pi$  avec l'identité.

Ceci nous amène donc à la définition d'une représentation non-fidèle. Une représentation d'une algèbre  $\mathcal{A}$  est non-fidèle si on peut construire un homomorphisme surjectif (dont le noyau est non-nul). Appliqué aux algèbres  $\mathcal{C}_f$ , cet homomorphisme surjectif  $f_m$  nous permettra de remplacer (1.1.4) par des contraintes quadratiques. Notons  $\mathcal{L}_m(f, n, p)$  une représentation de dimension  $m$  de  $\mathcal{C}_f(n, p)$ :  $\mathcal{L}_m(f, n, p) = \mathcal{C}_f(n, p)/\text{Ker } f_m$ .

Avant de nous attaquer à la linéarisation d'un polynôme arbitraire, intéressons-nous aux deux polynômes particuliers:

-le polynôme somme:  $S(x) = \sum_{i=1}^p x_i^n$ ;

-le polynôme produit:  $P(x) = \prod_{i=1}^n x_i$ .

$S$  et  $P$  s'avèreront être les deux polynômes fondamentaux apparaissant dans le processus de linéarisation.

On peut noter que Childs, lors de son étude des algèbres de Clifford d'un polynôme, a établi un résultat proche du nôtre, pour la somme et le produit de polynômes, à savoir que si on connaît une représentation finie de  $\mathcal{C}_f(n, p)$  et  $\mathcal{C}_g(n', p')$  alors il en est de même pour une représentation de dimension finie de  $\mathcal{C}_{f+g}(n' = n, p + p')$  et de  $\mathcal{C}_{fg}(nn', p + p')$ . Les matrices apparaissant dans sa démonstration sont les mêmes que celles que nous introduirons dans les deux sections suivantes. Il était donc très proche de la conclusion quant à la linéarisation

d'un polynôme arbitraire. Remarquons que sa conclusion sur les représentations de dimension finie dès que  $p \leq 2$  découle automatiquement de sa propriété sur les polynômes produits.

### 1.1.2.1. Polynôme produit

Nous voulons trouver des matrices, de taille minimale, permettant de linéariser le polynôme produit. A cet égard, notons  $h_a$  les générateurs associés à la définition de  $\mathcal{C}_P(n, n)$ . Considérons alors les  $n^2$  éléments  $H_{ij}, i, j = 1 \cdots n$  assujettis à la loi de multiplication  $H_{ij}H_{kl} = \delta_{jk}H_{il}$  et définissons l'application  $h_i \rightarrow H_{ii+1}$ . Un calcul direct nous convainc que les  $H_{ii+i}$  satisfont la contrainte (1.1.4) associée à  $P$  et donc constituent une représentation non fidèle de  $\mathcal{C}_P(n, n)$ . Le noyau d'une telle représentation est donné par  $h_i h_j \neq 0 \rightarrow H_{ii+i}H_{jj+1} = 0$  pour  $j \neq i + 1$ . Cette application a, en outre, le mérite de souligner comment les relations de contraintes (1.1.4), d'ordre  $n$ , ont été remplacées par des contraintes quadratiques, avec comme corollaire l'existence d'une représentation de dimension finie pour les  $H_{ii+1}$ . En fait, la relation de multiplication donnée ci-dessus constitue tout simplement la loi de multiplication des éléments de la base canonique des matrices  $n \times n$ :  $(H_{ab})_{ij} = \delta_{ai}\delta_{bj}$  et donc la matrice représentative de  $h_a$  est donnée par  $(H_{aa+1})_{ij} = \delta_{ai}\delta_{a+1,j}$ . Il est aussi trivial de se rendre compte que la représentation exhibée est la représentation de *dimension minimale* de  $\mathcal{C}_P(n, n)$ .

### 1.1.2.2. Polynôme somme-Algèbre de Clifford généralisée

Nous allons procéder de façon similaire avec le polynôme somme, c'est-à-dire mettre en évidence une série de matrices conduisant à une linéarisation finie de  $S$ . En ayant la définition des matrices  $\Gamma$  en tête, considérons les  $p$  éléments (que nous notons également  $\Gamma$ , par analogie) satisfaisant

$$\begin{aligned} \Gamma_i \Gamma_j &= q \Gamma_j \Gamma_i, \quad i < j, \\ \Gamma_i^n &= 1, \end{aligned} \tag{1.1.6}$$

où  $q$  est une racine primitive  $n$ -ième de l'unité que nous choisissons égale à  $\exp\left(\frac{2i\pi}{n}\right)$ . Montrons que les éléments ainsi construits constituent une représentation de  $\mathcal{C}_S(n, p)$ , c'est-à-dire que les  $\Gamma$  satisfont la contrainte (1.1.4) avec  $g_{i_1 \cdots i_n} = \delta_{i_1 \cdots i_n}$ , le symbole de Kronecker généralisé. Si nous calculons  $\{\Gamma_{i_1}, \cdots, \Gamma_{i_n}\}$  avec

1. l'un des  $i$  égal à 1, puis deux des  $i$  égaux à 1 etc., et que l'on ramène tous les  $\Gamma_1$  en première position, on en déduit (en utilisant les relations coefficients-racines) que  $\{\Gamma_1, \cdots, \Gamma_1, \Gamma_{i_{a+1}}, \cdots, \Gamma_{i_n}\} = 0, a = 1, \cdots, n - 1$ ;

2. En réitérant le processus sans  $\Gamma_1$  et avec  $\Gamma_2$  et ainsi de suite, on obtient bien la propriété désirée.

On en déduit que l'ensemble des  $\Gamma$  constitue une représentation de  $\mathcal{C}_S(n, p)$ . Une telle représentation met la lumière sur les contraintes quadratiques (1.1.6) induisant une représentation matricielle de l'algèbre de Clifford du polynôme. Cette propriété a d'ailleurs été établie par Revoy [8]. Une telle algèbre, notée  $\mathcal{C}_n^p$ , a été nommée algèbre de Clifford généralisée [13, 14, 15, 16, 18, 19]. Nous avons ensuite mis en évidence la représentation *de dimension minimale* de  $\mathcal{C}_S(n, p)$  [12]; une telle démonstration étant longue et fastidieuse, nous ne la reproduisons pas ici. Nous allons nous contenter d'en rappeler les étapes.

*Primo*: nous avons établi que la taille minimale des matrices est  $n \times n$ ;

*Secundo*: uniquement si le nombre de variables est inférieur ou égal à 3, on peut utiliser des matrices  $n \times n$ .

Les matrices en question sont

$$\sigma_1 = \begin{pmatrix} 0 & 1 & 0 & \cdots & 0 \\ 0 & 0 & 1 & \cdots & 0 \\ \vdots & & \ddots & \ddots & \vdots \\ 0 & 0 & \cdots & 0 & 1 \\ 1 & 0 & 0 & \cdots & 0 \end{pmatrix}, \quad \sigma_3 = \begin{pmatrix} 1 & 0 & \cdots & 0 \\ 0 & q & \cdots & 0 \\ \vdots & & \ddots & \\ 0 & 0 & \cdots & q^{n-1} \end{pmatrix}, \quad \sigma_2 = (\sqrt{q})\sigma_3\sigma_1, \quad (1.1.7)$$

$\sqrt{q}$  étant présent uniquement si  $n$  est pair.

A partir des matrices  $\sigma$ , il devient facile de linéariser  $S$ , pour un nombre arbitraire de variables. En effet, si nous supposons avoir obtenu une linéarisation de  $S(x) = M^n(x)$ , on en déduit la linéarisation de  $S(x, y_1, y_2)$ :

$$S(x, y_1, y_2) = M^n(x) + y_1^n + y_2^n = [\sigma_3 \otimes M(x) + \sigma_1 y_1 + \sigma_2 y_2]^n.$$

Ce processus itératif conduit alors aux matrices  $\Gamma$  (en notant  $y_{i+2} = x_i$ )

$$\begin{aligned} \Gamma_1 &= \sigma_1 \otimes I^{\otimes(k-1)} & \Gamma_2 &= \sigma_2 \otimes I^{\otimes(k-1)} \\ \vdots & & \vdots & \\ \Gamma_{2l-1} &= \sigma_3^{\otimes(l-1)} \otimes \sigma_1 \otimes I^{\otimes(k-l-1)} & \Gamma_{2l} &= \sigma_3^{\otimes(l-1)} \otimes \sigma_2 \otimes I^{\otimes(k-l-1)} \\ \vdots & & \vdots & \\ \Gamma_{2k-1} &= \sigma_3^{\otimes(k-1)} \otimes \sigma_1 & \Gamma_{2k} &= \sigma_3^{\otimes(k-1)} \otimes \sigma_2 \\ & & \Gamma_{2k+1} &= \sigma_3^{\otimes k}. \end{aligned} \quad (1.1.8)$$

$I$  étant la matrice unité  $n \times n$ .

A cette étape, un certain nombre de remarques s'imposent. Il est d'abord frappant de noter que les relations qui définissent les matrices engendrant l'algèbre de Clifford généralisée correspondent aux expressions rencontrées dans les algèbres de Clifford usuelles, comme l'ont montré par exemple Brauer et Weyl [21]. De ce fait, la dimension minimale de la représentation est  $n^k$ ,  $k = E(p/2)$ . La classification de telles algèbres a été faite par Morris [15], Popovici et Ghéorghe [16], et présente un certain nombre de similarités comparée aux algèbres de Clifford; cette classification a d'ailleurs été étendue au cas où le corps de base n'est pas celui des nombres complexes [17]. Les matrices  $\Gamma$  avaient en outre déjà été mises en évidence par certains auteurs [13, 15] et dans les références [4, 14, 13, 18], il y est mentionné qu'une telle algèbre conduit à une linéarisation de  $x_1^n + \dots$ . A ce niveau, il subsiste une petite différence dès que  $n > 2$ , du fait des relations (1.1.6),  $\mathcal{C}_n^{p>1}$  ne peut être comprise que comme une  $\mathcal{C}$  algèbre. Enfin, si  $p$  est pair, on voit apparaître une matrice analogue à celle de chiralité. C'est cette analogie qui nous a fait choisir la notation de  $\Gamma$  pour les matrices (1.1.8).

Notons enfin que les matrices  $H$ , introduites dans le paragraphe concernant la linéarisation du polynôme produit, peuvent s'exprimer à partir de  $\sigma_1$  et de  $\sigma_3$

$$H_{ij} = \frac{1}{n} \sum_{k=0}^{n-1} q^{-(i-1)k} \sigma_3^k \sigma_1^{i-j}, \quad (1.1.9)$$

et de ce fait (pour les représentations exhibées), on a  $\mathcal{L}_n(S, n, 3) \sim \mathcal{L}_n(P, n, n) \sim \mathcal{M}_n(\mathbb{C})$ .

Comme cela été montré dans [15, 16], on a plus exactement les isomorphismes suivants:

quand  $p = 2\nu$ ,  $\mathcal{C}_n^p \sim \mathcal{M}_{n^\nu}(\mathbb{C})$ ;

quand  $p = 2\nu + 1$ ,  $\mathcal{C}_n^p \sim \oplus^p \mathcal{C}_n^{p-1} \sim \oplus^p \mathcal{M}_{n^\nu}(\mathbb{C})$ .

Ces algèbres admettent naturellement une  $\mathbb{Z}_n$  graduation, héritée de celle de ses générateurs ( $\text{gr}(\Gamma) = 1$ ), et on a la propriété remarquable  $(\mathcal{C}_n^p)_0 \sim \mathcal{C}_n^{p-1}$  [15, 16], propriété à la base de l'isomorphisme précédent ( $(\mathcal{C}_n^p)_0$  représente les éléments de graduation zéro de  $\mathcal{C}_n^p$ ). En outre, on peut noter que le centre de  $\mathcal{C}_n^{p=2\nu}$  est engendré par les  $\Gamma_1^{-a} \Gamma_2^a \cdots \Gamma_p^a$ ,  $a = 0, \dots, n-1$  [16]. Finalement, il est facile de se rendre compte que  $\mathcal{C}_n^p \subset \mathcal{C}_{nn'}^p$ , cette propriété sera exploitée par la suite.

### 1.1.2.3. Polynôme quelconque

La linéarisation d'un polynôme arbitraire est maintenant triviale et se fait à partir des deux algèbres précédemment construites. Partant de l'expression de  $f$  sous forme d'une somme de monômes, chacun de ceux-ci apparaît alors comme un cas particulier du polynôme  $P$

$$(x_1)^{a_1} (x_2)^{a_2} \cdots (x_p)^{a_p} = \left[ x_1 \left( \sum_{i=1}^{a_1} H_{ii+1} \right) + x_2 \left( \sum_{i=1+a_1}^{a_1+a_2} H_{ii+1} \right) + \cdots + x_p \left( \sum_{i=1+a_1+\cdots+a_{p-1}}^n H_{ii+1} \right) \right]^n.$$

Dans un premier, temps la linéarisation est donc faite à l'aide des matrices  $H$ . En notant  $m_l = M_l^n(x)$  le  $l$ -ième monôme apparaissant dans (1.1.1), on peut réécrire  $f(x) = \sum_l M_l^n(x)$ . On applique ensuite la méthode de linéarisation aux  $M_l$  (après les avoir rendues commutantes en substituant  $\tilde{M}_l = I^{\otimes l-1} \otimes M_l \otimes I^{\otimes k-l-1}$  à  $M_l$ ) en utilisant les matrices (1.1.8)

$$f(x) = \sum_{l=1}^k [\tilde{M}_l^n(x)] = \left[ \sum_{l=1}^k \Gamma_l \otimes \tilde{M}_l(x) \right]^n = [G_1 x_1 + \cdots + G_p x_p]^n.$$

Ceci termine le processus de linéarisation. Lors de celui-ci, à la différence des polynômes  $S$  et  $P$ , nous ne sommes absolument pas sûrs d'avoir obtenu la représentation de dimension minimale de  $\mathcal{C}_f$ . En effet, suivant le chemin choisi pour calculer les matrices  $G$ , on construit des matrices de taille différente. La raison profonde pour laquelle les matrices  $G$  ne sont pas, *a priori*, minimales est la suivante: si  $\mathcal{C}_{f_1}(n_1, p_1)$  et  $\mathcal{C}_{f_2}(n_2, p_2)$  sont représentées par des algèbres de dimensions  $m_1$  et  $m_2$  (que l'on suppose minimales), alors le processus développé ci-dessus conduit pour  $(f+g)$  et  $fg$  à  $\mathcal{L}_{m_1 m_2 (n_1+n_2)}(f_1 f_2, n_1 n_2, p_1+p_2)$  et  $\mathcal{L}_{n_1 m_1 m_2}(f_1+f_2, n_1 = n_2, p_1+p_2)$ , qui ne sont pas obligatoirement minimales, comme on peut le vérifier sur des exemples concrets. Quelques indications quant à l'optimisation du processus de linéarisation sont proposées dans [12]. Ceci sous-tend un problème beaucoup plus fondamental, celui de la classification des différentes représentations de  $\mathcal{C}_f$ , problème toujours non résolu à l'heure actuelle, sauf pour les polynômes cubiques [8]. Un certain nombre de résultats, en vue d'une classification générale, ont cependant été obtenus. Dans cette optique, Haille et Tesser ont établi que, la dimension de la représentation est un multiple du degré du polynôme [7]. La plupart des études ont été concentrées sur les polynômes cubiques [5, 9, 6].

Au vu de la méthode proposée, on peut noter le rôle central joué par les algèbres de Clifford généralisées  $\mathcal{C}_n^p$  car, en définitive, elles apparaissent comme les éléments fondamentaux liés à la linéarisation. Bien que pour chaque classe de polynôme, on ait une algèbre différente, on voit transparaître une certaine unité. D'un point de vue historique, on peut remarquer que les deux approches, algèbres de Clifford d'un polynôme [1, 2, 3, 4, 5, 6, 7, 8, 9, 10, 11] et algèbres de Clifford généralisées [13, 14, 15, 16], ont été faites de manière relativement indépendante l'une de l'autre. D'ailleurs, Kwasniewski a, en quelque sorte, redécouvert les premières algèbres à partir des secondes [18]. Avant de conclure cette section, mentionnons que, dans la référence [25], une méthode systématique permettant d'exprimer  $f(x)$  comme un produit de  $n$  matrices a été proposée. Ces deux méthodes (linéarisation et factorisation)

sont donc complémentaires, comme le sont la linérisation de Dirac et la factorisation quaternionique de la métrique de Minkowski.

#### 1.1.2.4. Algèbre de Grassmann généralisée

Le pendant des algèbres de Clifford généralisées s'avère être les algèbres de Grassmann généralisées. Cette structure, notée  $\mathcal{G}_n^p$ , émerge naturellement comme représentation de  $\Lambda_n^p$ . A partir des  $\Gamma$ , on peut construire  $n$  séries de matrices  $\theta_i^{(l)}, i = 1, \dots, p; l = 0, \dots, n - 1$  vérifiant

$$\begin{aligned} \theta_i^{(l)} \theta_j^{(k)} &= q \theta_j^{(k)} \theta_i^{(l)}, \quad i < j, \quad \forall k, l = 0, \dots, n - 1 \\ (\theta_i^{(l)})^n &= 0, \end{aligned} \quad (1.1.10)$$

et de ce fait, en utilisant des arguments similaires aux précédents, il est facile de s'assurer que l'on a bien

$$\{\theta_{i_1}^{(l)}, \dots, \theta_{i_n}^{(l)}\} = 0.$$

Les matrices  $\theta$  s'expriment simplement à partir des matrices  $\Gamma$

$$\theta_i^{(l)} = \Gamma_{2i-1} + \sqrt{q} q^l \Gamma_{2i}, \quad (1.1.11)$$

ces expressions renforcent encore l'analogie avec les formes quadratiques. Cependant, on verra apparaître une différence au chapitre suivant.

En remarquant que la matrice  $\sigma_1 + \sqrt{q} \sigma_2$  admet la valeur propre zéro dégénérée  $n$  fois, et que  $n$  est la première puissance qui annule  $\theta$ , d'après le lemme de réduction de Jordan, il est possible d'écrire

$$\theta \equiv \sigma_1 + \sqrt{q} \sigma_2 \sim \begin{pmatrix} 0 & 0 & 0 & \cdots & 0 \\ 1 & 0 & 0 & \cdots & 0 \\ 0 & 1 & 0 & \cdots & 0 \\ \vdots & & \ddots & \ddots & \vdots \\ 0 & 0 & \cdots & 1 & 0 \end{pmatrix}, \quad (1.1.12)$$

et donc de définir

$$\begin{aligned} \theta_1 &= \theta \otimes I^{\otimes p-1} \\ &\vdots \\ \theta_k &= \sigma_3^{\otimes k-1} \otimes \theta \otimes I^{\otimes p-k-1} \\ &\vdots \\ \theta_p &= \sigma_3^{\otimes p-1} \otimes \theta. \end{aligned} \quad (1.1.13)$$

Kwasniewski [18] a étudié la structure algébrique engendrée par ces familles d'algèbres de Grassmann généralisées:

$$\{\theta_{i_1}^{(l_1)}, \dots, \theta_{i_n}^{(l_n)}\} = (1 - q^{l_1 + \dots + l_n}) \delta_{i_1 \dots i_n}.$$

En outre, nous avons la loi de transformation inverse permettant, à partir des variables  $\theta$ , de construire les variables  $\Gamma$

$$\begin{aligned} \Gamma_{2i-1} &= \frac{1}{n} \sum_{l=0}^{n-1} \theta_i^{(l)} \\ \Gamma_{2i} &= \frac{1}{n\sqrt{q}} \sum_{l=0}^{n-1} q^{-l} \theta_i^{(l)}. \end{aligned}$$

Tous ceci milite en faveur d'une analogie très forte avec les formes quadratiques et donne envie de définir une construction analogue à la représentation spinorielle, pour les polynômes arbitraires. Comme nous allons le voir au cours du chapitre ultérieur, de telles extensions existent bien, mais on se trouve dans l'impossibilité de définir *simultanément* des opérateurs de création et d'annihilation par des relations analogues au cas spinoriel. C'est cette limitation qui donne aux algèbres quadratiques un statut privilégié.

Il existe une autre représentation de  $\Lambda_n^p$ , l'algèbre de Para-Grassmann. Les générateurs de cette algèbre sont astreints à vérifier la relation cubique [22]  $[[\theta_i, \theta_j], \theta_k] = 0$ . Après quantification, on obtient les parafermions introduits par Green [23] et conduisant aux parastatistiques [24]. Dans la littérature, il apparaît une certaine confusion entre ces deux extensions alors qu'elles n'ont *aucun rapport*. Les premières variables sont dans une représentation du groupe des tresses (cf. les relations (1.1.10)) alors que les secondes sont dans une représentation réductible du groupe des permutations (un parafermion pouvant s'exprimer comme une somme de champs spinoriels [24]).

### 1.1.3 Algèbre de Clifford du polynôme $x^{n-1}y$

Lorsque nous étudierons les extensions de la supersymétrie ainsi que leurs représentations, nous serons amenés à considérer les représentations *finies* de l'algèbre de Clifford du polynôme  $x^{n-1}y$ . Nous rechercherons donc deux matrices  $X$  et  $Y$  satisfaisant

$$\begin{aligned} \{X, X, \dots, X, Y\} &= 1 \\ \{\text{autres}\} &= 0, \end{aligned} \tag{1.1.14}$$

Les relations (1.1.14) imposent que  $X^n = 0$  car, parmi tous les crochets, le seul qui soit non-nul est celui où il y a  $(n-1)$  fois la matrice  $X$  et une fois  $Y$ ; c'est ce que traduit



{autres}. Si on suppose qu'il existe  $a < n$  tel que  $X^a = 0$ , et que l'on multiplie la première équation de (1.1.14) à gauche par  $X$  et à droite par  $X^{a-2}$ , on arrive à une contradiction. De ce fait, le rang de  $X$  est  $n - 1$ . On sait que la dimension de la représentation de  $\mathcal{C}_{x^{n-1}y}$  est un multiple de  $n$ . La dimension minimale de  $X$  est donc  $n$ , et par des arguments similaires à celui développé pour les variables de Grassmann généralisées, on peut écrire  $X$  sous une forme identique à celle choisie pour  $\theta$  au paragraphe précédent. Pour mettre la main sur  $Y$ , il suffit de résoudre (1.1.14). Une solution immédiate est

$$X = \begin{pmatrix} 0 & 0 & 0 & \cdots & 0 \\ 1 & 0 & 0 & \cdots & 0 \\ 0 & 1 & 0 & \cdots & 0 \\ \vdots & & \ddots & \ddots & \vdots \\ 0 & 0 & \cdots & 1 & 0 \end{pmatrix}, \quad Y = \begin{pmatrix} 0 & 0 & 0 & \cdots & 0 & 1 \\ 0 & 0 & 0 & \cdots & 0 & 0 \\ 0 & 0 & 0 & \cdots & 0 & 0 \\ \vdots & \vdots & & & \ddots & \vdots \\ 0 & 0 & 0 & \cdots & 0 & 0 \end{pmatrix}. \quad (1.1.15)$$

Ph. Revoiy [11] a mis en évidence, quand  $n = 3$ , une famille de représentations de dimension 3

$$X_3 = \begin{pmatrix} 0 & 0 & 0 \\ 1 & 0 & 0 \\ 0 & 1 & 0 \end{pmatrix}, \quad Y_3 = \begin{pmatrix} \mu & -\lambda\mu & 1 \\ 0 & 0 & \lambda\mu \\ -\lambda^{-2}\mu & \lambda^{-1}\mu & -\mu \end{pmatrix}, \quad \text{avec } 2\lambda^2\mu = 1.$$

Un tel résultat est très probablement généralisable pour  $n$  quelconque. Mais, fort heureusement, d'autres arguments permettront, dans le chapitre trois, de ne considérer que le cas le plus simple. Celui-ci est obtenu, lorsque  $n = 3$ , en posant  $t = \lambda\mu$  (comme  $2\lambda^2\mu = 1$ , on a  $\mu = 2t^2$ ,  $\lambda = \frac{1}{2t}$ ) et en prenant la limite  $t \rightarrow 0$ . Si nous avons considéré une représentation de dimension  $kn$ , alors nous aurions obtenu une représentation réductible ( $I_k \otimes X$  et  $I_k \otimes Y$ , avec  $I_k$  la matrice identité  $k \times k$ ). En anticipant sur le chapitre 3, nous aurons à considérer une seule représentation pour  $\mathcal{C}_{x^{n-1}y}$ .

## 1.2 Extension des nombres complexes

Dans la section consacrée aux extensions des algèbres de Clifford, nous avons vu le rôle central joué par les algèbres de Clifford dites généralisées. Nous avons également insisté sur les analogies existant entre  $n = 2$  et  $n$  arbitraire. On rappelle que, suivant le nombre de générateurs, on a, de façon analogue aux algèbres de Clifford,

$$\mathbb{R} \longrightarrow \mathcal{C}_n^1 \longrightarrow \mathcal{C}_n^2 \longrightarrow \cdots \longrightarrow \mathcal{C}_n^p.$$

Parmi les algèbres de Clifford, les nombres complexes jouissent d'un statut spécial par rapport à leurs extensions. Il est donc naturel de se demander si cette particularité subsiste lorsque  $n$  est quelconque. Dès que le nombre de générateurs est supérieur à 2, au vu des relations de commutation (1.1.6),  $\mathcal{C}_n^p$  se définit comme une  $\mathcal{C}$ -algèbre. Par contre, quand  $p = 1$ , on peut, sans contradiction, définir  $\mathcal{C}_n^1$  en tant que  $\mathbb{R}$ -algèbre. Mais, suivant que l'on prenne  $e^n = 1$  ou  $e^n = -1$  ( $e$  étant le générateur de  $\mathcal{C}_n^1$ ), on aura deux structures différentes. Pour être le plus proche possible des nombres complexes, nous avons considéré le second cas, et par analogie, nous avons appelé multicomplexes de tels nombres [27, 28]. Notons  $\mathcal{IMC}_n = \left\{ x = \sum_{i=0}^{n-1} x_i e^i, e^n = -1, x_i \in \mathbb{R} \right\}$  dont nous allons rappeler un certain nombre de propriétés. On mettra en évidence le fait que la plupart des résultats concernant les nombres complexes seront transposables aux multicomplexes, des propriétés algébriques [27] (extensions des fonctions trigonométriques usuelles ...) aux théorèmes de l'analyse complexe [28] (théorèmes de dérivation, théorèmes d'intégration ...). Il sera même possible de définir des transformations conformes appropriées, qui seront engendrées par  $n$  copies de l'algèbre de Virasoro [28]. Par la suite, nous allons dresser un panorama des propriétés principales de  $\mathcal{IMC}_n$ ; pour plus de précisions, on pourra consulter les références [27, 28]. Indépendamment, et pour  $n = 4$ , Gervais [29] a défini une algèbre analogue, aboutissant à des conclusions identiques aux nôtres. Il a ensuite appliqué cette structure à la théorie des 3-branes, retrouvant l'amplitude de Shapiro-Virasoro. Sa relation n'était cependant pas entièrement légitime car il n'avait pas obtenu les transformations homographiques adaptées.

### 1.2.1 Propriétés algébriques des multicomplexes

En utilisant les résultats généraux concernant les algèbres de Clifford généralisées établis par Morris [15], on obtient suivant la parité de  $n$ , les isomorphismes suivants si:

$$\begin{aligned} n \text{ pair} : \mathcal{IMC}_n &\sim \oplus^{n/2} \mathcal{C} \\ n \text{ impair} : \mathcal{IMC}_n &\sim \oplus^n \mathbb{R} . \end{aligned}$$

Cependant, si dès le départ, on utilise cet isomorphisme, on perd un certain nombre de propriétés inhérentes à la structure  $n$ -linéaire de  $\mathcal{IMC}_n$ . Pour établir les propriétés liées à la structure  $\mathbb{Z}_n$ , nous utiliserons, suivant le cas, les deux représentations matricielles équivalentes de  $\mathcal{IMC}_n$

$$e \longrightarrow E = \begin{pmatrix} q^{\frac{1}{2}} & 0 & 0 & \cdots & 0 \\ 0 & q^{\frac{3}{2}} & 0 & \cdots & 0 \\ \vdots & & \ddots & \ddots & \vdots \\ 0 & 0 & \cdots & q^{-\frac{3}{2}} & 0 \\ 0 & 0 & 0 & \cdots & q^{-\frac{1}{2}} \end{pmatrix}, \quad E' = \begin{pmatrix} 0 & 1 & 0 & \cdots & 0 \\ 0 & 0 & 1 & \cdots & 0 \\ \vdots & & \ddots & \ddots & \vdots \\ 0 & 0 & \cdots & 0 & 1 \\ -1 & 0 & 0 & \cdots & 0 \end{pmatrix}. \quad (1.2.1)$$

Si  $e \rightarrow E$ ,  $x$  sera représenté par une matrice  $n \times n$  diagonale notée  $X$ , telle que  $X_{aa} = X_{n+1-a, n+1-a}^*$ . Alors qu'avec le second choix

$$e \rightarrow E', x \rightarrow X' = \begin{pmatrix} x_0 & x_1 & \cdots & x_{n-1} \\ -x_{n-1} & x_0 & \cdots & x_{n-2} \\ \vdots & & & \vdots \\ \vdots & & \ddots & x_1 \\ -x_1 & \cdots & -x_{n-1} & x_0 \end{pmatrix}.$$

La plupart des démonstrations pourront être faites à partir de cette constatation excessivement simple.

### 1.2.1.1 Norme.

Dans un premier temps, nous munissons  $\mathcal{M}\mathcal{C}_n$  d'une norme (ou plus précisément, d'une pseudo-norme)

$$\|x\|^n = \det X' = \det X, \quad (1.2.2)$$

pour les nombres complexes, nous retrouvons bien  $\|x\|^2 = x_0^2 + x_1^2$  alors que, lorsque  $n = 3$ , on obtient  $\|x\|^3 = x_0^3 - x_1^3 + x_2^3 + 3x_0x_1x_2$ . De par la définition de la norme, on observe que, si  $x$  est un diviseur de zéro, sa norme est nulle. Si  $n$  est pair (resp. impair), la norme de  $x$  est positive ou nulle (resp. quelconque). Cette définition peut, tout comme pour les nombres complexes, se réécrire en considérant une conjugaison *ad hoc*. Introduisons le conjugué  $\ell$ -ième de  $\mathcal{M}\mathcal{C}_n \equiv \mathcal{M}\mathcal{C}_n^0$  par

$$\begin{aligned} \mathcal{M}\mathcal{C}_n^0 &\longrightarrow \mathcal{M}\mathcal{C}_n^\ell \\ x \equiv [x]_0 = \sum_{i=0}^{n-1} x_i e^i &\longmapsto [x]_\ell = \sum_{i=0}^{n-1} x_i q^{i\ell} e^i. \end{aligned}$$

On voit que quand  $n = 2$ , on a identification entre  $\mathcal{C}$  et  $\mathcal{C}^*$ , propriété qui se perd dès que  $n \neq 2$ . Les espaces ainsi construits constituent, par ailleurs, des définitions isomorphes des multicomplexes. En utilisant la représentation matricielle  $x \rightarrow X$ , on obtient sans peine les matrices représentatives de  $[x]_\ell$ , et il est facile de démontrer que l'on a

$$\|x\|^n = \prod_{\ell=0}^{n-1} [x]_\ell. \quad (1.2.3)$$

On voit donc que tout comme pour les nombres complexes, il est possible de définir la norme de  $x$  à partir du produit de ses conjugués, mais uniquement si  $n = 2$ ,  $x, x^* \in \mathcal{C}$ . Ceci n'est

en fait pas complètement exact car parmi les  $IMC_n$ , dès que  $n$  est une puissance de deux on peut substituer à la définition du conjugué  $\ell$ -ième précédente, une définition alternative  $[x]_\ell = \sum_{i=0}^{n-1} x_i e^{i(2\ell+1)} \in IMC_n$  [27].

### 1.2.1.2 Représentations polaire et cartésienne.

Peut-on pousser l'analogie avec les nombres complexes un peu plus loin, identifier la norme avec le "module" de  $x$ , et définir une représentation exponentielle? En utilisant les matrices  $X$  et le fait que l'on puisse définir le logarithme de toute matrice non-singulière, on peut réécrire (et calculer), lorsque  $x$  est inversible, c'est-à-dire quand  $\|x\| \neq 0$

$$x = \sum_{i=0}^{n-1} x_i e^i = \rho \exp \left( \sum_{i=1}^{n-1} \phi_i e^i \right). \quad (1.2.4)$$

Du fait que la fonction logarithme est multi-valuée, on a plusieurs représentations possibles pour la forme exponentielle de  $x$  [27]. Etant donné que

$$\text{si } x \longrightarrow \rho \exp \left( \sum_{i=1}^{n-1} \phi_i e^i \right) \text{ alors } [x]_\ell \rightarrow \rho \exp \left( \sum_{i=1}^{n-1} \phi_i q^{i\ell} e^i \right),$$

on peut conclure immédiatement

$$\|x\|^n = \rho^n. \quad (1.2.5)$$

De plus, en utilisant la représentation  $e \longrightarrow E$ , on observe que parmi les  $n-1$  variables  $\phi$ , on peut en extraire  $E(\frac{n}{2})$  qui sont compactes. La substitution  $\phi_i \longrightarrow \phi_i + \epsilon_i^a, a = 1, \dots, E(\frac{n}{2})$  laisse donc invariante la forme exponentielle. Les  $\epsilon_i^a$  peuvent être calculées en explicitant  $\epsilon^a = \sum_{i=1}^{n-1} \epsilon_i^a e^i$ . Les  $\epsilon^a$  s'expriment directement à partir des éléments  $e, \dots, e^{n-1}$  et leur matrices représentatives s'écrivent  $X_{kl}^a = 2i\pi \delta_{kl} (\delta_{ka} - \delta_{n-a+1,l})$ .

En outre, à partir de (1.2.4), ainsi que de  $\|e\|^n = (-1)^n$ , il apparaît que l'on peut mettre  $(-1)^n e$  sous forme exponentielle avec comme corollaire

$$\begin{aligned} n \quad \text{pair} \quad IMC_p &\subset IMC_n, \quad p < n \\ n \quad \text{impair} \quad IMC_{2p+1} &\subset IMC_n, \quad 2p+1 < n. \end{aligned} \quad (1.2.6)$$

L'existence de la forme exponentielle pour  $e$  redonne les résultats sur les directions compactes.

### 1.2.1.3 Fonctions trigonométriques

Ayant élaboré, pour les nombres multicomplexes, une représentation “cartésienne” et “polaire”, l’analogie avec les nombres complexes se poursuit. En effet, il est possible de définir des fonctions généralisant les fonctions trigonométriques usuelles. A cet égard, il suffit tout simplement de développer explicitement la forme exponentielle (1.2.4)

$$x = \rho \exp \left( \sum_{i=1}^{n-1} e^i \phi_i \right) = \rho \sum_{i=0}^{n-1} \text{mus}(\phi)_i e^i, \quad (1.2.7)$$

De telles fonctions, constituant une généralisation directe des fonctions trigonométriques, vérifient un certain nombre de propriétés qui se déduisent sans peine [47]. Nous les énoncerons sans démonstration

1.  $\text{mus}(\phi)_i = \frac{1}{n} \sum_{\ell=0}^{n-1} \left[ \frac{x}{e^{i\ell}} \right]_{\ell}$  lorsque  $\|x\| = 1$ ;
2. les fonctions mus admettent les  $E(n/2)$  directions de périodicité  $\epsilon^a$ ;
3. Les fonctions mus engendrent le groupe abélien qui préserve la norme;
4.  $\text{mus}(\phi + \psi)_i = \sum_{j=0}^{n-1} \text{sign}(i - j) \text{mus}(\phi)_i \text{mus}(\psi)_{i-j}$ , avec sign la fonction signe et  $i - j$  défini modulo  $n$ ;
5.  $\frac{\partial \text{mus}(\phi)}{\partial \phi_j} = \text{sign}(i - j) \text{mus}(\phi)_{i-j}$ ;

6. 
$$\det \begin{pmatrix} \text{mus}(\phi)_0 & \text{mus}(\phi)_1 & \cdots & \text{mus}(\phi)_{n-1} \\ -\text{mus}(\phi)_{n-1} & \text{mus}(\phi)_0 & \cdots & \text{mus}(\phi)_{n-2} \\ \vdots & & & \vdots \\ \vdots & & \ddots & \text{mus}(\phi)_1 \\ -\text{mus}(\phi)_1 & \cdots & -\text{mus}(\phi)_{n-1} & \text{mus}(\phi)_0 \end{pmatrix} = 1,$$

Bien entendu, cette relation conduit à  $\cos^2(\phi) + \sin^2(\phi) = 1$ , alors que si  $n = 3$ , on a  $\text{mus}^3(\phi_1, \phi_2)_0 - \text{mus}^3(\phi_1, \phi_2)_1 + \text{mus}^3(\phi_1, \phi_2)_2 + 3\text{mus}(\phi_1, \phi_2)_0 \text{mus}(\phi_1, \phi_2)_1 \text{mus}(\phi_1, \phi_2)_2 = 1$ .

7. Si  $n$  n’est pas un nombre premier ( $n = n_1 n_2$ ), les fonctions mus d’ordre  $n$  contiennent les fonctions mus d’ordre  $n_1$ : il suffit de prendre  $\phi_i = 0$  quand  $i$  n’est pas un multiple de  $n_2$ .

Les fonctions ainsi obtenues permettent de passer des coordonnées “cartésiennes” aux “polaires”; il est également possible de construire des fonctions généralisant la fonction arc-tangente et exprimant les variables “polaires” en fonction des cartésiennes [47]. De manière analogue, une extension des fonctions hyperboliques peut être envisagée [47].

Notons enfin que les fonctions ainsi construites se définissent à partir des fonctions circulaires d'ordre  $n$   $f_i^n(x) = \sum_{k=0}^{\infty} (-1)^k \frac{x^{nk+i}}{(nk+i)!}$  considérées dans [30]. En fait, de telles fonctions, ainsi que leurs homologues hyperboliques d'ordre  $n$ , avaient déjà été introduites dans la littérature [31]. Des relations analogues à la contrainte  $\det(\text{mus}) = 1$  ainsi qu'aux formules de somme ou aux équations d'Euler ont été établies. A cet égard, ces auteurs avaient introduit des extensions des nombres complexes (Bruwier,  $e^n = 1$ ). Cependant, étant donné qu'ils considéraient des fonctions à une variable, ils ne pouvaient pas mettre en avant les propriétés de périodicité que nous avons établies. Tout comme les fonctions *mus*, ces généralisations des fonctions trigonométriques à une variable sont utiles dans la théorie des équations différentielles. Elles peuvent, en outre, être étendues à n'importe quel système linéaire [32].

### 1.2.2 Analyse multicomplexe

Ayant construit une structure algébrique possédant de telles propriétés, on est naturellement conduit à s'interroger sur les propriétés spécifiques à une analyse multicomplexe. Le fait de se poser une telle question n'est pas neuf, et un certain nombre de résultats ont été obtenus pour d'algèbres de Clifford [33] et même pour les octonions [34]. Notons finalement que dans la référence [35], une analyse a été construite sur une algèbre plus générale que celle que nous avons considérée (au lieu de l'algèbre engendrée par le polynôme  $x^n + 1$ ,  $\mathcal{M}\mathcal{C}_n = \mathbb{R}[x]/(x^n + 1)$ , l'algèbre associée à un polynôme arbitraire de degré  $n$  et à une variable a été envisagée).

On considère donc  $F(x) = \sum f_i(x)e^i$  une fonction sur  $\mathcal{M}\mathcal{C}_n$ . La première différence par rapport aux nombres complexes, concerne la notion de continuité et de limite; en effet, la norme ne définissant pas une distance, les notions de continuité et de limite ne pourront donc être définies que composante par composante, *i.e* sur les fonctions  $f_i$  individuellement, et non sur la fonction  $F$ . Le second point, plus délicat celui-ci, concerne l'existence de diviseurs de zéro et donc de nouveaux types de singularités. Cependant, un prolongement respectant la structure algébrique a été proposé [27]. Celui-ci est basé sur l'inclusion (singulière)

$$\mathcal{M}\mathcal{C}_{n-2} \subset \mathcal{M}\mathcal{C}_n, \quad (1.2.8)$$

dont les matrices représentatives du générateur et de l'identité sont données par

$$E_{n-2} = \begin{pmatrix} 0 & 0 & 0 & \cdots & 0 \\ 0 & \exp\left(\frac{i\pi}{n-2}\right) & 0 & \cdots & 0 \\ \vdots & & \ddots & \ddots & \vdots \\ 0 & 0 & \cdots & \exp\left(-\frac{i\pi}{n-2}\right) & 0 \\ 0 & 0 & 0 & \cdots & 0 \end{pmatrix}, I_{n-2} = \begin{pmatrix} 0 & 0 & 0 & \cdots & 0 \\ 0 & 1 & 0 & \cdots & 0 \\ \vdots & & \ddots & \ddots & \vdots \\ 0 & 0 & \cdots & 1 & 0 \\ 0 & 0 & 0 & \cdots & 0 \end{pmatrix}.$$

Avant d'envisager les théorèmes de dérivation et d'intégration adaptés, introduisons un certain nombre de notations. Nous avons déjà défini  $[x]_\ell = \sum_{i=0}^{n-1} q^{i\ell} x_i e^i$ , posons alors  $[\partial]_\ell = \frac{1}{n} \sum_{i=0}^{n-1} q^{-i\ell} \partial_i e^{-i}$ . Il est facile de se convaincre que l'on a  $[\partial]_\ell [x]_k = \delta_{k\ell}$ .

Nous pouvons donc énoncer, sans démonstration, les théorèmes de dérivation et d'intégration.

### **Théorème de Cauchy-Riemann [27]**

$F$  est dérivable en  $x$  si l'une des conditions suivantes et équivalentes est vérifiée (il faut que la valeur de  $\frac{dF(x)}{dx}$  ne dépende pas de la façon dont  $x$  tend vers zéro; il faut également faire attention aux diviseurs de zéro)

1.  $\partial_0 f_k(x_0, \dots, x_{n-1}) = \text{sign}(l-m) \partial_l f_m(x_0, \dots, x_{n-1})$ . Ces relations constituent une généralisation directe des équations de Cauchy-Riemann.
2.  $[\partial]_\ell [f(x_0, \dots, x_{n-1})]_k = \delta_{k\ell}$ . La fonction  $[f(x_0, \dots, x_{n-1})]_0$  est donc holomorphe et ne dépend que de  $[x]_0$ .
3.  $F(x)dx = \sum_{i=0}^{n-1} \omega_i e^i$  définit  $n$  une-formes fermées.

### **Théorème de Cauchy [27]**

On considère un hypervolume fermé et orienté  $\partial\Omega$ , ainsi que  $d\sigma = \sum_{i=0}^{n-1} (-1)^i d\hat{x}^i e^i$ , où  $d\hat{x}^i = dx_0 \wedge dx_1 \wedge \dots \wedge dx_{i-1} \wedge dx_{i+1} \wedge \dots \wedge dx_{n-1}$ , sa  $(n-1)$ -forme surface.

$$\int_{\partial\Omega} F(x) d\sigma = 0,$$

si l'une des conditions équivalentes est satisfaite

1.  $DF(x) \equiv \sum_{i=0}^{n-1} e^i \partial_i F(x) = 0$ ;
2. Les  $n$  une-formes  $\omega$  sont co-fermées.

En conclusion, une fonction  $F$  sera dite analytique si elle vérifie le théorème de Cauchy Riemann et co-analytique si elle satisfait aux conditions du théorème de Cauchy. Bien entendu, ces deux notions coïncident sur  $\mathcal{C}$ , mais ce n'est plus vrai dès que  $n > 2$ . A partir de la définition de  $D$ , un calcul direct montre que si  $n$  est pair, la condition d'analyticité implique celle de co-analyticité alors que quand  $n$  est impair, ces deux théorèmes sont incompatibles. Autrement dit, l'analyse dans  $MC_n$  présente de l'intérêt si  $n$  est un nombre pair.

On se limite donc aux nombres pairs, en remarquant que l'on peut écrire  $x = \sum_{i=0}^{\frac{n}{2}-1} z_i e^i$ , avec  $z_i = x_1 + e^{n/2} x_{i+\frac{n}{2}}$  un nombre complexe usuel  $i \equiv e^{n/2}$ , si  $F$  est analytique en  $x$ , alors  $DF(x) = 0$  et donc  $F(x)$  est analytique en  $z_i$  au sens des nombres complexes. Profitant de cette propriété, on définit  $\Gamma = \partial\Omega_0 \times \cdots \times \partial\Omega_{\frac{n}{2}-1} \subset \Omega$  avec  $\Omega_i = \{x_i^2 + x_{\frac{n}{2}+i}^2 < R^2\}$  tel que  $F$  restreint à  $\partial\Omega_i$  soit holomorphe au sens des  $z_i$  et on en déduit le

### Théorème des résidus

$$F(u) = \frac{1}{(2e^{n/2}\pi)^{n/2}} \int_{\Gamma} \frac{dz_0}{(z_0 - u_0)} \cdots \frac{dz_{\frac{n}{2}-1}}{(z_{\frac{n}{2}-1} - u_{\frac{n}{2}-1})} F(x).$$

On peut remarquer l'analogie frappante qu'il y a entre le théorème des résidus ainsi obtenu et celui associé à  $\mathcal{C}^{n/2}$  [36]. Comparé aux théorèmes analogues dérivés pour les algèbres de Clifford, nous avons un certain nombre de différences. Par exemple, la connaissance de  $F$  sur la variété  $B = \times_{i=0}^{\frac{n}{2}-1} \{x_i^2 + x_{i+\frac{n}{2}}^2 < R^2\}$  est obtenue à partir d'une intégrale sur une variété de dimension  $n/2$ , le squelette de  $B$  au lieu de l'hypersurface  $\partial B$ .

Enfin, à partir du théorème des résidus, il est possible d'écrire

$$F(x) = \sum_{\{i\} \in \mathbb{Z}^{n/2}} F_{i_0 i_1 \dots i_{\frac{n}{2}-1}} z_0^{i_0} \cdots z_{\frac{n}{2}-1}^{i_{\frac{n}{2}-1}} e^{i_0 + \dots + i_{\frac{n}{2}-1}}. \quad (1.2.9)$$

Si en plus la fonction est analytique en  $x$ , on peut réécrire

$$F(x) = \sum_{N \in \mathbb{Z}} F_N x^N. \quad (1.2.10)$$

Bien entendu, il est primordial d'avoir la propriété d'analyticité pour pouvoir calculer les coefficients  $F_N$ , car si la fonction est uniquement co-analytique, les  $F_N$  n'existent pas. On peut s'en rendre compte sur l'exemple ( $n = 4$ )  $F(z_0 + ez_1) = z_0 z_1$  qui est co-analytique sans être analytique.

### 1.2.3 Invariance conforme

L'invariance conforme, préservant la métrique à un facteur d'échelle près, prend une dimension toute particulière dans le plan complexe. En effet, à la différence des espaces de dimension plus grande, en  $2D$ , le groupe conforme est de dimension infinie. De ce fait, l'invariance conforme est devenue un outil indispensable lors de l'étude des phénomènes critiques [37] ou de la théorie des cordes [38]. Ce caractère singulier provient du fait que dans un espace bi-dimensionnel, le degré de la métrique (forme quadratique) et celui de la forme "volume" coïncident.

Etant donné que les multicomplexes ont une norme définie par un polynôme homogène de degré  $n$  équivalent au polynôme  $p(x) = x_1 x_2 \cdots x_n$  et que, en outre, un tel polynôme définit



parfaitement un  $n$ -volume, on est en droit de se demander si des propriétés similaires à celles propres aux espaces bi-dimensionnels existent. Il est donc intéressant d'étudier le groupe des transformations préservant la norme (1.2.3) à un facteur d'échelle près, ainsi que ses implications pour l'étude des phénomènes critiques pour des dimensions plus grandes que deux, ou même pour l'étude d'objets au-delà des cordes, les  $d$ -branes. A cet égard, Gervais [29] a tenté d'appliquer aux 3-branes ses résultats sur les multicomplexes d'ordre 4 et dans la référence [39], il a été établi que pour un espace de dimension  $n$  muni d'une  $n$ -métrique, on obtenait un groupe de symétrie infini.

En vue d'étudier l'invariance conforme adaptée aux multicomplexes, introduisons la base de l'espace tangent  $e_i = [\partial]_i$ . Dans cette base, la  $n$ -métrique se réécrit

$$(e_{i_1}, e_{i_2}, \dots, e_{i_n}) = \gamma_{i_1 i_2 \dots i_n}, \quad (1.2.11)$$

où  $\gamma_{i_1 i_2 \dots i_n} = \frac{1}{n!}$  si tous les indices sont différents, et zéro sinon.

Un calcul direct [27] montre que les transformations qui laissent la  $n$ -métrique  $\gamma$  invariante à un facteur d'échelle près sont les transformations analytiques

$$\begin{aligned} [x]_\ell &\longrightarrow F_\ell([x]_\ell), \text{ avec } [\partial]_k F_\ell = \delta_{k\ell} \\ \gamma(x)_{i_1 \dots i_n} &\longrightarrow \gamma'(x')_{i_1 \dots i_n} = \Omega(x) \gamma(x)_{i_1 \dots i_n}. \end{aligned} \quad (1.2.12)$$

Si on considère les transformations infinitésimales  $[x']_\ell = [x]_\ell + \epsilon f_\ell(x)$ , ainsi que les théorèmes énoncés précédemment (résidus plus analyticité) qui nous permettent de développer  $f_\ell([x]_\ell)$  en série de Laurent, on obtient  $n$  copies de l'algèbre de Virasoro sans charge centrale ( $[\ell_n]_k = -([x]_k)^{1-n} [\partial]_k$ ) engendrant les transformations "conformes" adaptées aux multicomplexes. Donc, dans un espace dont la dimension est égale au rang du tenseur métrique, les transformations "conformes" deviennent un groupe de dimension infinie. On peut donc, par analogie, définir un champ primaire  $\Phi$  de poids conformes  $(d_1, \dots, d_n)$  comme étant un champ se transformant de la façon suivante

$$\Phi'([x']_0, \dots, [x']_{n-1}) = \prod_{\ell=0}^{n-1} \left( \frac{dF_\ell}{d[x]_\ell} \right)^{-d_\ell} \Phi([x]_0, \dots, [x]_{n-1}). \quad (1.2.13)$$

Pour clore cette partie, nous mentionnerons que, tout comme dans le plan complexe, il est possible de définir, dans  $\mathcal{MCC}_n$  complété d'un point à l'infini, un groupe globalement inversible, analogue aux transformations homographiques [27], au prix du prolongement de  $x^{-1}$  défini ci-dessus

$$x \longrightarrow (ax + b)(cx + d)^{-1}, \quad a, b, c, d \in \mathcal{MCC}_n, \quad ab - cd = 1, \quad (1.2.14)$$

que nous pouvons noter  $SL(2, \mathcal{MCC}_n)$ .

Face aux grandes similitudes existant entre  $\mathcal{C}$  et  $IM\mathcal{C}_n$ , il paraît légitime de se demander si les multicomplexes peuvent avoir une utilité dans la description de certains phénomènes physiques, voire mathématiques, lorsque ceux-ci sont sous-tendus par des formes non-quadratiques ou bien des symétries  $\mathbb{Z}_n$  par exemple.

### 1.3 $n^2$ -ions

Dans notre étude des algèbres de Clifford généralisées, nous avons été amenés à considérer une structure engendrée par un générateur et permettant de construire une extension des nombres complexes. Dans le cas quadratique, les quaternions en constituent la généralisation directe. Suivant la même logique, nous nous sommes penchés sur les structures engendrées par deux générateurs  $e_1$  et  $e_2$  satisfaisant  $e_1 e_2 = q e_2 e_1$ ,  $e_1^n = e_2^n = 1$ , et nous avons obtenu les  $n^2$ -ions introduits d'abord par Sylvester puis par Cartan. Ce dernier a démontré que les  $n^2$ -ions contenaient les quaternions, résultats que nous pouvons retrouver [40] en utilisant la décomposition (1.1.9). C'est à partir de cette inclusion que nous avons pu interpréter le résultat de Finkelstein [41] c'est-à-dire tisser un lien entre les  $n^2$ -ions et ce qu'il avait appelé les variétés d'hyperspin. Ces dernières avaient été introduites de façon à concilier les variétés de spin (adaptées pour les espaces de dimension  $2^d$ ) et les théories de Kaluza-Klein (introduites pour incorporer la gravitation au côté des interactions fondamentales [42]). Ces variétés ont alors été munies d'une  $n$ -métrique invariante sous  $SL(n, \mathcal{C})$ , et redonnent, dans une certaine limite, la métrique de Minkowski. Cette limite peut être interprétée algébriquement par l'inclusion des quaternions dans les  $n^2$ -ions.

Rappelons brièvement nos résultats [40]. La relation (1.1.9) permet de construire les générateurs des  $m^2$ -ions à partir de ceux des  $n^2$ -ions ( $m < n$ )

$$\begin{aligned} f_1 &= \sum_{i=0}^{m-1} h_{k+1,k} \text{ avec } h_{m,m-1} \equiv h_{0,m-1} \\ f_2 &= \sum_{i=0}^{m-1} r^k h_{kk}, \text{ avec } r = \exp(2i\pi/m) \\ f_1 f_2 &= r f_2 f_1 \quad f_1^m = f_2^m = \sum_{i=0}^{m-1} h_{kk} \equiv P^{(m|n)}, \end{aligned} \tag{1.3.1}$$

avec  $P^{(m|n)}$ , l'opérateur de projection de  $\mathcal{C}_n^2$  sur  $\mathcal{C}_{(m|n)}^2$  que l'on identifie comme étant l'identité de  $\mathcal{C}_{(m|n)}^2$ . Ainsi, il est facile de montrer que (on note  $\mathcal{C}_{(m|n)}^2$  l'algèbre des  $m^2$ -ions vue en tant que sous-algèbre des  $n^2$ -ions –voir [40] et la référence de Cartan donnée dans [40] pour plus de détails–)

$$\mathcal{C}_{(m|n)}^2 \otimes \mathcal{C}_{(n-m|n)}^2 \subset \mathcal{C}_n^2. \tag{1.3.2}$$

Si, pour les  $n^2$ -ions, on utilise la représentation matricielle  $e_1 = \sigma_1, e_2 = \sigma_2$ ,

$$x = \sum_{a,b=0}^{n-1} x_{ab} e_1^a e_2^b \longrightarrow X = \sum_{a,b=0}^{n-1} x_{ab} \sigma_1^a \sigma_2^b \quad (1.3.3)$$

$$\text{avec } X_{ij} = \sum_{b=0}^{n-1} q^{jb} x_{j-i,b}.$$

On peut, comme avant, définir une norme  $\|x\|^{2n} = \det(XX^*)$  ( $X$  n'est à priori pas hermitique), il apparaît alors immédiatement que le groupe de transformations préservant la métrique est  $SL_L(n, \mathbb{C}) \otimes SL_R(n, \mathbb{C})$  [40]

$$X' = LXR, \quad (\det X' = \det X) \quad (1.3.4)$$

$$L, R = \exp \left( \sum_{(a,b) \neq (0,0)} \phi_{ab}^{L,R} e_1^a e_2^b \right) \quad \det L = \det R = 1.$$

On peut donc construire les générateurs de  $SU(n)$  à partir des éléments de  $\mathcal{C}_n^2$ , la relation entre  $SU(n)$  et les  $n^2$ -ions a déjà été étudiée [26]. On voit donc que, tout comme les quaternions permettent d'étudier la composition des rotations dans  $\mathbb{R}^3$ , les quaternions généralisés conduisent à des résultats similaires pour  $SL(n, \mathbb{C})$ . En outre, dans la limite (1.3.2) le groupe d'invariance se réduit à  $SL_L(m, \mathbb{C}) \otimes SL_R(m, \mathbb{C}) \otimes SL_L(n-m, \mathbb{C}) \otimes SL_R(n-m, \mathbb{C})$ . Ceci nous permet de retrouver, dans une certaine limite [40], le groupe de Lorentz  $SL(2, \mathbb{C})$  ainsi que les résultats de [41]. Nous n'aborderons pas l'étude de cette limite.

Le fait d'avoir insisté sur les quaternions généralisés nous permet de mettre en avant un certain nombre de différences par rapport aux quaternions

1. Les matrices de Pauli linéarisent le polynôme  $x^2 + y^2 + z^2$  invariant sous  $SO(3)$ , or  $SO(3)$  est inclus dans  $SO(1, 3)$ , le groupe d'invariance des quaternions. Par contre, les matrices de Pauli généralisées permettent la linéarisation de  $x^n + y^n + z^n$ , polynôme admettant un groupe discret de symétrie.
2. Si on calcule, pour  $n = 2$ ,

$$\exp(i\vec{\phi}\vec{\sigma}) = \cos(\vec{\phi}\cdot\vec{\phi}) + i \sin(\vec{\phi}\cdot\vec{\phi}) \frac{\vec{\phi}\vec{\sigma}}{\vec{\phi}\cdot\vec{\phi}},$$

on obtient une relation fermée. Une telle relation n'est bien entendu plus vraie quand  $n > 2$ .

## 1.4 Applications

Les applications des extensions des algèbres de Clifford sont trop nombreuses pour que nous puissions en faire une présentation exhaustive. Nous nous limiterons donc aux cas qui ont un rapport direct avec notre étude. On pourra se reporter à l'introduction de Kwasniewski [18], ou à la référence [12] ainsi qu'à [26] pour plus de précisions

- H. Weyl [43] a le premier remarqué que l'algèbre  $\mathcal{C}_n^2$  conduisait naturellement à la mécanique quantique finie. Cette idée a été renforcée par Schwinger [44] qui a montré que  $\sigma_1$  et  $\sigma_3$  formaient un ensemble complet d'opérateurs unitaires. A partir de ces points de départ, la mécanique quantique a pu être obtenue comme une limite où  $n \rightarrow \infty$  de  $\mathcal{C}_n^2$ , autrement dit, les opérateurs d'impulsion et de position, engendrant l'algèbre de Heisenberg, ont été dérivés dans cette limite [45]. Résultats qui seront mis en lumière au cours du chapitre prochain.
- Ces algèbres, ainsi que les fonctions trigonométriques d'ordre  $n$ , apparaissent naturellement dans des modèles généralisant le modèle d'Ising. Ainsi dans le modèle de Potts, la fonction de partition s'exprime à partir des matrices  $\Gamma$  [46]. Le calcul n'a cependant pas pu être mené jusqu'au bout.
- Nous avons montré qu'il était possible, à partir du procédé de linéarisation [47], de remplacer un système de  $m$  équations non-linéaires à  $m$  inconnues, par un système d'équations aux valeurs propres. Cette méthode constitue une généralisation de la méthode de Cramer pour un système quelconque. Nous avons, en outre, étudié la compatibilité d'un système contenant plus d'équations que d'inconnues, sans avoir à le résoudre explicitement.
- Grâce à la structure  $\mathbb{Z}_n$ -graduée des extensions d'algèbres de Clifford, et parce que ses générateurs sont dans une représentation du groupe des tresses (voir la relation (1.1.6)), il apparaît que ces extensions joueront un rôle considérable lors de l'étude des déformations de certaines algèbres, voir des groupes quantiques, ou de l'extension des théories supersymétriques. Nous consacrerons les deux prochains chapitres à ces généralisations.



## Chapter 2

# Algèbre de Heisenberg $q$ -déformée et $q$ -oscillateurs

Etant donné que les particules élémentaires apparaissent dans des représentations appropriées de groupes de symétrie, la classification de tels groupes va dans le sens d'une compréhension des interactions fondamentales ainsi que des propriétés des particules. La première classification, pour les algèbres de Lie compactes, a été effectuée par Cartan. Depuis l'émergence de la supersymétrie [48], on s'est rendu compte que cette nouvelle symétrie, dépassant le cadre des algèbres de Lie, permettait de combler un certain nombre de lacunes que le modèle standard ne résolvait pas (hiérarchie, constante cosmologique, etc.). D'un point de vue mathématique, la classification des algèbres supersymétriques (super-algèbres) a été menée à bien dans [49].

D'après le théorème de Noether les symétries fondamentales sont engendrées, après la seconde quantification, par des courants conservés définis à partir des champs. Suivant le caractère bosonique ou fermionique, les champs seront quantifiés par des relations de commutation ou d'anticommutation. On s'attend donc à ce que toutes les (super-)algèbres de Lie puissent se définir en termes d'oscillateurs. Si on introduit une série de  $n$  oscillateurs bosoniques  $(a_i, a_i^\dagger)$ , il est facile de se convaincre que les éléments  $M_{ij} = a_i^\dagger a_j$  engendrent l'algèbre de Lie  $GL(n, \mathbb{C})$  [50]

$$\begin{aligned} [a_i^\dagger, a_j^\dagger] &= 0, & [a_i, a_j] &= 0, & [a_i, a_j^\dagger] &= \delta_{ij} \\ [M_{ij}, M_{kl}] &= M_{il}\delta_{jk} - M_{kj}\delta_{il}. \end{aligned}$$

Ce résultat s'étend à toutes les algèbres de Lie compactes [50, 51]. Il peut même être généralisé aux algèbres de Lie non-compactes [51]. On peut également faire la même construction avec une série de  $n$  oscillateurs fermioniques et envisager une description analogue, avec des

oscillateurs bosoniques et fermioniques, pour les super-algèbres de Lie [51] (ainsi que les références contenues dans [51]).

Pour les oscillateurs bosoniques, les opérateurs de création et d'annihilation sont associés à l'algèbre de Heisenberg engendrée par un opérateur position et son moment conjugué. En ce qui concerne les fermions, c'est une algèbre de Clifford qui correspond aux oscillateurs et les variables sont auto-conjuguées. Ces deux algèbres ont des propriétés distinctes, les premières n'admettent pas de représentation de dimension finie alors que les secondes, si. Ce distinguo est bien évidemment lié aux statistiques différentes des deux systèmes. Ces deux structures algébriques sont à la base d'un grand nombre de réalisations concrètes en physique des particules.

Nous avons, lors du premier chapitre, étudié des extensions de l'algèbre de Clifford et de Grassmann, extensions engendrées par un polynôme de degré  $n$  admettant une symétrie  $\mathbb{Z}_n$ . On peut donc légitimement se demander si tout ce qui a pu être fait avec succès pour les fermions, c'est-à-dire les algèbres de Clifford et de Grassmann, est envisageable pour les algèbres de Clifford généralisées. Etant donné que l'algèbre de Clifford est une quantification de l'algèbre de Grassmann (on reviendra sur ce point dans le chapitre 3), il semble qu'un bon point de départ consiste en l'étude de  $\mathcal{G}_n^1$ , l'algèbre de Grassmann généralisée. La première étape va donc consister à définir une variable conjuguée pour  $\theta \in \mathcal{G}_n^1$ , c'est-à-dire construire une dérivation. Ce faisant, nous obtiendrons une algèbre de Heisenberg  $q$ -déformée  $\mathcal{H}_{q,n}$  ( $q = \exp(2i\pi/n)$ ) [52, 53], résultat qui sera réobtenu dans le chapitre suivant par quantification de  $\mathcal{G}_n^1$ . On verra ensuite que  $\mathcal{H}_{q,n}$  est connectée aux  $q$ -oscillateurs introduits indépendamment par Biedenharn et Macfarlane [54]. Nous étudierons en détail cette structure algébrique. Ensuite, nous verrons comment étendre les résultats obtenus pour une variable lorsque plusieurs variables sont considérées. A la différence des polynômes quadratiques, suivant le comportement des différentes familles d'oscillateurs, nous aurons une structure distincte.

Tout comme l'algèbre de Clifford s'avère être l'outil de base pour la construction des théories supersymétriques, certaines algèbres, obtenues par quantification de  $\mathcal{G}_n^p$ , seront les éléments permettant de construire des théories allant au-delà de la supersymétrie, extension dont nous parlerons dans le dernier chapitre [58, 59, 60, 61, 62, 63, 64, 66, 67, 68].

Toutefois, une approche différente peut être envisagée à partir des algèbres de Heisenberg  $q$ -déformées ou des  $q$ -oscillateurs, qui consiste à introduire des déformations des symétries (groupes quantiques [69] et algèbres déformées [70]). Il transparaît une certaine similitude entre cette approche, que nous n'aborderons pas, et les structures que nous considérons. On peut s'en rendre compte en analysant les relations (1.1.6) et (1.1.10) qui traduisent que les variables de Clifford et de Grassmann généralisées sont dans une représentation du groupe des tresses. A cet égard, on verra que  $\mathcal{C}_n^p$  et  $\mathcal{G}_n^p$  admettent une  $R$ -matrice (c.f. eq.(2.3.3)). Face

à la littérature abondante sur les groupes quantiques et les  $q$ -oscillateurs, nous renverrons le lecteur à la référence de J. Fuchs [55], nous nous bornerons par la suite à évoquer certaines applications des groupes quantiques ou des algèbres  $q$ -déformées ayant une relation plus ou moins directe avec nos résultats. Certains des résultats que nous allons présenter ont très probablement des applications dans ce domaine, mais nous n'avons pas exploité cette voie.

Notons enfin que les structures que nous considérons ont un champ d'application relativement vaste dans le cadre des algèbres de Lie généralisées [56] et ouvrent des perspectives à d'autres extensions possibles de la supersymétrie, que nous mentionnerons au chapitre suivant.

## 2.1 Algèbre de Heisenberg $q$ -déformée

### 2.1.1 Dérivation

Nous allons d'abord considérer l'algèbre  $\mathcal{G}_n^1$ , engendrée par une variable  $\theta$ , telle que  $\theta^n = 0$ . Une telle algèbre est donc constituée des polynômes de degré  $(n - 1)$  en  $\theta$ ,

$$\sum_{i=0}^{n-1} f_i \theta^i. \quad (2.1.1)$$

Une dérivation sur  $\mathcal{G}_n^1$  peut être vue comme un automorphisme (infinitésimal) de  $\mathcal{G}_n^1$  sur elle-même. Une telle approche pour munir  $\mathcal{G}_n^1$  d'une dérivation a été suivie par Filipov, Isaev et Kurdikov [53] et débouche alors sur une règle de Leibniz adaptée, comme nous allons le voir. Considérons donc une dérivation  $\partial$ , également nilpotente ( $\partial^n = 0$ ) qui, par définition, donne

$$\begin{aligned} \partial(1) &= 0 \\ \partial(\theta^a) &\sim \theta^{a-1}, \end{aligned} \quad (2.1.2)$$

pour connaître précisément le second membre de l'équation (2.1.2), on utilise la règle de Leibniz adaptée

$$\partial(\theta^a) = \partial(\theta) \theta^{a-1} + \alpha \theta \partial(\theta) \theta^{a-2} + \dots + \alpha^{a-1} \theta^{a-1} \partial(\theta). \quad (2.1.3)$$

Si  $a = n$ ,  $\partial : 0 = \theta^n \rightarrow 0$ , et donc,  $1 + \alpha + \dots + \alpha^{n-1} = 0$ . De ce fait,  $\alpha$  est une racine  $n$ -ième de l'unité. Il y a donc  $(n - 1)$  dérivées distinctes ( $\alpha = q^i$ ) qui sont solutions, et

$$\partial_i(\theta^a) = \frac{1 - q^{ia}}{1 - q^i} \theta^{a-1} = \{a\}_i \theta^{a-1}. \quad (2.1.4)$$



Il est facile, à partir de (2.1.4), d'obtenir la relation constituant la définition de l'algèbre de Heisenberg  $q^i$ -déformée  $\mathcal{H}_{q^i,n}$

$$\partial_i \theta - q^i \theta \partial_i = 1. \quad (2.1.5)$$

Une telle relation a été mise en évidence pour la première fois dans [58], puis utilisée par les auteurs des Réfs. [59, 60]. Cette structure algébrique a été redécouverte indépendamment par Baulieu et Floratos [52] ainsi que dans [71, 72]. Elle peut être reliée aux  $q$ -oscillateurs [54]. Notons enfin que, si  $n$  n'est pas un nombre premier ( $n = n_1 n_2$ ), les  $(n-1)$  dérivées obtenues ne sont pas toutes équivalentes. En effet, un calcul direct nous indique que  $\partial_1$  est nilpotente d'ordre  $n$  alors que  $\partial_{n_1}$  est nilpotente d'ordre  $n_2$ . Quoi qu'il en soit, indépendamment de  $n$ , il existe au moins deux dérivées  $\partial_1 \equiv \partial_\theta$  et  $\partial_{n-1} \equiv \delta_\theta$  nilpotentes d'ordre  $n$ . On peut remarquer que les relations de définition des  $\partial_i$  contiennent les nombres  $q^i$ -déformés  $\{a\}_i = \frac{1-q^{ai}}{1-q^i}$  déjà introduits par Euler, et ces nombres redonnent  $a$  dans la limite  $q \rightarrow 1$ . Si on se limite aux algèbres de Grassmann, il n'est pas utile d'introduire de tels nombres, du fait qu'ils sont cachés. Il s'ensuit donc que la seule relation qui nous intéresse est  $\partial\theta = 1$ , étant donné que  $\theta^2 = 0$ .

La structure différentielle exhibée (2.1.5) n'est pas la seule envisageable et pour une étude systématique des diverses possibilités, on peut consulter la référence [53]. Cependant, c'est la structure (2.1.5) qui s'avèrera être la base de la généralisation de la supersymétrie que nous considérerons au cours du chapitre 3.

## 2.1.2 Représentations

Il est bien connu que les variables de Grassmann admettent une représentation de dimension **2** conduisant à la description des fermions. Il peut donc s'avérer utile de mettre en évidence les représentations de l'algèbre de Heisenberg  $q$ -déformée. Une représentation matricielle a été construite dans les Réf. [53, 65]. Nous avons montré [57] que les représentations de  $\mathcal{H}_{q,n}$  sont de dimension  $kn$  et seule, celle de dimension minimale, est irréductible. Pour aboutir à ce résultat, on peut procéder de trois manières différentes. Soit montrer, par un calcul direct mais très fastidieux, que  $(x\partial + y\theta^{n-1})^n \sim x^{n-1}y$  car  $\sum_{a=0}^{n-1} \partial^a \theta^{n-1} \partial^{n-a-1} \sim 1$  [65], soit utiliser les résultats des extensions de la supersymétrie [58, 59] basées sur les variables  $\theta$  et  $\partial$  qui conduisent au même résultat, soit enfin, utiliser directement la représentation matricielle [53, 65, 57]. Celle-ci peut être obtenue à partir de l'expression donnée pour  $\theta$  au chapitre sur les algèbres de Grassmann généralisées (1.1.12), puis en résolvant l'équation (2.1.5) pour  $i = 1$

$$\theta = \begin{pmatrix} 0 & \cdots & 0 & 0 \\ 1 & \cdots & 0 & 0 \\ \vdots & \ddots & \ddots & \vdots \\ 0 & \cdots & 1 & 0 \end{pmatrix} \quad \partial_\theta = \begin{pmatrix} 0 & \{1\}_1 & 0 & \cdots & 0 \\ 0 & 0 & \{2\}_1 & \cdots & 0 \\ \vdots & & & \ddots & 0 \\ 0 & \cdots & & \ddots & \{n-1\}_1 \\ 0 & \cdots & & \cdots & 0 \end{pmatrix}. \quad (2.1.6)$$

Il est amusant de constater que l'on peut relier les deux matrices (2.1.6) par une transformation de Fourier finie [57]  $\partial_\theta = \mathcal{F}\theta\mathcal{F}^{-1}$  avec  $\mathcal{F}_{ij} = \frac{1}{\{i-1\}_1!} \delta_{i+j-n-1,0}$ . On voit donc, à partir des matrices (2.1.6), que  $(x\partial + y\theta^{n-1})^n = \{n-1\}_1! x^{n-1}y$  ( $\{a\}_1! = \{1\}_1 \cdots \{a\}_1$ ). Autrement dit,  $\theta$  et  $\partial_\theta$  engendrent une représentation de l'algèbre de Clifford du polynôme  $x^{n-1}y$ . Ce faisant,  $\mathcal{H}_{q,n}$  est une représentation de  $\mathcal{C}_{x^{n-1}y}$ . Arguant que (2.1.6) est une représentation fidèle de  $\mathcal{H}_{q,n}$ , on en déduit que toutes les autres représentations de  $\mathcal{H}_{q,n}$  seront de dimension  $kn$ . On peut alors montrer que celles-ci sont réductibles et consistent en  $k$  copies de celle obtenue ci-dessus [57].

On munit alors  $\mathcal{H}_{q,n}$  de la graduation naturelle  $\text{gr}(\theta) = 1$ ,  $\text{gr}(\partial_\theta) = -1 \pmod{n}$ . Un calcul peu intéressant, utilisant par exemple la représentation matricielle (2.1.6), permet de montrer que les matrices  $H_{ii}$ , de graduation 0 (voir section (1.1.2.1.)), sont engendrées par les  $n$  éléments  $(1, \partial_\theta\theta, \dots, \partial_\theta^{n-1}\theta^{n-1})$ . Bien entendu, les matrices  $H_{i+ai}$ , de graduation  $a$ , sont obtenues également à partir des éléments de graduation  $a$  de  $\mathcal{H}_{q,n}$ . Les autres dérivées  $\partial_{i \neq 1}$  (de graduation  $-1$ ) s'expriment donc à partir de  $(\theta^{n-1}, \partial_\theta, \partial_\theta^2\theta, \dots, \partial_\theta^{n-1}\theta^{n-2})$  et l'algèbre est complètement spécifiée par la donnée des trois éléments  $q, \theta$  et  $\partial_\theta$ . Il s'ensuit donc

$$\mathcal{H}_{q,n} \begin{cases} \sim \mathcal{H}_{q^i,n} & \text{si } n \text{ est premier} \\ \supset \mathcal{H}_{q^i,n} & \text{si } n \text{ n'est pas premier et } i \text{ divise } n. \end{cases} \quad (2.1.7)$$

### 2.1.3 Inclusions

On s'intéresse maintenant à une variable de Grassmann généralisée d'ordre  $n = n_1n_2$ , avec  $n_1$  et  $n_2$  deux nombres premiers. Nous avons montré [64] qu'il est facile de construire, à partir de  $\theta$  et  $\partial_\theta$ ,  $\theta_1 = \theta^{n_2} \in \mathcal{H}_{q^{n_2},n_1} \equiv \mathcal{H}_{q_1,n_1} \subset \mathcal{H}_{q,n}$ , ainsi que la dérivée  $\partial_{\theta_1}$ , de graduation  $-n_1$  (c.f. la remarque de la section précédente). On peut donc obtenir l'algèbre  $\mathcal{H}_{q_1,n_1}$  comme une sous-algèbre de  $\mathcal{H}_{q,n}$ . On considère l'application

$$\begin{aligned} f_2 : \mathcal{H}_{q,n} &\longrightarrow \mathcal{H}_{q,n} \\ \theta &\longmapsto \theta_1 = \theta^{n_2} \\ \partial_\theta &\longmapsto \partial_{\theta_1} \\ q &\longmapsto q_1 = q^{n_2}, \end{aligned} \quad (2.1.8)$$

on peut facilement se rendre compte que  $f_2$  est un homomorphisme d'algèbre, et donc que  $\mathcal{H}_{q_1, n_1}$  est isomorphe à  $\mathcal{H}_{q, n}/\text{Ker}(f_2)$ . Il est également possible de définir un autre isomorphisme:  $\partial_\theta \rightarrow (\partial_\theta)^{n_2}; \theta \rightarrow \theta_1$ . Cette propriété sera fort utile dans le chapitre suivant.

## 2.2 $q$ -oscillateurs

### 2.2.1 Algèbre des $q$ -oscillateurs

Tout comme l'algèbre de Heisenberg est reliée naturellement aux oscillateurs bosoniques, il est possible de construire, à partir de  $\mathcal{H}_{q, n}$ , une algèbre d'oscillateurs  $q$ -déformés [54] (quand  $q = -1$ , on a une coïncidence triviale entre ces deux structures algébriques). Notons tout d'abord que la représentation matricielle nous permet de mettre en évidence un opérateur nombre [65]

$$\begin{aligned} \mathcal{N} &= \sum_{i=1}^{n-1} \frac{(1-q)^i}{(1-q^i)} \theta^i \partial_\theta^i \\ [\mathcal{N}, \theta] &= \theta, \quad [\mathcal{N}, \partial_\theta] = -\partial_\theta. \end{aligned} \quad (2.2.1)$$

On peut alors montrer (en utilisant la représentation matricielle par exemple) que l'on a

$$q^{\mathcal{N}} = \sigma_3, \quad \sigma_3 \theta = q \theta \sigma_3, \quad \sigma_3 \partial_\theta = q^{-1} \partial_\theta \sigma_3. \quad (2.2.2)$$

Enfin, à partir de (2.1.5), on peut établir le même résultat, à savoir que  $(\partial_\theta \theta - \theta \partial_\theta) \theta = q \theta (\partial_\theta \theta - \theta \partial_\theta)$  et  $(\partial_\theta \theta - \theta \partial_\theta) \partial_\theta = q^{-1} \partial_\theta (\partial_\theta \theta - \theta \partial_\theta)$  [53], c'est-à-dire que  $\partial_\theta \theta - \theta \partial_\theta = q^{\mathcal{N}}$ .

Pour introduire les  $q$ -oscillateurs, à partir de  $\mathcal{H}_{q, n}$ , on pose  $a^\dagger = \theta \sigma_3^{-1/4}$ ,  $a = \sigma_3^{-1/4} \partial_\theta$ . On observe alors que

$$aa^\dagger = \sigma_3^{-1/2} \partial_\theta \theta = \partial_\theta \theta \sigma_3^{-1/2}, \quad a^\dagger a = q^{1/2} \theta \partial_\theta \sigma_3^{-1/2}, \quad (2.2.3)$$

et on obtient donc l'algèbre des  $q$ -oscillateurs

$$\begin{cases} aa^\dagger - q^{1/2} a^\dagger a &= q^{-\mathcal{N}/2} \\ aa^\dagger - q^{-1/2} a^\dagger a &= q^{-\mathcal{N}/2} \sigma_3 = q^{\mathcal{N}/2}. \end{cases} \quad (2.2.4)$$

En fait, la démonstration produite ici n'est rien d'autre que l'inverse de la démonstration primitive faite par Biedenharn [54], permettant de passer du système  $a, a^\dagger$  au système  $\theta, \partial_\theta$ . L'équation (2.2.4), définissant le système de  $q$ -oscillateurs, est d'ailleurs vraie pour toutes les valeurs de  $q$ . Cependant, seulement lorsque  $q$  est une racine primitive de l'unité, l'algèbre (2.2.4) est de dimension finie. L'espace de Fock est donc constitué des états  $|k\rangle$ ,  $k = 0, 1 \dots$ , orthonormés [54]

$$\begin{aligned}
a^\dagger |k\rangle &= \sqrt{[k+1]} |k+1\rangle \\
a |k\rangle &= \sqrt{[k]} |k-1\rangle \\
\mathcal{N} |k\rangle &= k |k\rangle,
\end{aligned} \tag{2.2.5}$$

avec  $[x] = \frac{q^{x/2} - q^{-x/2}}{q^{1/2} - q^{-1/2}}$ . La représentation de l'algèbre des  $q$ -oscillateurs est donc construite à partir d'un vide annihilé par  $a$ . Etant donné que les relations de définition de  $\mathcal{H}$  font intervenir  $q^{1/2}$  au lieu de  $q$ , il vient que (quand  $q$  est une racine primitive de l'unité)  $a$  et  $a^\dagger$  sont bien conjugués hermitiques l'un de l'autre ( $[k]$  est toujours positif). Lorsque  $q$  est réel c'est également le cas. En fait en étudiant l'algèbre (2.2.4) on voit que les équations sont stables par conjugaisons uniquement dans ces deux cas (pour  $q = \exp(2i\pi/n)$  étant donné que la seconde équation manquait dans les premiers articles, cette propriété n'avait pas été observée).

On voit, à partir de ces relations, que si  $q$  est une racine primitive de l'unité, on a  $[n] = 0$ . Le caractère fini de l'espace de Hilbert est directement induit par le fait que les  $q$ -oscillateurs sont nilpotents. Les vecteurs d'états  $|k\rangle$  apparaissant dans l'équation (2.2.5) sont aussi construits à partir de  $\theta$  et  $\partial_\theta$ ,  $\theta |k\rangle = \sqrt{\{k+1\}_1} |k+1\rangle$ ,  $\partial_\theta |k\rangle = \sqrt{\{k\}_1} |k-1\rangle$ , le passage aux matrices (2.1.6) se faisant par un changement de base.

Toujours lorsque  $q^n = 1$ , on peut trouver une autre représentation dite cyclique, pour laquelle  $a |0\rangle = 0$  et  $a^\dagger |n\rangle \sim |0\rangle$  [73]. Il est intéressant de constater que celle-ci admet comme point de départ l'algèbre  $\mathcal{C}_n^2$  au lieu de l'algèbre de Grassmann généralisée associée. C'est d'ailleurs en identifiant  $\sigma_1 \equiv \exp(2i\pi/nP)$ ,  $\sigma_3 \equiv \exp(iQ)$ , que, dans la limite  $n \rightarrow \infty$ , on voit que  $P, Q$  engendrent l'algèbre de Heisenberg [45, 73].

Il existe enfin une troisième représentation, construite à partir d'opérateurs bosoniques ( $b^\dagger, b, \mathcal{N}$ ) [77]

$$a = \left( \frac{[\mathcal{N} + 1]}{\mathcal{N} + 1} \right)^{1/2} b, a^\dagger = b^\dagger \left( \frac{[\mathcal{N} + 1]}{\mathcal{N} + 1} \right)^{1/2}.$$

Si  $q$  est une racine primitive de l'unité, celle-ci consiste en secteurs disconnectés les uns des autres.

### 2.2.2 Base des états cohérents

Il est également possible, pour  $q$  arbitraire, de définir une base des états cohérents. Introduisons deux variables  $\theta$  et  $\bar{\theta}$  satisfaisant  $\theta\bar{\theta} = q\bar{\theta}\theta$ , commutant avec  $a, a^\dagger$  et, lorsque  $q$  est une racine de l'unité, vérifiant  $\theta^n = \bar{\theta}^n = 0$  [54, 76, 77]. On établit alors simplement que

$$\begin{aligned}
|\theta\rangle &= \sum_k \frac{\theta^k}{\sqrt{[k]!}} |k\rangle \equiv \exp_q(\theta a^\dagger) |0\rangle \\
a|\theta\rangle &= \theta|\theta\rangle \\
\langle p|\theta\rangle &= \frac{\theta^p}{\sqrt{[p]!}}.
\end{aligned} \tag{2.2.6}$$

Si on définit ( $q^n = 1$ )  $\langle\theta| = \langle 0|\exp_q(a\bar{\theta})$ , alors ce vecteur sera état propre de  $a^\dagger$  :  $\langle\theta|a^\dagger = \langle\theta|\bar{\theta}$ . On a donc  $\langle\theta|p\rangle = \frac{\bar{\theta}^p}{\sqrt{[p]!}}$ .

Bien entendu, la somme est finie si  $q$  est une racine primitive de l'unité. La fonction  $\exp_q x = \sum_k \frac{x^k}{[k]!}$ , constituant une généralisation de la fonction exponentielle, joue un rôle central dans ce type de structures algébriques; elle est dénommée exponentielle  $q$ -déformée. Elle est constituée de  $n$  termes quand  $q^n = 1$ . C'est cette constatation, nous permettant d'associer deux variables "classiques" ( $\theta, \bar{\theta}$ ) au système  $(a, a^\dagger)$  ou à  $(\theta, \partial_\theta)$ , qui constitue une seconde démonstration de l'assertion *la quantification des variables  $\theta$  et  $\bar{\theta}$  conduit à l'algèbre  $\mathcal{H}_{q,n}$  ou à celui des  $q$ -oscillateurs*; ce procédé de quantification a été suivi dans [52]. Nous verrons une autre justification au chapitre suivant. L'introduction d'une base des états cohérents a été redécouverte dans les références [52, 71].

L'algèbre (2.2.4) peut être vue comme une déformation des relations de commutation de l'oscillateur bosonique, et, de ce fait,  $(a, a^\dagger)$  a été appelé  $q$ -boson. Il est également possible de définir une déformation de l'oscillateur fermionique [74, 75] en introduisant un signe dans la relation de commutation de l'équation (2.2.4). A partir de familles de  $q$ -bosons, commutantes les unes par rapport aux autres, ou vérifiant des relations plus compliquées, similaires à celles des variables de Grassmann et de Clifford généralisées (1.1.6, 1.1.10), suivant la méthode de Jordan-Wigner, une construction explicite des générateurs de certaines algèbres déformées a été obtenue [54, 77, 78, 79, 73]. Il est également possible de construire des extensions  $q$ -déformées des algèbres conformes [80, 73] ou des superalgèbres [78, 81].

## 2.3 Famille de $q$ -oscillateurs

Un certain nombre de raisons nous donnent envie d'aller au-delà du système constitué d'un oscillateur unique: ainsi par exemple, les résultats mentionnés au paragraphe précédent, et surtout le fait qu'un système physique n'est jamais constitué d'un seul oscillateur. A la différence de ce qui se passe pour les systèmes bosoniques et fermioniques, où le passage d'un oscillateur à un nombre arbitraire d'oscillateurs est unique (modulo une transformation de Klein pour les fermions), dès que l'on considère les  $q$ -oscillateurs, ou les algèbres de Heisenberg  $q$ -déformées, ce n'est plus vrai. Suivant les postulats de départ, on aura une

structure avec des propriétés distinctes et des covariances différentes, c'est-à-dire des groupes de stabilité distincts.

### 2.3.1 Systèmes de $q$ -oscillateurs

La façon naturelle de considérer un système multi-oscillateurs consiste à introduire une famille de  $p$   $q$ -bosons indépendants ou, ce qui revient au même,  $p$  algèbres de Heisenberg  $q$ -déformées commutantes  $\otimes^p \mathcal{H}_{q,n} ((\xi_i, \partial_{\xi_i}, \mathcal{N}_i) i = 1, \dots, p)$ . Ensuite, on définit une transformation de Klein adaptée permettant, à partir des oscillateurs  $\xi, \partial_{\xi}$ , de construire un autre système. Bien évidemment, toutes les algèbres construites par ce procédé hériteront des propriétés de  $\mathcal{H}_{n,q}$ ; elles admettront en particulier une représentation de dimension finie lorsque  $q^n = 1$ .

#### 2.3.1.1. Quantification de l'algèbre de Grassmann généralisée.

A partir de  $p$  variables commutantes, il est facile de définir  $p$  variables  $q$ -mutantes, et ainsi de définir une algèbre de Grassmann généralisée vérifiant les relations (1.1.10). Si en outre on veut préserver la propriété de dérivation (2.1.5), c'est-à-dire munir l'algèbre  $\mathcal{G}_n^p$  d'une structure différentielle, nous avons montré qu'il n'y a qu'un choix unique pour exprimer  $\theta_i, \partial_{\theta_i}$  en fonction de  $\xi_i, \partial_{\xi_i}$  [63]

$$\begin{aligned} \xi_i &\longrightarrow \theta_i = \left( \prod_{j < i} q^{\mathcal{N}_j} \right) \xi_i \\ \partial_{\xi_i} &\longrightarrow \partial_{\theta_i} = \left( \prod_{j < i} q^{-\mathcal{N}_j} \right) \partial_{\xi_i}. \end{aligned} \quad (2.3.1)$$

On peut noter que la première expression, du fait de la propriété  $q^{\mathcal{N}} = \sigma_3$ , traduit les relations (1.1.10). Les couples  $\theta_i, \partial_{\theta_i}$  vérifient alors les relations de  $q$ -mutations suivantes

$$\begin{cases} \theta_i \theta_j = q \theta_j \theta_i, & i < j \\ \partial_{\theta_i} \partial_{\theta_j} = q \partial_{\theta_j} \partial_{\theta_i}, & i < j \\ \partial_{\theta_i} \theta_i - q \theta_i \partial_{\theta_i} = 1 \\ \partial_{\theta_i} \theta_j = q^{-1} \theta_j \partial_{\theta_i}, & i < j \\ \partial_{\theta_j} \theta_i = q \theta_i \partial_{\theta_j}, & i < j. \end{cases} \quad (2.3.2)$$

Une telle transformation est une adaptation de la transformation de Klein, engendrant à partir d'un système de  $p$  fermions commutant, un système de fermions anticommétant, aux systèmes  $q$ -mutant. Ces relations ont également été mises en évidence dans [83]. Ces auteurs

sont partis de la première équation des relations (2.3.2) et, en imposant une covariance sous le groupe Euclidien  $q$ -déformé, ont obtenu le reste des relations.

En outre, on peut montrer que l'espace ainsi construit admet une  $R$ -matrice [84, 85]

$$R_{j_1 j_2}^{i_1 i_2} = \delta_{j_1}^{i_2} \delta_{j_2}^{i_1} (1 + (q - 1) \delta^{i_1 i_2}) + (q - 1/q) \delta_{j_1}^{i_1} \delta_{j_2}^{i_2} \Theta(i_2 - i_1). \quad (2.3.3)$$

En interprétant  $R$  comme une application de  $\mathcal{H}_{q,n} \otimes \mathcal{H}_{q,n}$  dans elle-même, et en indiquant par 1, 2 les éléments du premier (second) espace, on peut réécrire (1.1.10) sous la forme  $(R_{12} - q)\theta_1\theta_2 = 0$ , avec  $\Theta(i_1 - i_2) = 1$  si  $i_2 > i_1$  et zéro sinon. Si maintenant, on considère le produit de trois espaces  $\mathcal{H}_{q,n} \otimes \mathcal{H}_{q,n} \otimes \mathcal{H}_{q,n}$ , un calcul direct montre que  $R$  satisfait l'équation de Yang-Baxter  $R_{12}R_{23}R_{12} = R_{23}R_{12}R_{23}$  [86].

### 2.3.1.2. L'hyperplan quantique.

Une autre possibilité pour construire un système de  $q$ -oscillateurs est de faire agir les opérateurs nombres symétriquement pour  $\theta$  et  $\partial_\theta$ . Suivant le principe de la transformation de Klein, introduite au paragraphe précédent, définissons

$$\begin{aligned} \xi_i &\longrightarrow \eta_i = \xi_i \prod_{j>i} q^{\mathcal{N}_j/2} \\ \partial_{x_i} &\longrightarrow \partial_{\eta_i} = \partial_{\xi_i} \prod_{j>i} q^{\mathcal{N}_j/2}, \end{aligned} \quad (2.3.4)$$

les variables  $\eta, \partial_\eta$  satisfont alors

$$\begin{cases} \eta_i \eta_j = q^{1/2} \eta_j \eta_i, & i < j \\ \partial_{\eta_i} \partial_{\eta_j} = q^{-1/2} \partial_{\eta_j} \partial_{\eta_i}, & i < j \\ \partial_{\eta_i} \eta_j = q^{1/2} \eta_j \partial_{\eta_i}, & i \neq j \\ \partial_{\eta_i} \eta_i - q \eta_i \partial_{\eta_i} = 1 + (q - 1) \sum_{j>i} \eta_j \partial_{\eta_j}. \end{cases} \quad (2.3.5)$$

Une telle structure différentielle a été obtenue par Wess et Zumino [84] ainsi que Pusz et Woronowicz [85] en imposant une covariance sous le groupe quantique  $GL_q(p)$ . La dissymétrie entre les variables se résume dans la propriété  $\partial_{\xi_j} \xi_j - \xi_j \partial_{\xi_j} = q^{\mathcal{N}_j} = 1 + (q - 1) \xi_j \partial_{\xi_j}$ .

Bien que les relations de définition de (2.3.2) et de (2.3.5) soient différentes, elle présentent une certaine analogie. Ces relations, vraies pour toutes les valeurs de  $q$ , se singularisent lorsque  $q^n = 1$ . En effet, pour les racines de l'unité, on peut trouver des représentations matricielles pour  $\theta_i, \partial_{\theta_i}$  ainsi que  $\eta_i, \partial_{\eta_i}$  (voir équations (1.1.12)). Avec les notations que

nous avons choisies, pour pouvoir comparer les algèbres apparaissant dans les deux sous-sections précédentes, il faut faire la substitution  $q \rightarrow q^{1/2}$ . Si  $q = -1$  pour la première algèbre (c'est-à-dire  $q^{1/2} = -1$  pour la seconde), les deux structures construites sont identiques et correspondent à un système de  $p$  oscillateurs fermioniques. La différence dans ces deux extensions réside dans leur groupe de stabilité; il est a posteriori évident que (2.3.2) et (2.3.5) n'admettent pas le même groupe de covariance. Car, si on adoptait l'hypothèse contraire, on pourrait passer des premières relations aux secondes. Pour les fermions, ces deux séries d'oscillateurs peuvent être construites à partir de l'algèbre de Clifford (1.1.11). Cette propriété traduit simplement le fait que les matrices  $\gamma$  engendrent la représentation spinorielle de  $SO(2p)$ . Maintenant, si  $q$  est une racine primitive  $n$ -ième de l'unité, on peut bien sûr construire les variables  $\theta_i$  à partir des éléments de l'algèbre de Clifford généralisée (en prenant par exemple  $l = 0$  dans l'équation (1.1.11)); mais nous ne sommes pas en mesure de construire une dérivation en considérant les variables  $\theta_i^{(l)}$ . C'est encore une limitation des polynômes de degré supérieur à 2 par rapport aux quadratiques.

### 2.3.1.3. Extensions alternatives.

A partir de  $p$  séries de  $q$ -oscillateurs, en introduisant des transformations bien choisies, nous avons été capables de construire deux systèmes distincts. Il existe une autre extension possible, appelée quons [88, 87], et n'ayant pas de rapport avec les oscillateurs  $q$ -déformés. La différence essentielle entre ce système et les précédents est que nulle relation de commutation entre les différentes familles d'oscillateurs n'est connue, excepté

$$\partial_i \theta_j - q \theta_j \partial_i = \delta_{ij}. \quad (2.3.6)$$

D'autres possibilités peuvent encore être introduites. Les arguments conduisant à ces extensions sont évidemment différents de ceux considérés jusqu'à présent. Ainsi, dans le chapitre suivant, d'autres possibilités, justifiées par la cohérence du système que nous utiliserons, seront à la base d'extensions différentes.

Formellement, toutes ces  $q$ -généralisations peuvent être introduites quelle que soit la dimension de l'espace-temps, mais d'après le théorème spin-statistique, les seules extensions envisageables des fermions et des bosons sont les parafermions et les parabosons [23, 24]. Cependant, on peut profiter de l'existence de dimensions "exceptionnelles" pour introduire de telles séries d'oscillateurs sans violation du théorème spin-statistique. C'est ce que nous ferons dans le chapitre suivant.



### 2.3.2 Intégration

Pour les variables de Grassmann, Berezin a montré que l'on pouvait définir une intégration adaptée. En utilisant des arguments similaires, nous avons établi qu'il est possible d'introduire une intégration pour les variables de Grassmann généralisées [82]. En imposant l'invariance par translation, on obtient

$$\int d\theta\theta^a = \{n-1\}_1! \delta_{a,n-1}, \quad (2.3.7)$$

on identifie donc  $\int d\theta \equiv \left(\frac{d}{d\theta}\right)^{n-1}$ . La normalisation apparaissant dans l'équation (2.3.7) étant parfaitement arbitraire, on aurait pu également définir l'intégration à partir d'une autre dérivée. Une telle formule d'intégration a aussi été obtenue par un certain nombre d'auteurs [52, 72, 76]. La relation (2.3.7) est définie pour les racines de l'unité; cependant, rien ne restreint  $q$  de la sorte. Il est également possible de considérer une dérivation et une intégration lorsque  $q$  est quelconque [76, 52].

L'étape ultérieure consiste à considérer une intégration quand plusieurs variables de Grassmann généralisées sont introduites. Nous nous limiterons à une intégration associée au système (2.3.2). Ce qui revient à dire que

$$\begin{cases} \theta_i\theta_j = q\theta_j\theta_i, & i < j \\ \int d\theta_i \int d\theta_j = q \int d\theta_j \int d\theta_i, & i < j \\ \int d\theta_i\theta_j = q\theta_j \int d\theta_i, & i < j \\ \int d\theta_j\theta_i = q^{-1}\theta_i \int d\theta_j, & i < j. \end{cases} \quad (2.3.8)$$

Ceci équivaut à imposer que les différentes intégrations soient "emboîtées" les unes dans les autres, c'est-à-dire, que pour une fonction

$$f(\theta_1, \dots, \theta_p) = \sum_{\{a_i\}=0, \dots, n-1} \theta_1^{a_1} \dots \theta_p^{a_p} f_{a_1 \dots a_p},$$

on a

$$\int \prod_{i=p}^1 d\theta_i f(\theta_1, \dots, \theta_p) = \int d^n \theta f(\theta_1, \dots, \theta_p) = (\{n-1\}_1!)^p f_{n-1 \dots n-1}, \quad (2.3.9)$$

après intégration successive sur les variables  $\theta_1, \dots, \theta_p$ .

#### 2.3.2.1. Intégration et base des états cohérents.

A partir des formules d'intégration, il devient possible de déduire les diverses grandeurs en fonction de  $\theta$  et  $\bar{\theta}$  et de la base des états cohérents.

En notant que la relation de fermeture peut se réécrire [52]

$$\sum_{p=0}^{n-1} |p\rangle \langle p| = \int \frac{d\bar{\theta}d\theta}{[n-1]!} \exp_q(-\bar{\theta}\theta) |\theta\rangle \langle \theta| = 1, \quad (2.3.10)$$

il est alors possible de réexprimer un vecteur d'état [52]

$$\begin{cases} |\psi\rangle = \sum_{p=0}^{n-1} \psi_p |p\rangle, & \langle \chi| = \sum_{p=0}^{n-1} \langle p| \chi_p^* \\ \psi(\bar{\theta}) = \langle \theta|\psi\rangle = \sum_{p=0}^{n-1} \psi_p \frac{\bar{\theta}^p}{\sqrt{[p]!}}, & \bar{\chi}(\theta) = \langle \chi|\theta\rangle = \sum_{p=0}^{n-1} \chi_p^* \frac{\theta^p}{\sqrt{[p]!}}, \end{cases} \quad (2.3.11)$$

ainsi qu'un opérateur (en introduisant deux couples  $\theta, \bar{\theta}$  et  $\theta', \bar{\theta}'$  commutants) [52]

$$\begin{aligned} A &= \sum_{p,q=0}^{n-1} A_{pq} |p\rangle \langle q| \\ A(\bar{\theta}, \theta') &= \langle \theta|A|\theta'\rangle = \sum_{p,q=0}^{n-1} A_{pq} \frac{\bar{\theta}^q}{\sqrt{[q]!}} \frac{\theta'^p}{\sqrt{[p]!}}. \end{aligned} \quad (2.3.12)$$

Ainsi, en utilisant la relation de fermeture, on obtient  $\langle \chi|\psi\rangle = \int \frac{d\bar{\theta}d\theta}{[n-1]!} \chi^*(\theta) \psi(\bar{\theta})$ , et de ce fait, les vecteurs  $\frac{\theta^p}{\sqrt{[p]!}}$  définissent une base orthonormée [52, 73].

Ce faisant, la base des états cohérents permet, par l'intermédiaire d'une intégration de Berezin, adaptée aux variables de Grassmann généralisées, d'obtenir une représentation de l'espace des états de l'oscillateur  $q$ -déformé (ou bien de  $\mathcal{H}_{q,n}$ ) à partir d'un jeu de variables  $\theta, \bar{\theta}$  [52, 73]. Les propriétés d'un système décrit par une algèbre  $\mathcal{H}_{q,n}$  pourront donc être déduites de variables classiques en utilisant une intégrale de chemin adaptée.

### 2.3.2.2. Changement de variables

En supersymétrie, la construction d'actions invariantes passe par la considération d'intégrales sur des variables bosoniques et fermioniques. Nous serons amenés, lors de l'étude de symétries au-delà de la supersymétrie, à définir des intégrations où les variables de Grassmann généralisées et de type bosonique seront considérées simultanément. Nous avons établi, quand  $n = 3$  [62], des relations analogues à celle du superdéterminant. Ces formules de changement de base se font en suivant mot pour mot la démonstration de Berezin [89]. Soient  $k$  variables bosoniques  $x_a$  et  $p$  variables de Grassmann généralisées  $\theta_i$ . On considère le changement de base

$$\begin{aligned} x' &= xA + \theta B \\ \theta' &= xC + \theta D, \end{aligned} \quad (2.3.13)$$

où  $A$  est une matrice  $k \times k$  de graduation 0,  $B$  une matrice  $k \times p$  de graduation  $-1$ ,  $C$  une matrice  $p \times k$  de graduation 1 et enfin  $D$  une matrice  $p \times p$  de graduation 0. On obtient alors

$$\int dx'^k d\theta^p = \det(A - BD^{-1}C) (\det D)^{-(n-1)} \int dx^k d\theta^p. \quad (2.3.14)$$

Cette relation est une généralisation directe du superdéterminant apparaissant dans les théories supersymétriques [89].

### 2.3.2.3. Intégrale de chemin

Les relations d'intégration et de changement de base introduites ci-avant vont être utiles pour établir la construction d'actions invariantes. Au niveau quantique, nous avons besoin de définir des intégrales de chemin. Le passage d'une intégration de dimension infinie se fait comme d'habitude en considérant, dans un premier temps, une intégration de dimension finie, puis en prenant la limite infinie. A cet égard, introduisons deux séries de variables de Grassmann généralisées  $\theta_\ell^i$   $\ell = 1, \dots, N$  et  $i = 1, 2$  de graduation respective  $\text{gr}(\theta_\ell^1) = 1$  et  $\text{gr}(\theta_\ell^2) = -1$ . Ces deux variables peuvent être comprises comme la version classique des opérateurs  $\theta_\ell, \partial_{\theta_\ell}$ . On peut supposer que l'on a une relation d'ordre  $(i, \ell) < (j, k)$  si  $i < j$  ou  $i = j$  et  $\ell < k$ , permettant de définir des relations de  $q$ -mutation entre les  $\theta$ , ou tout simplement que les différents couples commutent. Cette dernière alternative est préférable étant donné que dans la limite continue,  $\theta_\ell^i$  et  $\theta_{\ell+1}^i$  commutent. Nous avons montré que l'on a [63]

$$\int d^N \theta^1 d^N \theta^2 e^{\theta^1 \Delta \theta^2} = \mathcal{N} (\det \Delta)^{n-1}. \quad (2.3.15)$$

En effet, la forme quadratique  $\Delta$  peut être diagonalisée en utilisant deux transformations unitaires  $J_1, J_2$ :  $\text{diag} = J_1 \Delta J_2$ . Ensuite, en utilisant les relations de changement de base (2.3.14) et les lois d'intégration sur les variables de Grassmann généralisées (2.3.9), on obtient (2.3.15). Le coefficient  $\mathcal{N}$  est calculable, il provient d'une part des intégrales sur les  $\theta$  et d'autre part, des commutations des différentes variables. Il peut donc être réabsorbé dans la mesure d'intégration. Si d'autres relations de  $q$ -mutation entre les couples de variables  $\theta$  sont définies, en choisissant une normalisation appropriée dans la mesure d'intégration, le résultat reste inchangé car les propriétés primordiales sont  $(\theta_\ell^1)^n = 0$ , et la relation (2.3.7). Des résultats similaires pour les variables de Grassmann généralisées d'ordre 3 ont également été obtenus par Matheus-Valle *et al* dans [67].

Dans cette partie, nous nous sommes concentrés sur les propriétés des  $q$ -oscillateurs, ou de  $\mathcal{H}_{q,n}$  l'algèbre de Heisenberg  $q$ -déformée. Nous avons mentionné leurs applications à

l'étude des représentations des algèbres  $q$ -déformées. C'est d'ailleurs la raison pour laquelle Macfarlane et Biedenharn [54] avaient considéré de telles déformations (ils voulaient obtenir des représentations de  $SU_q(2)$ ).

La raison pour laquelle nous nous sommes intéressés à ces structures est différente. Nous verrons dans le chapitre suivant que les variables  $\theta$  et  $\partial_\theta$  vont être à la base d'une symétrie généralisant la supersymétrie.



# Chapter 3

## Extension de la supersymétrie: Supersymétrie fractionnaire

La formulation des théories décrivant les particules élémentaires par exemple est intimement corrélée aux symétries sous-jacentes. De ce fait, les particules vont être classées en représentations irréductibles du groupe de symétries fondamentales de l'espace-temps, c'est-à-dire du groupe de Poincaré. Par ailleurs, on sait que d'une part, une fois ce groupe jaugé (ou plus exactement le sous-groupe des translations), on obtient une description de l'interaction gravitationnelle et que d'autre part, la notion de groupe de Lie compact permet de décrire les interactions fondamentales ou de jauge. En outre, d'après le théorème de Noether, on peut connecter les générateurs des groupes de symétries aux quantités conservées, construites directement à partir de la densité lagrangienne. Les générateurs ainsi obtenus agiront sur l'espace de Hilbert décrivant les états accessibles du système considéré.

En théorie quantique des champs relativistes, les processus d'interaction entre particules (diffusion, création, etc) sont décrits par l'intermédiaire d'une quantité fondamentale, la matrice  $S$ . Celle-ci permet de relier les états entrants aux états sortants. Un certain nombre de contraintes physiques restreint considérablement les symétries de la théorie. En effet, si on impose l'unitarité de la matrice  $S$ , ainsi qu'un spectre de particules massives discret et un intervalle d'énergie non-nul entre les états à une particule et le vide, deux théorèmes limitent fortement les symétries envisageables. Si on recherche une théorie décrite dans le cadre d'algèbres de Lie, le théorème de Coleman et Mandula [90] implique une extension triviale de l'algèbre de Poincaré. Ceci revient à dire que l'on obtient une structure du type  $P \otimes G$ , où  $P$  est le groupe de Poincaré et  $G$  un groupe de symétries internes, dont les générateurs sont des scalaires de Lorentz, susceptibles de décrire les interactions de jauge. Si maintenant on s'intéresse au cas non-massif, on sort des conditions de validité du théorème de Coleman et Mandula, le groupe des symétries fondamentales n'est plus le groupe de Poincaré, mais le groupe conforme. Si on va au-delà des algèbres de Lie de façon

à permettre la prise en compte de super-algèbres de Lie, c'est-à-dire que l'on introduise des générateurs dans une représentation fermionique du groupe de Poincaré, le théorème de Haag, Lopuszanski et Sohnius [91] impose que les générateurs supplémentaires soient dans la représentation spinorielle du groupe de Lorentz. Une telle extension est bien évidemment non-triviale. D'après le théorème spin-statistique, il semble donc qu'il existe une *unique* extension non-triviale de l'algèbre de Poincaré, au nombre de supercharges près.

Ainsi, il apparaît que ces deux théorèmes mettent un point final aux types de symétries envisageables. Mais, si l'on regarde de plus près les conditions de validité des théorèmes de Coleman & Mandula et de Haag, Lopuszanski & Sohnius, il devient possible, sous certaines conditions, d'envisager des symétries allant au-delà de la supersymétrie. On peut classer les extensions permises en deux grandes catégories: Pour les premières, on introduit une série de générateurs sans faire appel aux représentations du groupe de Lorentz alors que pour les secondes, on impose que les nouveaux générateurs soient dans une représentation appropriée du groupe de Lorentz.

En ce qui concerne les premiers types d'extensions réalisables, une première possibilité passe par les groupes quantiques [55] et l'espace-temps se trouve alors défini par une structure non-commutative et le groupe de symétrie devient le groupe de Poincaré  $q$ -déformé [92]. On peut également supposer que les générateurs du groupe de Poincaré eux-mêmes admettent, outre leurs indices d'espace-temps, des indices internes. Il est alors possible, en utilisant le formalisme des algèbres de Lie généralisées [56], de construire une extension de l'algèbre de Poincaré  $\mathbb{Z}_n$ -graduée [93]. Une troisième alternative consiste à introduire des algèbres  $\mathbb{Z}_n$  graduées dont les relations de fermeture se font via des relations d'ordre  $n$  associées à une symétrie interne, au lieu de relations quadratiques [94]. Quant aux seconds types d'extensions envisageables, on admet comme point de départ que les nouveaux générateurs sont dans une représentation du groupe de Lorentz qui n'est ni bosonique, ni fermionique. La première possibilité passe par les parafermions [23, 24]. Ce faisant, on va considérer des algèbres admettant une structure trilinéaire et conduisant à la parasupersymétrie [95, 96]; appliquée aux symétries de l'espace-temps, on peut alors construire une extension parasupersymétrique (PSUSY) du groupe de Poincaré [97]. La dernière possibilité, celle que nous avons suivie, réside dans l'existence de dimensions exceptionnelles, pour lesquelles il est possible d'envisager des champs ni bosoniques ou fermioniques, ni parabosoniques ou parafermioniques. Une telle symétrie, appelée supersymétrie fractionnaire (FSUSY), a été considérée par un certain nombre d'auteurs [58, 59, 60, 61, 62, 63, 64, 65, 66, 67, 68]. En fait, à l'origine, la PSUSY [95] et la FSUSY [66, 99] avaient été introduites dans le but de décrire un système quantique présentant une dégénérescence du spectre, c'est-à-dire une symétrie cachée; de telles symétries sont directement inspirées de la mécanique quantique supersymétrique considérée par Witten [100].

Dans ce chapitre, nous allons nous intéresser à la supersymétrie fractionnaire et nous allons étudier ses implications en théorie des champs. Nous allons donc rechercher des dimensions de l'espace-temps pour lesquelles il est possible d'envisager d'autres types de champs. Il est intéressant de souligner que tout le formalisme que nous avons développé jusqu'à présent trouve une application naturelle dans le cadre de la FSUSY. Pour résumer sommairement, on peut affirmer que les extensions des algèbres de Clifford et de Grassmann, développées dans le premier chapitre, conduisent aux  $q$ -oscillateurs ou aux algèbres de Heisenberg  $q$ -déformées. Nous allons mettre en évidence le fait que, grâce à la structure mathématique inhérente aux  $q$ -oscillateurs, on peut construire une théorie des champs ayant une structure  $\mathbb{Z}_n$ -graduée. On va donc introduire des générateurs généralisant les générateurs bosoniques/fermioniques, ou générateurs  $\mathbb{Z}_2$ -gradués (les bosons, fermions étant respectivement pairs, impairs). De prime abord, la prise en compte de tels types de générateurs semble être en opposition avec les résultats de la théorie des représentations du groupe de Lorentz où seuls des champs de spin entier/demi-entier existent. C'est à ce stade que la prise en compte des dimensions exceptionnelles prend corps (de façon identique, ce n'est pas de l'étude générale de  $SO(n)$  que l'on peut obtenir les propriétés de triallité de  $SO(8)$ ).

Lorsque la dimension de l'espace-temps est 1, le groupe des rotations est inexistant, le seul générateur réside alors dans les translations sur l'axe du temps. La supersymétrie fractionnaire d'ordre  $F$  consiste alors en la prise en considération d'un générateur  $Q$  s'interprétant comme la racine  $F$ -ième du Hamiltonien ( $Q^F = \partial_t$ ). Nous avons appliqué une telle symétrie dans le formalisme de la ligne d'univers où, dans un langage issu des cordes, les propriétés spatio-temporelles peuvent être déduites de celles sur la ligne d'univers [62], résultats que nous allons développer dans une première section après avoir construit une version locale de la supersymétrie fractionnaire, que nous avons appelée supergravité fractionnaire. En suivant le formalisme de la quantification avec contraintes développé par Dirac, nous avons dérivé une équation pour laquelle l'opérateur de base est une racine cubique de l'opérateur de Klein-Gordon ( $F = 3$ ).

Dans les espaces de dimension 2, si on se limite aux états de masse nulle, on peut tirer parti de l'invariance conforme et de l'algèbre de Virasoro. On peut donc profiter de l'existence de champs de spin (plus exactement de poids conforme) arbitraire et introduire en plus du tenseur énergie-impulsion de poids conformes 2, un générateur de poids conformes  $1+1/F$  [63, 64]. Une telle extension contiendra des champs primaires de poids conformes  $(0, 1/F, \dots, (F-1)/F)$ . Nous allons nous attacher à définir une telle symétrie dans la seconde section, où nous construirons explicitement l'algèbre (OPE) et nous verrons que la cohérence impose les relations de commutation entre les différents oscillateurs ( $q$ -oscillateurs) apparaissant dans la théorie, ainsi qu'un théorème de Wick adapté.

Enfin, le dernier cas particulier est celui des espaces de dimension  $1+2$ , où des états de spin



arbitraire existent. Les anyons ont été mis en évidence pour la première fois par Leinaas et Myrheim [101]. On peut comprendre l'existence de telles particules de deux façons différentes. Premièrement, en dimension 3 un système de plusieurs particules est dans une représentation du groupe des tresses, et non des permutations, et le système peut donc prendre une phase arbitraire (différente de 1 ou  $-1$ ) quand on permute les particules. Secundo, le petit groupe, associé aux états massifs est  $\overline{SO(2)}$  (le groupe de recouvrement universel de  $SO(2)$ ). Un tel groupe n'étant pas quantifié, la fonction d'onde, de dimension 1, peut prendre une phase arbitraire après une rotation de  $2\pi$ . Nous avons alors, en considérant des opérateurs dans une représentation "anyonique" de  $SO(1, 2)$ , pu définir une extension non-triviale de la supersymétrie. Cette symétrie sera une symétrie entre les différents champs anyoniques [68]. Nous présenterons nos résultats dans la troisième section.

Le point commun à  $D = 1, 2, 3$  est que si  $F = 2$ , on retrouve la supersymétrie usuelle. De plus, tout comme en supersymétrie, la FSUSY est une symétrie agissant sur des champs de graduations  $(0, 1, \dots, F - 1)$ , généralisant le concept de boson ou de fermion. Ensuite, on observe que le formalisme du superespace développé dans le cadre de la supersymétrie trouve une extension naturelle en termes de  $\mathcal{H}_{q,F}$ , l'algèbre de Heisenberg  $q$ -déformée. Notons enfin qu'une classification de cette famille de théories apparaît. Ainsi, si  $F = F_1 F_2$ , une théorie FSUSY d'ordre  $F$  sera automatiquement FSUSY d'ordre  $F_1$  ou  $F_2$ .

Bien que le point de départ des algèbres FSUSY et celui considéré dans [94] soit différent, on peut relever un certain nombre de points communs. En effet, dans ces références, une algèbre admettant une structure ternaire a été construite (qui correspond à  $F = 3$ ). Les structures fondamentales qui transparaissent lors de la construction de cette algèbre sont une représentation non-fidèle de l'algèbre 3-extérieure et de l'algèbre de Clifford du polynôme  $x_1^3 + \dots$ , représentation différente des algèbres de Grassmann et de Clifford généralisées apparaissant dans les théories FSUSY. Cette approche débouche également sur une extension de la supersymétrie pour laquelle les générateurs des translations sont obtenus à partir de relations d'ordre 3.

Récemment, il a été montré que la supersymétrie fractionnaire en dimension 1, tout comme la supersymétrie, pouvait être obtenue comme une certaine limite de la ligne "tressée" (braided line) [98]. Cette interprétation géométrique de la FSUSY permet également de montrer que l'approche des groupes quantiques et les extensions supersymétriques ou supersymétriques fractionnaires sont corrélées, du moins en dimension 1. Evidemment, en utilisant un tel formalisme, on peut se poser la question de la pertinence de l'extension de ces résultats en dimension 2 et 3, et se demander si, quand la dimension de l'espace-temps est supérieure ou égale à 4, on peut montrer que la supersymétrie est la symétrie la plus générale que l'on puisse considérer.

## 3.1 Supersymétrie fractionnaire en dimension 1

Comme nous l'avons mentionné ci-avant, la FSUSY avait été introduite pour la description de systèmes quantiques présentant une symétrie cachée. Cependant, on peut en donner une autre interprétation. Parallèlement aux théories de cordes s'est développé le formalisme de la ligne d'univers. En théorie des (super-)cordes, les propriétés d'espace-temps sont induites par celles de la surface d'univers de la corde. Les représentations du groupe de jauge sont contrôlées par l'algèbre de Kac-Moody [102] et celles du groupe de Poincaré par l'invariance super-conforme [38]. Un tel formalisme a en fait été inspiré par les résultats obtenus à une dimension. En effet, par une description des symétries sur la ligne d'univers, on peut obtenir une formulation des champs relativistes et même une théorie quantique des champs [103, 104, 105, 106, 107, 108]. L'essence d'une telle approche réside dans l'introduction de variables de Grassmann pour la prise en compte des degrés de liberté de spin [103, 104, 105] ou de jauge [106].

Etant données les propriétés de la ligne d'univers, les variables de Grassmann, associées aux particules de spin 1/2, ne sont pas les plus générales que l'on puisse définir.

### 3.1.1 Groupe d'invariance de la ligne d'univers

On considère une variété Riemannienne  $\mathcal{R}_1$  de dimension 1 décrite par une seule coordonnée  $\tau$  et représentant la trajectoire d'une particule ponctuelle. On note  $g_{--}$  sa métrique, les symboles  $(--)$  permettent de garder la trace du caractère tensoriel du tenseur métrique. En effet, de prime abord, les propriétés géométriques de  $\mathcal{R}_1$  semblent triviales du fait que tous les tenseurs paraissent identiques. La variété  $\mathcal{R}_1$  est invariante sous le groupe des difféomorphismes  $\tau' \rightarrow \tau - f(\tau)$ . Une particularité des difféomorphismes en dimension 1 est que, par définition, ils conservent la métrique à un facteur d'échelle près et donc coïncident avec les transformations conformes. Dans le formalisme des actions effectives ou lors des corrections quantiques à une boucle, la ligne d'univers a la topologie d'un cercle et il devient possible de développer la fonction  $f$  en série de Laurent: le groupe des difféomorphismes du cercle s'identifie alors avec l'algèbre de Virasoro sans charge centrale [109] ( $\ell_n = \frac{iT}{2\pi} e^{\frac{2i\pi n\tau}{T}} \frac{d}{d\tau}$ ),  $T$  représentant la circonférence du cercle. C'est cette propriété remarquable qui permet de considérer un champ "de poids conforme" arbitraire. Un tel champ  $\Phi_h(\tau)$ , de poids conforme  $h$ , admet la loi de transformation

$$\Phi'_h(\tau') = \left( \frac{d\tau}{d\tau'} \right)^h \Phi_h(\tau), \quad (3.1.1)$$

pour un tenseur d'ordre  $(p, q)$ ,  $h = p - q$ . Pour éviter les problèmes de racine carrée de nombres négatifs, on impose la fonction  $f$  croissante.

Lorsque la dimension est 1, le tenseur de courbure est nul et il n'y a pas de connexion de spin au sens usuel du terme. Cependant, il est possible de définir une dérivée covariante. En remarquant que le symbole de Christoffel vaut  $\Gamma = \dot{e}/e$ , on introduit la dérivée covariante

$$\nabla\Phi_h(\tau) = \dot{\Phi}_h(\tau) - h\frac{\dot{e}}{e}\Phi_h(\tau), \quad (3.1.2)$$

et on peut réécrire la loi de transformation (3.1.1) au niveau infinitésimal, en notant que  $f$ , tout comme  $\tau$ , est de poids conforme  $-1$ .

$$\begin{aligned} \delta_f\Phi_h(\tau) &= \Phi'_h(\tau) - \Phi_h(\tau) \\ &= f(\tau)\dot{\Phi}_h(\tau) + hf(\tau)\Phi_h(\tau) \\ &= f(\tau)\nabla\Phi_h(\tau) + h\nabla f(\tau)\Phi_h(\tau). \end{aligned} \quad (3.1.3)$$

Nous avons utilisé cette description pour interpréter les résultats connus sur la supergravité en dimension 1 et leur relation avec la description des champs relativistes de spin  $1/2$  [110]. Nous allons maintenant, à partir de ce formalisme, donner un nouvel éclairage sur ce que nous avons obtenu sur la supersymétrie fractionnaire en dimension 1 [62].

### 3.1.2 De la ligne d'univers à la super-ligne d'univers

La supersymétrie correspond à l'adjonction, au côté de  $H = \partial_t$ , d'un générateur  $Q$  vérifiant la relation fondamentale  $Q^2 = H$ . Une manière rapide de construire une théorie supersymétrique passe par l'introduction de variables de Grassmann  $\theta$ , vues comme les partenaires supersymétriques des composantes d'espace-temps. Le concept de superespace  $(t, \theta)$  ainsi défini peut être introduit plus formellement en utilisant la notion d'espace quotient [48].

La FSUSY à une dimension est donc engendrée par deux générateurs  $Q$  et  $H$  satisfaisant les relations

$$\begin{aligned} [Q, H] &= 0 \\ Q^F &= H. \end{aligned} \quad (3.1.4)$$

Le Hamiltonien engendre les translations dans le temps et  $Q$  les transformations FSUSY. Il est important de noter que (3.1.4) ne définit ni une algèbre de Lie ni une super-algèbre de Lie étant donné que les relations de fermeture ne sont pas quadratiques mais d'ordre  $F$ . Une question qui sera récurrente tout au long de ce chapitre concerne le statut de  $(Q^2, \dots, Q^{F-1})$ . Parmi les puissances de  $Q$ , peut-on exhiber d'autres générateurs associés à une symétrie plus

large? On verra que si  $F$  n'est pas un nombre premier, et si  $p$  divise  $F$ , alors  $Q^p$  sera un tel générateur. Cette propriété, indépendante de la dimension de l'espace temps, a été démontrée en dimension 2 [64] et 3 [68].

Avec comme algèbre de base (3.1.4), en utilisant un formalisme inspiré des superspaces, nous allons construire une théorie invariante par transformation FSUSY [62]. On considère  $\theta$ , une variable de Grassmann généralisée d'ordre  $F$ , réelle, et  $\partial_\theta, \delta_\theta$  ses dérivées associées. En reprenant la terminologie du chapitre précédent, les variables  $t, \theta$  seront de graduation 0, 1 dans  $\mathbb{Z}_F$ .

Comme en SUSY, on introduit alors la notion de superspace fractionnaire  $(t, \theta)$ , avec  $\theta$  une variable de Grassmann généralisée réelle, par sa paramétrisation

$$\exp_{gr}(tH + \theta Q) \equiv \exp(tH) \exp_q(\theta Q). \quad (3.1.5)$$

L'exponentielle  $q$ -déformée considérée dans ce chapitre est  $\exp_q(x) = \sum_{n=0}^{F-1} \frac{x^n}{\{n\}_1!}$  avec  $\{n\}_1 \equiv \{n\}$  défini dans le chapitre 2. On remarque alors que lorsque  $F = 2$  on a  $\exp_{q=-1}(x) = \exp(x)$  si  $x^2 = 0$ , c'est la raison pour laquelle en supersymétrie, point n'est besoin de définir des exponentielles  $-1$  déformées.

On considère alors les deux symétries globales engendrées respectivement par  $H$  et  $Q$ . On note  $f$  le paramètre de la transformation associé à  $H$  et  $\epsilon$  celui associé à  $Q$ . On obtient alors, en utilisant les relations de  $q$ -mutation

$$Q\theta = q^{-1}\theta Q, \quad Q\epsilon = q^{-1}\epsilon Q, \quad \theta\epsilon = q\epsilon\theta, \quad (3.1.6)$$

ainsi que le fait que la somme  $\exp_q$  est finie (elle s'arrête à l'ordre  $F$ )

$$\begin{aligned} \exp_{gr}(t'H + \theta'Q) &= \exp_{gr}(-fH + \epsilon Q) \exp_{gr}(tH + \theta Q) \\ &= \exp\left(\{t - f + q^{-F(F-1)/2} \sum_{a=0}^{F-1} \left[ \frac{\epsilon^a \theta^{F-a}}{\{a\}_1! \{F-a\}_1!} \right] \} H\right) \exp_q([\theta + \epsilon]Q). \end{aligned} \quad (3.1.7)$$

En fait, nous avons explicitement démontré une telle loi de transformation pour  $F = 3$  [62] et nous avons utilisé les résultats établis dans [61, 98] pour  $F$  quelconque. Dans [61], il est montré qu'une telle transformation admet une structure de groupe. Les relations de  $q$ -mutation sont en fait imposées, leurs justifications sont données dans l'appendice de [62]. On peut montrer, du fait des relations de  $q$ -mutation (3.1.6), que  $t'$  est réel (lorsque  $F$  pair on doit alors effectuer un changement de normalisation, par exemple en SUSY  $t' = i\epsilon\theta$ ). En anticipant sur la suite, on peut trouver trois autres justifications des relations de  $q$ -mutation proposées. Elle permettent d'assurer que  $\epsilon^F = \theta^F = 0$  conduisent bien à  $(\epsilon + \theta)^F = 0$  (voir chap.1 sur les algèbres de Grassmann généralisées). On peut également déduire de (3.1.6) que  $\epsilon Q$  commute avec la dérivée covariante et vérifie la règle de Leibniz [65] (voir ci-après).

### 3.1.3 Action invariante par transformations FSUSY

#### 3.1.3.1. $F$ est un nombre premier

On considère un champ scalaire réel défini sur la superligne fractionnaire et on se restreint au cas où  $F$  est un nombre premier

$$\phi(t, \theta) = x(t) + \sum_{n=1}^{F-1} q^{n^2/2} \theta^n \psi_n(t). \quad (3.1.8)$$

Les composantes de  $\phi$  généralisent le concept de fermion et de boson. Elles satisfont  $\psi_n^F = 0, n \neq 0$  et sont de graduation  $(-n)$  ( $x = \psi_0$  est de graduation 0) dans  $\mathbb{Z}_F$  et de ce fait  $\psi_{F-n}$  a les mêmes propriétés que  $\theta^n$ . Dans le formalisme développé dans la section (3.1.1), en notant que  $\theta$  est de poids conforme  $-1/F$ , on voit que les champs  $\psi_n$  sont de poids conforme  $n/F$ . On postule alors les relations de  $q$ -mutation

$$\begin{aligned} \theta x(t) &= x(t)\theta \\ \theta \psi_n(t) &= q^{-n} \psi_n(t)\theta \\ \psi_n(t)\psi_{F-n}(t) &= q^n \psi_{F-n}(t)\psi_n(t) \\ \psi_n(t)\psi_p(t) &= \psi_p(t)\psi_n(t), \quad p \neq F - n. \end{aligned} \quad (3.1.9)$$

Les deux premières traduisent que  $\theta$  est un compteur de graduation et la troisième prendra tout son sens lorsque l'on montrera que la quantification du système  $(\psi_n, \psi_{F-n})$  conduit à une algèbre de Heisenberg  $q^n$ -déformée. Si on choisit les composantes  $\psi_n$  réelles, les relations de  $q$ -mutation (3.1.9) et la normalisation (3.1.8) nous indiquent que le superchamp  $\phi$  est réel. On indique également que les champs  $\psi_n$  et  $\psi_p$  ont les mêmes relations de  $q$ -mutation que  $\psi_n$  et  $\psi_p$  [65, 62].

Si dans la loi de transformation (3.1.7), on ne tient pas compte du facteur  $q^{-F(F-1)/2}$ , de façon à avoir des notations cohérentes avec celles de la littérature (en remplaçant  $\epsilon \rightarrow q^{-F(F-1)/2}\epsilon$ ), et que l'on considère  $t'$  et  $\theta'$  au niveau infinitésimal, on obtient

$$\begin{aligned} \delta_\epsilon x(t) &= q^{1/2} \epsilon \psi_1(t) \\ \delta_\epsilon \psi_n(t) &= q^{1/2} \{n+1\}_1 \epsilon \psi_{n+1}(t), \quad a = 1, \dots, F-2 \\ \delta_\epsilon \psi_{F-1}(t) &= (-1)^F q^{1/2} \frac{(1-q)^F}{F} \partial_t x(t). \end{aligned} \quad (3.1.10)$$

On constate que les deux membres des équations ont, comme il se doit, la même graduation. Tout comme en supersymétrie, le paramètre de la transformation  $\epsilon$  n'est pas de type

bosonique. En notant que  $\epsilon$  satisfait les mêmes relations de  $q$ -mutation avec les champs que  $\theta$ , on observe que  $\psi'_n(t) = \psi_n(t) + \delta_\epsilon \psi_n(t)$  ( $\psi_0 \equiv x$ ) ne satisfont pas les relations de  $q$ -mutation (3.1.9). Pour remédier à ce problème, Matheus Valle *et al* ont introduit des cocycles pour corriger la statistique. Nonobstant, il n'est pas nécessaire d'introduire de tels cocycles. En effet, ce n'est pas  $\psi'_n(t)$  qui doit se comporter vis-à-vis de  $\theta$  comme  $\psi_n(t)$ , mais  $\psi_n(t')$ . On peut vérifier que ces derniers ont le bon comportement. Le fait que  $\psi'_n(t)$  ne vérifie pas (3.1.9) n'est pas étonnant car on est passé de  $\psi_n(t')$  à  $\psi'_n(t)$  en effectuant un développement de Taylor, brisant explicitement la symétrie dans le superspace.

Les relations (3.1.10) nous indiquent que l'on peut définir l'opérateur  $Q = \partial_\theta + \frac{(1-q)^{F-1}}{F} \theta^{F-1} \partial_t$ . En utilisant les résultats établis dans le chapitre 2, on sait que  $(\theta, \partial_\theta)$  engendre l'algèbre de Clifford du polynôme  $x^{F-1}y$  (2.1.5), ce qui revient à dire que  $Q^F = \partial_t$ . Ce résultat n'est pas surprenant car  $Q$  n'est rien d'autre que l'opérateur agissant sur  $\phi$  et engendrant la transformation FSUSY

$$\delta_\epsilon \phi(t, \theta) = \phi(t', \theta') - \phi(t, \theta) = \epsilon Q \phi(t, \theta). \quad (3.1.11)$$

Pour construire une action invariante sous de telles transformations (3.1.10), il est nécessaire de construire une dérivée covariante commutant avec  $\epsilon Q$ . C'est à ce stade que la seconde dérivée  $\delta_\theta$  devient importante. En remarquant que  $\partial_\theta \delta_\theta = q \delta_\theta \partial_\theta$ , on montre que

$$D = \delta_\theta + \frac{(1-q^{-1})^{F-1}}{F} \theta^{F-1} \partial_t, \quad (3.1.12)$$

satisfait les relations

$$\begin{aligned} QD &= qDQ \\ D^F &= \partial_t, \end{aligned} \quad (3.1.13)$$

et donc  $D$  commute avec la transformation FSUSY  $\epsilon Q$ . Si  $F = 2$ , il n'y a qu'une dérivée ( $\partial_\theta = \delta_\theta$ ) et  $D = \delta_\theta - \theta \partial_t$  ( $D^2 = -\partial_t$ ). En outre, en utilisant les relations de  $q$ -mutation (3.1.6), on observe, pour deux superchamps  $A$  et  $B$ , que  $\epsilon Q(AB) = \epsilon Q(A)B + A\epsilon Q(B)$  (le produit de deux superchamps est un superchamp),  $\epsilon Q(DA) = D(\epsilon QA)$  (la dérivée covariante d'un superchamp est un superchamp) [65].

De plus, d'après les lois de transformation (3.1.10), on observe que la composante de  $\phi$  suivant  $\theta^{F-1}$  se transforme comme une dérivée totale. Ce faisant, en utilisant les propriétés d'intégration sur les variables de Grassman généralisées (2.3.7), on construit l'action invariante

$$\begin{aligned}
S &= \frac{1}{2} \left( \frac{1-q}{1-q^{-1}} \right)^{F-1} \int dt d\theta \left\{ D\phi(t, \theta) \dot{\phi}(t, \theta) \right\} \\
&= \int dt \left\{ \frac{1}{2} \dot{x}^2(t) + \frac{1}{2} \frac{F}{(q^{-1}-1)^F} \sum_{n=1}^{F-1} (q^{-n}-1) \psi_{F-n}(t) \dot{\psi}_n(t) \right\}. \quad (3.1.14)
\end{aligned}$$

Un calcul direct nous indique que le lagrangien est réel. Une telle action a été obtenue pour  $F = 3$  par divers d'auteurs [66, 61, 62] et pour  $F$  quelconque, par Durand [59].

On peut alors calculer les charges conservées, associées aux transformations FSUSY et aux translations [65, 64]

$$\begin{aligned}
H(t) &= \frac{1}{2} \dot{x}^2(t) \quad (3.1.15) \\
G(t) &= -\dot{x}(t) \psi_1(t) + \frac{1}{2} \frac{F}{(q-1)^{F-1}} \sum_{n=1}^{F-1} \{n+1\} \{-n\} \psi_{F-n}(t) \psi_n(t).
\end{aligned}$$

Le fait que  $H$ , l'hamiltonien du système, ne s'exprime qu'en fonction de  $x$  est symptomatique d'un système contraint, comme nous allons le voir. Les lois de transformation (3.1.10) et (3.1.11) nous montrent explicitement que la FSUSY est une généralisation directe de la SUSY et transforme des champs de différentes graduations ou poids conformes.

### 3.1.3.2. FSUSY d'ordre $F$ non-premier

Il est possible, à partir d'une action invariante par transformation FSUSY d'ordre  $F$  ( $F$  étant un nombre premier), de construire une action invariante par transformation FSUSY d'ordre  $fF$ . Nous avons établi un tel résultat en dimension 2 [64], mais il reste vrai en dimension 1. Nous allons reproduire les étapes de la démonstration, sans toutefois nous préoccuper des normalisations précises. On peut d'abord noter que les résultats établis ci-avant restent vrais pour tout  $F$  [65]. On va donc reproduire l'action (3.1.14) en décomposant l'ordre de la supersymétrie fractionnaire en ses produits de facteurs premiers.

Le point de départ consiste à introduire un supermultiplet scalaire d'ordre  $fF$  et de le décomposer en supermultiplets d'ordre  $F$

$$\Phi_0^{(fF)} = \bigoplus_{a=0}^{f-1} \Phi_{\frac{a}{fF}}^{(F)}, \quad (3.1.16)$$

où  $\Phi_{\frac{a}{fF}}^{(F)} \sim \sum_{n=0}^{F-1} \theta_F^a \psi_{nf+a}$  est un supermultiplet d'ordre  $F$  de poids conforme  $\frac{a}{fF}$  ( $\psi_{nf+a}$  est de poids conforme  $\frac{nf+a}{fF}$ ). Les règles de  $q$ -mutation des différentes composantes avec  $\theta$  sont

$$\theta\psi_{nf+a} = q^{-(nf+a)}\psi_{nf+a}\theta, \quad \psi_{nf+a}^{fF} = 0, \quad \text{quand } a \neq 0, \psi_{nf}^F = 0, q = \exp\left(\frac{2i\pi}{fF}\right), \quad (3.1.17)$$

montrant explicitement que  $\psi_{nf}$  est une variable de Grassmann généralisée d'ordre  $F$  et non d'ordre  $fF$ . En utilisant l'isomorphisme (2.1.8) démontré lors du chapitre précédent, on construit

$$\begin{aligned} Q_F &= (Q_{fF})^f = \partial_{\theta_{fF}}^f + \frac{(1-q)^{fF-1}}{fF} \left[ \theta_{fF}^{fF-1} \partial_{\theta_{fF}} + \cdots \partial_{\theta_{fF}} \theta_{fF}^{fF-1} \right] \partial_t \\ &\equiv \partial_{\theta_F} + \frac{(1-q^f)^{F-1}}{F} \theta_F^{F-1} \partial_t, \end{aligned} \quad (3.1.18)$$

avec  $\theta_{fF}, \theta_F$  deux variables de Grassmann d'ordre  $fF$  et  $F$ . En utilisant les multiplets (3.1.16), on peut reproduire l'action (3.1.14).

$$S \sim \int dt d\theta_F \left\{ D_F \Phi_0^{(F)}(t, \theta_F) \dot{\Phi}_0^{(F)}(t, \theta_F) + \sum_{n=1}^{f-1} \Phi_{\frac{f-a}{fF}}^{(F)}(t, \theta_F) \dot{\Phi}_{\frac{a}{fF}}^{(F)}(t, \theta_F) \right\}. \quad (3.1.19)$$

On peut montrer que l'action (3.1.19) coïncide avec (3.1.14) [64]. Ceci nous permet de conclure que si nous avons un système FSUSY d'ordre  $fF$  ( $fF$ -SUSY), il sera automatiquement FSUSY d'ordre  $F$  ( $F$ -SUSY (ou  $f, f$ -SUSY)). Le passage d'une action invariante par  $fF$ -SUSY à un système présentant la symétrie  $F$ -SUSY se fait en décomposant le supermultiplet scalaire d'ordre  $fF$  en supermultiplets d'ordre  $F$ . Réciproquement, si on a un supermultiplet scalaire d'ordre  $F$ , la considération de supermultiplets de poids conformes  $a/fF, a = 1, \dots, f-1$  permet de construire une action invariante d'ordre  $fF$ .

En conclusion, on peut énoncer que si on a une théorie invariante par  $F$ -SUSY, elle sera  $f$ -SUSY invariante si  $f$  divise  $F$ . Le résultat est que l'on peut mettre en évidence des sous-systèmes présentant des sous-symétries.

### 3.1.3.3. Structure de l'algèbre FSUSY

L'existence de sous-symétries, obtenues par décomposition de l'ordre de la FSUSY en ses produits de facteurs premiers, peut être interprétée par l'isomorphisme (2.1.8). Par ailleurs, celui-ci nous indique que, outre  $H$  et  $Q$ , si  $f$  divise  $F$ , l'ordre de la supersymétrie, alors  $Q^f$  est le générateur d'une symétrie. Qu'en est-il de  $Q^a$  lorsque  $a$  ne divise pas  $F$ ? En fait, dans cette approche, on peut montrer que  $Q^a$  n'est pas le générateur d'une symétrie. Rappelons-en brièvement les raisons [63].



Tout superchamp fractionnaire  $\phi$  est dans une représentation appropriée de  $(t, \theta)$ , la superligne fractionnaire. De ce fait, l'action des symétries de  $(t, \theta)$  sera induite par les opérateurs  $\partial_t, \partial_\theta, \delta_\theta$ . A priori, on peut donc construire des générateurs de graduation  $(0, 1, \dots, F-1)$ . Etant donné l'action (3.1.14),  $\phi$  et  $D\phi$  admettent les mêmes lois de transformation et donc les divers générateurs doivent commuter avec  $D$ . Les seules solutions envisageables sont  $Q, Q^2, \dots, Q^{F-1}, H$ . Enfin, comme le produit de deux superchamps doit se transformer suivant la règle de Leibniz, les opérateurs différentiels apparaissant sont impérativement du premier ordre. Comme  $Q^a$  s'exprime en fonction de  $\partial_\theta^a$ , utilisant l'isomorphisme (2.1.8) uniquement quand  $a$  divise  $F$ , on peut réinterpréter  $\partial_\theta^a$  comme une dérivée du premier ordre. Ainsi et ce, seulement si  $a$  divise  $F$ ,  $Q^a$  engendre une symétrie. Une analyse basée sur la règle de Leibniz a conduit à des résultats similaires, mis à part le cas de  $Q^a$  quand  $a$  divise  $F$  [65]. Il a également été montré explicitement (pour  $F=3$ ) que les transformations associées à  $Q^2$  n'engendraient pas de symétrie [60]. Enfin, notons qu'un problème analogue apparaît dans le troisième article de [94].

On voit donc que la raison profonde pour laquelle on ne peut pas considérer les autres puissances de  $Q$  comme des générateurs réside dans la structure non-linéaire de l'algèbre sous-jacente: nous n'obtenons pas une algèbre de Lie. Pour remédier à cette dissymétrie, une solution envisageable consisterait à linéariser l'algèbre et à enrichir la structure par des variables intermédiaires  $\theta \equiv \theta_1, \theta^2 \equiv \theta_2, \dots, \theta^{F-1} \equiv \theta_{F-1}$  comme cela a été proposé par Saidi *et al* dans [67]. La structure ainsi considérée "ressemblerait" à une supersymétrie étendue. Il est bien connu que pour les théories supersymétriques étendues, la notion de superespace naïf n'est pas adaptée, avec comme incidence le fait que les champs auxiliaires ne sont pas connus. Dans le contexte des théories FSUSY, il ne paraît pas trivial que l'on puisse définir une action présentant de telles invariances. Cette voie demande donc une analyse plus précise et, soit la recherche d'un superespace adapté, soit la construction d'une action invariante sans la notion de superespace. A cet égard, on peut noter que, historiquement, le concept de superespace, en supersymétrie, a été introduit après la construction d'actions invariantes.

### 3.1.4 Invariance locale

Lorsque  $F=2$ , c'est-à-dire pour une théorie supersymétrique, la considération d'une invariance locale conduit à une description relativiste d'une particule de spin 1/2 [103, 104, 105]. Nous avons étendu ces résultats pour  $F=3$  [62]. Suivant la procédure de Noether, nous voulons jauger la symétrie. Pour ce faire, au moins deux champs doivent être introduits: l'un couplé au courant conservé  $H$  contrôlerait ainsi les difféomorphismes, et l'autre au supercourant  $G$ , serait associé aux transformations de supersymétrie fractionnaire locale (supergravité fractionnaire FSUGRA). Le premier champ de jauge  $e$  est appelé einbein et le second  $\chi$  fractino, par analogie au gravitino.

En introduisant les moments conjugués

$$\begin{aligned}
 \pi_x(t) &= \frac{\delta S}{\delta \dot{x}(t)} = \dot{x}(t) \\
 \pi_2(x) &= \frac{\delta S}{\delta \dot{\psi}_2(t)} = \frac{q^2}{2} \psi_1(t) \\
 \pi_1(x) &= \frac{\delta S}{\delta \dot{\psi}_1(t)} = -\frac{q}{2} \psi_2(t),
 \end{aligned} \tag{3.1.20}$$

l'action devient

$$\begin{aligned}
 L &= \pi_x(t) \dot{x}(t) + \dot{\psi}_2(t) \pi_1(t) + \dot{\psi}_1(t) \pi_2(t) \\
 &\quad - \frac{1}{2} e \pi_x(t)^2 + \frac{q^2}{4} \chi \left( \pi_x(t) \psi_1(t) + \frac{1}{2} \psi_2^2(t) \right) + \frac{q}{4} \left( \psi_1(t) \pi_x(t) + \frac{1}{2} \psi_2^2(t) \right) \chi,
 \end{aligned} \tag{3.1.21}$$

avec  $H = \pi_x^2(t)$  et  $G = -\pi_x(t) \psi_1(t) - \frac{1}{2} \psi_2^2(t)$ . Comme le fractino  $\chi$  vérifie les mêmes relations de commutation que  $\theta$  avec les champs, il est nécessaire d'introduire le couplage au fractino, supposé réel, sous la forme  $q^2 \chi G + q G^\dagger \chi$  pour que l'action soit réelle. Ensuite, si l'on fait varier  $L$  par rapport à  $\pi_x$ , on obtient

$$\pi_x(t) = \frac{\dot{x}(t)}{e} + \frac{q^2}{2} \frac{\chi}{e} \psi_1(t), \tag{3.1.22}$$

et le lagrangien devient

$$L = \frac{1}{2e} \dot{x}^2(t) + \frac{q^2}{2} \dot{\psi}_2(t) \psi_1(t) - \frac{q}{2} \dot{\psi}_1(t) \psi_2(t) + \frac{q^2}{2} \chi \left( \frac{\dot{x}(t)}{e} \psi_1(t) + \frac{1}{2} \psi_2^2(t) \right) - \frac{q^2}{4} \frac{\chi^2}{e} \psi_1^2(t). \tag{3.1.23}$$

Une fois l'action (3.1.23) obtenue, nous n'avons pas pu dériver les transformations de supergravité fractionnaire la laissant invariante. Ceci est peut-être la conséquence de la structure non-linéaire, qui met en défaut la procédure de Noether. On doit très probablement introduire un autre champ de jauge, un second fractino en quelque sorte, couplant à  $G_2(t)$  défini par  $\delta G(t) \equiv \epsilon G_2(t)$ .  $G_2$  serait un courant conservé si  $Q^2$  était un générateur associé à une symétrie. De ce fait, nous pouvons appeler  $G_2$  un pseudo-générateur. Deux arguments vont dans le sens de la prise en compte de deux fractini: un supermultiplet de la FSUGRA d'ordre 3 doit contenir trois champs, or dans l'action (3.1.23), on n'a considéré que deux champs de graduation 0 et 1. Une autre argumentation passe par le concept de superspace fractionnaire et courbé.

Le passage d'une action invariante par transformation locale se fait par l'introduction de dérivées covariantes adaptées. Il faut donc considérer des dérivées analogues à  $\partial_t$ ,  $D \equiv D_\theta$ .

Cette substitution, tout comme en supergravité, se fait par l'introduction d'un superinbein fractionnaire. On définit  $X^M = (X^\mu \equiv \tau, X^m \equiv \Theta)$  les composantes de la superligne courbée et  $X^A = (X^\alpha \equiv t, X^a \equiv \theta)$  celles de la superligne plate tangente. On introduit le superinbein fractionnaire  $E_M^A$  et son inverse  $E_A^M$  ( $E_A^M E_M^B = \delta_A^B$ ,  $E_N^A E_A^M = \delta_N^M$ ) et on considère la loi de transformation  $X^M \rightarrow X^M - \xi^M(X)$  linéaire en  $X^m$ , donc équivalente à (2.3.13). On obtient ainsi les lois de transformation, analogues à celles établies en supergravité,

$$\begin{aligned}\phi'(X') &= \phi(X) \\ E_A'^M(X') &= E_A^N(X) \frac{\partial X'^M}{\partial X^N} \\ E_M'^A(X') &= \frac{\partial X^N}{\partial X'^M} E_N^A(X).\end{aligned}\tag{3.1.24}$$

Tout comme en supergravité, lors du processus de contraction, il faut faire attention à la position des indices: l'indice supérieur est toujours à gauche de l'indice inférieur.

On considère les dérivées covariantes  $D_A = E_A^M \partial_M$  (à une dimension, étant donné l'absence de connexion affine, ce sont les dérivées partielles qui interviennent dans la définition de  $D_A$ ).  $D_\alpha$  remplace  $\partial_t$  et  $D_a, D_\theta$  (les notations suivent de très près celles de Brink *et al*, lors de l'étude de la supergravité sur la ligne d'univers [103]). D'après (2.3.14), on introduit le "volume" invariant  $V_3 = [E_\mu^\alpha - E_m^\alpha (E_m^a)^{-1} E_\mu^a] (E_m^a)^{-2}$  et on obtient une action invariante sous les transformations (3.1.24)

$$S \sim \int V_3 d^2 X \{D_\alpha \phi(X) D_a \phi(X)\}.\tag{3.1.25}$$

La construction est entièrement analogue à celle suivie sur la superligne, dans le cas supersymétrique [103] ou dans dans la Ref.[104] (Henty, Howe et Townsend). L'action (3.1.25) présente trop de symétries par rapport aux transformations de FSUGRA et aux difféomorphismes, tout comme pour  $F = 2$ . Ainsi, un certain nombre de contraintes doivent être imposées. Par exemple, on a dans l'espace plat  $D_\theta^3 = \partial_t$ , mais on n'a aucune raison pour avoir  $D_a^3 = D_\alpha$  dans l'espace courbé. En supersymétrie usuelle, cela revient à dire que le tenseur de torsion de l'espace plat ne correspond pas à celui de l'espace courbé et donc si on construit l'action avec  $D_a^2 = E_a^M \partial_M \{E_a^N \partial_N\}$  au lieu de  $D_\alpha$ , il n'y a aucune raison pour que l'on obtienne le même résultat. Pour résoudre cette ambiguïté, il faut imposer des contraintes dans le superespace courbé [103], [104] (Henty *et al*) et [110] (comme par exemple  $D_a^2 = D_\alpha$ ), celles-ci conduisent à une action invariante par SUGRA. En dimension  $D \geq 4$ , de telles contraintes, outre l'avantage de résoudre les d'ambiguïtés énoncées précédemment, permettent d'éliminer les champs de spin plus grands que deux [48].

Une procédure analogue doit pouvoir être établie quand  $F = 3$ . On doit très probablement imposer  $D_a^3 = D_\alpha$  et rechercher un sous-groupe des transformations (3.1.24) préservant les

contraintes. Quoi qu'il en soit, on voit que si l'on développe le supereinbein  $E_M^A$ , on obtient 3 champs qui vont conduire au einbein et aux deux fractini.

Comme l'action (3.1.25) est indépendante de  $F$ , cette méthode est transposable lorsque  $F$  est quelconque. Parmi la famille  $G(t) = G_1(t), \dots, G_{F-1}(t)$ , où  $G_{i+1}$  est défini à partir de  $G_i(\delta_\epsilon G_i = \epsilon G_{i+1})$ , quand  $i$  divise  $F$ ,  $G_i$  sera un courant conservé et quand  $i$  ne divise pas  $F$ ,  $G_i$  sera un pseudo-générateur. Corrélativement, il faudra considérer  $F - 1$  fractini.

### 3.1.5 Quantification de Dirac

Bien que nous n'ayons pas pu mettre la main sur une action locale complète, (3.1.23) va nous permettre, dans une certaine limite, d'obtenir une équation relativiste, tout comme la supergravité sur la ligne d'univers conduit à l'équation de Dirac [103, 104, 105]. Le fait que certains termes soient omis dans l'action nous donne les indications suivantes: une démarche analogue à celle suivie pour la particule de spin 1/2, conduira à une équation relativiste associée au système considéré, pour laquelle les contraintes induites par le second fractino vont certainement manquer.

Le système décrit par l'action (3.1.23) présente des contraintes de seconde et de première classe. Les premières contraintes sont liées au fait que  $\psi_1$  est le moment conjugué de  $\psi_2$

$$\begin{aligned}\Xi_1 &\equiv \pi_1 - \frac{q^2}{2}\psi_2 = 0 \\ \Xi_2 &\equiv \pi_2 + \frac{q}{2}\psi_1 = 0,\end{aligned}\tag{3.1.26}$$

alors que les secondes résultent de l'invariance de jauge

$$\frac{\delta S}{\delta e} = H = \frac{1}{2}\pi_x^2 = 0\tag{3.1.27}$$

$$\frac{\delta S}{\delta \chi} = -G = \frac{q^2}{2}\left(\pi_x\psi_1 + \frac{1}{2}\psi_2^2\right) = 0.\tag{3.1.28}$$

On voit que le einbein et le fractino apparaissent comme des multiplicateurs de Lagrange. La quantification des systèmes contraints a été construite par Dirac [111]. Pour les contraintes de seconde classe, on doit remplacer le crochet de Poisson par un crochet de Dirac. La première étape consiste à introduire un crochet de Poisson pour des variables qui  $q$ -mutent. On peut introduire un tel crochet de deux manières différentes, soit à partir de la métrique  $q$ -symplectique associée à  $\psi_1, \psi_2$  [112], soit grâce à la  $R$ -matrice (2.3.3). On montre alors [62] que

$$\{A, B\}_{PB} = \frac{\partial A}{\partial x} \frac{\partial B}{\partial \pi_x} - \frac{\partial A}{\partial \pi_x} \frac{\partial B}{\partial x} + \frac{\partial A}{\partial \psi_1} \frac{\partial B}{\partial \pi_1} - q^2 \frac{\partial A}{\partial \pi_1} \frac{\partial B}{\partial \psi_1} + \frac{\partial A}{\partial \psi_2} \frac{\partial B}{\partial \pi_2} - q \frac{\partial A}{\partial \pi_2} \frac{\partial B}{\partial \psi_2}.\tag{3.1.29}$$

On obtient alors l'algèbre des contraintes

$$\{\Xi_i, \Xi_j\} = C_{ij} = \begin{pmatrix} 0 & q \\ -q^2 & 0 \end{pmatrix}_{ij}, \quad (3.1.30)$$

qui permet de définir le crochet de Dirac

$$\{A, B\}_{DB} = \{A, B\}_{PB} - \{A, \Xi_i\}_{PB} C_{ij}^{-1} \{\Xi_j, B\}_{PB}. \quad (3.1.31)$$

Si on applique (3.1.31) pour les variables  $(\psi_1, \psi_2)$ , on obtient  $\{\psi_1, \psi_2\}_{DB} = -q^2$  et donc

$$\psi_1\psi_2 - q\psi_2\psi_1 = -q^2. \quad (3.1.32)$$

Une telle équation nous indique que la quantification d'une algèbre de Grassmann généralisée est une algèbre de Heisenberg  $q$ -déformée. Ceci constitue une version adaptée des résultats connus pour les variables de Grassmann. L'équation (3.1.32) n'est pas surprenante étant donné que  $\psi_1$  et  $\psi_2$  sont deux variables conjuguées ( $\psi_1 \sim \frac{\partial}{\partial \psi_2}$ ). On montre ensuite que l'on a bien  $G^3 = H$  [62].

Les contraintes de première classe sont, elles, imposées sur les états physiques. La première étape consiste à supposer que les variables  $x, \psi_1, \psi_2$  sont dans la représentation vectorielle du groupe de Poincaré. L'espace-temps n'est rien d'autre qu'un espace cible dans lequel est plongée la ligne d'univers [62]. On note  $\eta_{\mu\nu} = \text{diag}(-1, 1, \dots, 1)$ , la métrique de Minkowski. Tous les résultats précédents sont alors transposables et l'algèbre impose que

$$G^3 = \left( \pi_x^\mu \psi_1^\nu \eta_{\mu\nu} + \frac{1}{2} \psi_2^\mu \psi_2^\nu \eta_{\mu\nu} \right)^3 = \frac{1}{2} \pi_x^\mu \pi_x^\nu \eta_{\mu\nu}.$$

On voit donc que les variables  $(\psi_1^\mu, \psi_2^\mu)$  engendrent l'algèbre de Clifford du polynôme  $x_0^2 y_0 - x_1^2 y_1 - \dots - x_{D-1}^2 y_{D-1}$  (car  $\sum_\mu (x^\mu \psi_1^\mu + y^\mu \psi_2^\mu \psi_2^\mu)^3 = x_0^2 y_0 - \dots - x_{D-1}^2 y_{D-1}$ ). En choisissant une représentation de cette algèbre, on peut construire l'espace de Fock  $|\lambda_{\text{phys}}\rangle$  et introduire la fonction d'onde  $\langle x | \lambda_{\text{phys}} \rangle = \lambda(x)$ . Les contraintes des première classe se résument à

$$\begin{aligned} \partial_\mu \partial^\mu \lambda(x) &= 0 \\ \left( i\psi_1^\mu \partial_\mu + \frac{1}{2} \psi_2^\mu \psi_{2\mu} \right) \lambda(x) &= 0. \end{aligned} \quad (3.1.33)$$

De part la structure de l'algèbre, on obtient  $\left( i\psi_1^\mu \partial_\mu + \frac{1}{2} \psi_2^\mu \psi_{2\mu} \right)^3 = \frac{1}{2} \partial_\mu \partial^\mu$ ; une telle équation constitue donc une généralisation de l'équation de Dirac, et est induite par les symétries sur la ligne d'univers. Les variables  $\psi_1$  et  $\psi_2$  décrivent des degrés de liberté internes, analogues au spin.

Si maintenant, on suit la même procédure pour  $F$  quelconque, il y a des chances pour que l'on obtienne un opérateur dont la puissance  $F$ -ième s'identifie à l'opérateur de Klein-Gordon.

Dans [94], une équation correspondant à la racine cubique de l'équation de Dirac est proposée, mais une telle équation diffère de celles obtenues par la FSUGRA.

### 3.1.6 Perspectives et questions ouvertes

La première équation de (3.1.33) nous indique que nous avons affaire à une particule non massive. Quant à la seconde, son interprétation reste un problème ouvert.

On sait d'après le premier chapitre que l'algèbre engendrée par les  $\psi$  est de dimension infinie. Deux possibilités s'offrent à nous

1. soit construire une représentation de dimension finie, comme nous l'avons proposé dans [62];
2. soit construire un espace de Fock de dimension infinie tout en préservant la relation  $\psi_1^\mu \psi_2^\mu - q \psi_2^\mu \psi_1^\mu = -q^2$ .

Le comportement des variables pour deux indices différents distingue les deux possibilités.

Il est possible que ce soit le second choix qui conduise à des résultats intéressants. En effet, comme on le verra dans la section 3, le groupe de Lorentz en dimension  $1+2$  admet des représentations de dimension infinie. Mais pour pouvoir identifier ces représentations à celles construites précédemment, il faut d'une part étendre le formalisme pour une particule de masse non-nulle (par l'introduction d'un champ auxiliaire par exemple) et d'autre part, calculer les générateurs du groupe de Lorentz pour pouvoir conclure dans quelle représentation de  $SO(1,2)$  se trouve  $\lambda$ . Une direction envisageable consisterait à utiliser les travaux de Strassler [105]. En effet, celui-ci a montré que l'action effective d'un champ de Dirac conduisait à une action présentant l'invariance de la supergravité à une dimension. On pourrait donc refaire la démonstration de Strassler en prenant comme point de départ l'action (3.1.23) et en essayant de construire une action effective en  $3D$ . Enfin, nous ne sommes pas parvenus à contraindre la dimension de l'espace-temps.

## 3.2 Supersymétrie fractionnaire en dimension 2 et invariance conforme

En dimension deux, à la différence des autres dimensions, le groupe des transformations conformes est de dimension infinie [113]. Cette propriété remarquable a été mise à profit lors de l'étude des théories de cordes [38], ou dans la description des systèmes intégrables [37].

La raison essentielle qui conduit à un groupe infini réside dans la structure mathématique des transformations conformes, qui ne mélangent pas les composantes holomorphes et antiholomorphes. Les conséquences d'un tel comportement sont multiples. Ainsi, le groupe de symétrie devient infini (il est engendré par deux copies de l'algèbre de Virasoro) et on peut définir des champs de poids conforme arbitraire. Une théorie conforme est alors spécifiée par deux nombres, la charge centrale  $c$  et le poids conforme  $h$ . Si on impose une représentation unitaire et de plus bas poids (construite à partir d'un vecteur primitif), on contraint la série  $(h, c)$  [114]. D'autres théories sont envisageables si on enrichit les symétries bi-dimensionnelles. A cet égard, la supersymétrie permet, par l'introduction de fermions, de considérer d'autres systèmes [114]. Mais comme nous l'avons dit, les fermions ne sont plus les champs les plus généraux que l'on puisse introduire à deux dimensions; ainsi, les parafermions<sup>1</sup> [115] permettent de définir d'autres séries unitaires [116, 117] pour lesquelles des courants de spin fractionnaire sont présents. Toutes ces extensions ont comme point commun le fait qu'elles peuvent être définies à partir de la construction dite GKO [118]. Nous n'avons pas pu exhiber de construction GKO conduisant à notre système.

En ce qui nous concerne, nous avons suivi une voie différente pour étendre l'algèbre de Virasoro à savoir par la construction d'une théorie FSUSY en dimension 2 [63, 64]. Une telle extension, tout comme celles considérées dans [116], contient, outre le tenseur énergie-impulsion, un courant conservé de poids conforme  $1 + 1/F$  et des champs primaires de poids conformes  $(0, 1/F, \dots, (F - 1)/F)$ .

### 3.2.1 Superespace fractionnaire et extension de l'algèbre de Virasoro

Pour construire une action invariante sous les transformations FSUSY, nous allons procéder de manière différente par rapport au paragraphe précédent. Nous allons directement étendre le plan complexe  $(z, \bar{z})$  et mettre en avant une symétrie plus large que celle engendrée par l'algèbre de Virasoro.

La première étape va donc consister à associer aux variables  $z$  et  $\bar{z}$  leur partenaire FSUSY. A ce stade, il est crucial de noter que l'algèbre de Grassmann généralisée (1.1.10) est in-

---

<sup>1</sup>Ces parafermions n'ont pas de rapport avec les parafermions introduits pour les parastatistiques.

### 3.2 Supersymétrie fractionnaire en dimension 2 et invariance conforme 67

compatible avec l'introduction d'une structure complexe [63]. Cela revient à dire que les partenaires de  $z$  et  $\bar{z}$  *ne pourront pas être complexes conjugués l'un de l'autre*. On va donc étendre  $z, \bar{z}$  de façon hétérotique, c'est-à-dire que nous associons à  $(z, \bar{z})$  deux variables de Grassmann généralisées réelles  $\theta_L, \theta_R$  et ainsi, la construction se fait indépendamment sur les modes  $L$  et  $R$ . En utilisant (2.3.2), on obtient les relations qui mélangent les modes  $L$  et  $R$  (on note  $d = \partial_\theta, \delta_\theta$ )

$$\begin{aligned} \theta_L^F &= \theta_R^F = 0 & d_L^F &= d_R^F = 0 \\ \theta_L \theta_R &= q \theta_R \theta_L & d_L d_R &= q d_R d_L \\ d_L \theta_R &= q^{-1} \theta_R d_L & d_R \theta_L &= q \theta_L d_R. \end{aligned} \quad (3.2.1)$$

Il est important de noter que les relations (3.2.1) ne sont stables ni sous la conjugaison complexe  $\star$  ni sous la permutation  $\sigma$  des deux variables  $L$  et  $R$ . Cependant, elles sont stables sous la composition  $\sigma \circ \star$  des deux. Sous une telle transformation,  $(z, \theta_L, \partial_{\theta_L}, \delta_{\theta_L})$  a pour image  $(\bar{z}, \theta_R, \delta_{\theta_R}, \partial_{\theta_R})$  et il est important de noter que  $\star \circ \sigma$  échange les rôles de  $\partial_{\theta_L}$  et  $\delta_{\theta_R}$ . Un tel automorphisme connecte donc les modes  $L$  et  $R$ . De ce fait, on peut définir la dérivée covariante et le générateur des transformations FSUSY des modes  $R$  à partir de ceux des modes  $L$ ; et on obtient alors [63]

$$\begin{aligned} Q_L &= \partial_L + \frac{(1-q)^{F-1}}{F} \theta_L^{F-1} \partial_z \\ D_L &= \delta_L + \frac{(1-q^{-1})^{F-1}}{F} \theta_L^{F-1} \partial_z \\ Q_R &= (Q_L)^{\star \circ \sigma} = \delta_L + \frac{(1-q^{-1})^{F-1}}{F} \theta_R^{F-1} \partial_{\bar{z}} \\ D_R &= (D_L)^{\star \circ \sigma} = \partial_L + \frac{(1-q)^{F-1}}{F} \theta_R^{F-1} \partial_{\bar{z}}, \end{aligned} \quad (3.2.2)$$

satisfaisant l'algèbre  $(Q = Q, D)$

$$\begin{aligned} Q_L^F &= D_L^F = \partial_z & Q_R^F &= D_R^F = \partial_{\bar{z}} \\ Q_L D_L &= q^{-1} D_L Q_L & Q_R D_R &= q D_R Q_R \\ Q_L Q_R &= q Q_R Q_L. \end{aligned} \quad (3.2.3)$$

On peut remarquer que les générateurs (3.2.2) peuvent être étendus (on ne considère que les modes gauches et on note  $\theta_L, \theta$ )

$$\begin{aligned} L_n &= z^{1-n} \partial_z - \frac{1}{F} (n-1) z^{-n} \mathcal{N}, n \in \mathbb{Z} \\ G_r &= z^{\frac{1}{F}-r} (\partial_\theta + \frac{(1-q)^{F-1}}{F} \theta^{F-1} \partial_z) - \frac{(1-q)^{F-1}}{F} (r - \frac{1}{F}) z^{\frac{1}{F}-r-1} \theta^{F-1} \mathcal{N}, r \in \mathbb{Z} + \frac{1}{F}. \end{aligned} \quad (3.2.4)$$



On peut montrer que de tels générateurs engendrent une extension de l'algèbre de Virasoro sans charge centrale [59]

$$\begin{aligned} [L_n, L_m] &= (n - m)L_{m+n} \\ [L_n, G_r] &= \left(\frac{n}{F} - r\right)G_{n+r} \\ \{G_{r_1}, \dots, G_{r_F}\} &= L_{r_1 + \dots + r_F}, \end{aligned} \quad (3.2.5)$$

avec  $\mathcal{N}$  l'opérateur nombre (2.2.1) introduit au chapitre 2, et  $\{\dots\}$  le produit symétrique (1.1.4) défini au cours du chapitre 1. La seconde équation traduit le fait que les générateurs  $G_i$ , complétant l'algèbre de Virasoro, définissent un champ de poids conforme  $1 + 1/F$ . A la différence de  $F = 2$  où on peut extraire la sous-algèbre  $OSp(1|2)$  engendrée par  $(L_{-1}, L_0, L_1)$  et  $(G_{-1/2}, G_{1/2})$ , dès que  $F > 2$ , en notant que  $[L_1, G_{1/F}] = 0$ , on construit une représentation de  $SL(2, \mathbb{R})$  à partir de  $G_{1/F}$  (cette représentation appartient aux séries infinies de  $SL(2, \mathbb{R})$  voir section suivante):  $[L_{-1}, \dots [L_{-1}, G_{1/F}] \dots] \sim G_{1/F-n}$  ( $L_{-1}$  a été appliqué  $n$  fois). On construit de la sorte l'extension de  $OSp(1|2)$  engendrée par  $(L_{-1}, L_0, L_1)$  et  $(G_{1/F-n}, n = 0, 1, 2, \dots)$ .

### 3.2.2 Action

Forts de cette extension algébrique, nous sommes en mesure de construire une action invariante. Etant donné que le procédé est identique à celui développé sur la ligne d'univers, nous insisterons uniquement sur les spécificités de la dimension 2. Un superchamp fractionnaire admet le développement

$$\phi(z, \theta_L, \bar{z}, \theta_R) \sim \sum_{a,b=0}^{F-1} \theta_L^a \theta_R^b \psi_{a,b}(z, \bar{z}). \quad (3.2.6)$$

En anticipant sur les résultats, on peut décomposer  $\phi$  de la façon suivante

champs	poids conforme	sur couche de masse	hors couche de masse
$X(z, \bar{z})$	$(0, 0)$	$1 + 1$	$1 + 1$
$\psi_{a,0}(z, \bar{z})$	$(a/F, 0)$	$1 + 0$	$1 + 1$
$\psi_{0,b}(z, \bar{z})$	$(0, b/F)$	$0 + 1$	$1 + 1$
$\psi_{a,b}(z, \bar{z})$	$(a/F, b/F)$	$0 + 0$	$1 + 1$

( $a+b$  indique que le champ contient  $a$  composante(s) holomorphe(s) et  $b$  anti-holomorphe(s)), montrant explicitement, que ce soit sur ou hors couche de masse, que l'on a autant de degrés de liberté de poids conforme  $(0, 1/F, \dots, (F-1)/F)$ . Les champs  $\psi_{a,0}$  sont holomorphes alors

que  $\psi_{0,b}$  anti-holomorphes. Enfin,  $\psi_{a,b}$  définissent des champs auxiliaires dont l'équation du mouvement est  $\psi_{a,b} = 0$ .

Les relations de  $q$ -mutation des composantes de  $\phi$  sont identiques à (3.1.9)

$$\begin{aligned} \theta_L \psi_{a,b} &= q^{-(a+b)} \psi_{a,b} \theta_L, & \theta_R \psi_{a,b} &= q^{-(a+b)} \psi_{a,b} \theta_R \\ \psi_{a,0} \psi_{F-a,0} &= q^a \psi_{F-a,0} \psi_{a,0}, & (\psi_{a,b})^F &= 0, \end{aligned} \quad (3.2.7)$$

(une équation analogue à la troisième doit être postulée pour les champs anti-holomorphes). Si  $F$  n'est pas un nombre premier, aux relations (3.2.7), il faudra substituer des relations analogues à (3.1.17).

L'action se réduit donc à

$$\begin{aligned} S &\sim \int dz d\bar{z} d\theta_L d\theta_R \left[ \overrightarrow{D}_L \phi \right] \left[ \phi \overleftarrow{D}_R \right] \\ &\sim \int dz d\bar{z} \left\{ \partial_z X(z, \bar{z}) \partial_{\bar{z}} X(z, \bar{z}) + \sum_{a=1}^{F-1} \psi_{a,0}(z, \bar{z}) \partial_{\bar{z}} \psi_{F-a,0}(z, \bar{z}) \right. \\ &\quad \left. + \sum_{b=1}^{F-1} \partial_z \psi_{0,b}(z, \bar{z}) \psi_{0,F-b}(z, \bar{z}) + \sum_{a,b=1}^{F-1} \psi_{a,b}(z, \bar{z}) \psi_{F-a,F-b}(z, \bar{z}) \right\}. \end{aligned} \quad (3.2.8)$$

Dans le calcul de l'action (3.2.8),  $D_L$  agit par la gauche et  $D_R$  par la droite. Ceci est une conséquence de l'invariance  $\star \circ \sigma$  [63]. On observe en outre, en tenant compte des différents champs, que le poids conforme de l'action est bien nul. Dans la référence [63] nous avons, pour  $F = 3$ , calculé précisément tous les termes, alors que pour  $F$  quelconque, nous nous sommes intéressés uniquement à la partie holomorphe [64] (en ne conservant que les termes  $\psi_{a,0} \equiv \psi_a$  du développement de  $\phi = X(z, \bar{z}) + \sum_{a=1}^{F-1} q^{a^2/2} \theta_L^a \psi_a(z)$ )

$$\begin{aligned} S &= \left( \frac{1-q}{1-q^{-1}} \right)^{F-1} \int dz d\bar{z} d\theta_L \partial_{\bar{z}} \phi D_L \phi \\ &= \int dz d\bar{z} \left\{ \partial_z X(z, \bar{z}) \partial_{\bar{z}} X(z, \bar{z}) + \frac{F}{(1-q^{-1})^F} \sum_{a=1}^{F-1} (q^{-a} - 1) \psi_a(z, \bar{z}) \partial_{\bar{z}} \psi_{F-a}(z, \bar{z}) \right\}. \end{aligned} \quad (3.2.9)$$

Cette action correspond à celle proposée par Matheus-Valle et Monteiro [67] (ils ne considéraient que les modes gauches et se limitaient à  $F = 3$ ). Il ressort d'une telle action que les champs  $\psi_{a \neq 0}$  satisfont des équations du mouvement  $\partial_{\bar{z}} \psi_{a \neq 0} = 0$ , identiques à celles d'un fermion, cependant leurs propriétés physiques sont différentes comme nous allons le voir.

On peut noter que (3.2.9) coïncide avec l'action (3.1.14) obtenue en dimension 1 .

### 3.2.3 Invariance

Une fois l'action construite, en procédant tout comme dans la section précédente, il est facile de montrer que celle-ci est invariante sous les transformations conformes et FSUSY. Les lois de transformation des champs holomorphes sont identiques à celles obtenues en dimension 1  $\delta_{\epsilon_L}\phi = \epsilon_L Q_L \phi$  (3.1.10) [64]. Les lois de transformation, incluant les champs anti-holomorphes et auxiliaires, ont été dérivées dans [63]  $\delta_{\epsilon}\phi = \epsilon_L Q_L \phi + \phi Q_R \epsilon_R$  (la structure de l'algèbre ainsi que l'invariance  $\star \circ \sigma$  permettent d'obtenir les relations de  $q$ -mutation entre les paramètres de la transformation et les champs [63]).

Si  $F$  n'est pas un nombre premier, les résultats de la ligne d'univers restent valables [64], et conduisent à des sous-systèmes qui présentent des sous-symétries. Par exemple, une action invariante sous la FSUSY d'ordre pair sera automatiquement invariante sous les transformations supersymétriques [64].

Nous allons interpréter ces résultats dans le langage de l'invariance conforme et, sauf mention contraire, nous nous intéresserons uniquement à la partie holomorphe de l'action.

### 3.2.4 Intégrale de chemin et fonctions de Green

A partir des règles d'intégration (2.3.7), il est possible de définir la fonction de partition

$$Z[0] = \int \mathcal{D}X \left( \prod_{a=1}^{F-1} \mathcal{D}\psi_a \right) e^{-S[X,\psi]}. \quad (3.2.10)$$

Etant donné que la dérivation des résultats ne dépend pas de  $F$ , nous allons nous concentrer sur  $F = 3$ , l'extension à  $F$  arbitraire étant immédiate. En utilisant (2.3.15) et en notant  $\Delta_{1,2}(z-w) = \begin{pmatrix} 0 & -q^2 \partial_{\bar{z}} \\ q \partial_{\bar{z}} & 0 \end{pmatrix}^2 \delta(z-w) \delta(\bar{z}-\bar{w})$  l'opérateur cinétique agissant sur  $\psi_1, \psi_2$  ( $S_{\psi_1, \psi_2} = -\int d^2z d^2w \left\{ (\psi_2(w) \quad \psi_1(w)) \Delta_{1,2}(z-w) \begin{pmatrix} \psi_2(z) \\ \psi_1(z) \end{pmatrix} \right\}$ ,  $F = 3$ ), l'intégration sur les champs  $\psi$  (pour  $F = 3$ ) conduit à [63]

$$Z[0] = \det \begin{pmatrix} 0 & -q^2 \partial_{\bar{z}} \\ q \partial_{\bar{z}} & 0 \end{pmatrix}^2. \quad (3.2.11)$$

Pour  $F$  arbitraire, mais premier, en regroupant deux par deux les champs ( $\psi_a$  et  $\psi_{F-a}$ ), on obtient la puissance  $F$ -ième du produit des opérateurs cinétiques agissant sur les divers couples. Si  $F$  n'est pas premier, le résultat est analogue, mais plus compliqué.

On définit alors le propagateur (en toute rigueur, on arrive à un tel résultat lors du processus de discrétisation, et ensuite par passage à la limite)

$$\begin{aligned} \left\langle \begin{pmatrix} \psi_2(z) \\ \psi_1(z) \end{pmatrix} (\psi_2(w) \quad \psi_1(w)) \right\rangle &= \frac{\delta}{\delta \Delta_{1,2}(z-w)} Z[0] \\ &= \begin{pmatrix} 0 & q^2 \\ -q & 0 \end{pmatrix} \frac{1}{z-w}. \end{aligned} \quad (3.2.12)$$

Lors de la dérivation de (3.2.12), une normalisation appropriée dans la mesure d'intégration permet de s'affranchir des facteurs indésirables. La fonction de Green à deux points peut également être déduite par les méthodes standard, en introduisant des sources (Matheus-Valle *et al* [67]).

Pour  $F$  quelconque, on détermine également les fonctions de Green à deux points. Les seules non-nulles sont [64]

$$\begin{aligned} \langle \psi_{F-a}(z) \psi_a(w) \rangle &= \frac{(q-1)^F}{F} \frac{1}{q^{-a}-1} \frac{1}{z-w} \\ \langle \psi_a(z) \psi_{F-a}(w) \rangle &= \frac{(q-1)^F}{F} \frac{1}{q^a-1} \frac{1}{z-w} \\ \langle X(z) X(w) \rangle &= -\ln(z-w). \end{aligned} \quad (3.2.13)$$

### 3.2.5 Oscillateurs, ordre normal et théorème de Wick

A la place d'une description quantique par l'intégrale de chemin, il est, dans certains cas, souhaitable d'avoir une description en termes d'oscillateurs. Pour des raisons de commodité, nous n'établirons les résultats que pour  $F = 3$  où nous avons deux champs primaires conjugués  $\psi_1$  et  $\psi_2$ . Lorsque  $F$  est arbitraire, on a  $F - 1$  champs et les résultats s'étendent moyennant les substitutions  $(\psi_1, \psi_2) \rightarrow (\psi_a, \psi_{F-a})$ , et  $\exp(2i\pi/3) \rightarrow \exp(2ia\pi/F)$ ,  $a = 1, \dots, E(F/2)$ .

Le fait que les champs soient holomorphes nous permet d'effectuer les développements

$$\begin{aligned} \psi_1(z) &= \sum_{r \in \mathbb{Z} + a/3} \psi_{1,r} z^{-r-1/3} \\ \psi_2(z) &= \sum_{s \in \mathbb{Z} + 2a/3} \psi_{2,s} z^{-s-2/3}. \end{aligned} \quad (3.2.14)$$

Tout comme en théorie des cordes, nous pouvons définir une version adaptée des secteurs de Ramond-Neveu-Schwarz en fonction des conditions aux limites des champs ( $z \rightarrow \exp(2i\pi)z$ ), spécifiées par la valeur de  $a$ :

champs	a=0	a=1	a=2
$\psi_1$	$q^2$	$q$	1
$\psi_2$	$q$	$q^2$	1

On peut construire une représentation de l'algèbre en définissant un vide  $|0\rangle$  annihilé par  $\psi_{1,r}, r > 0$  et  $\psi_{2,s}, s > 0$ . On remarque que, tout comme pour les secteurs de Neveu-Schwarz, les modes correspondant à  $a = 0$  vont engendrer un vide non-trivial (des modes zéro); nous n'exploiterons pas cette possibilité.

La structure de l'algèbre sous-tendue par  $\psi$  est tellement contrainte que le comportement des différents oscillateurs, et donc des champs  $\psi$ , est imposé. On observe que les champs  $\psi_1$  et  $\psi_2$  sont conjugués; de ce fait, en introduisant deux séries de variables de Grassmann généralisées  $a$  et  $b$ , on peut réécrire  $\psi_{1,r} \equiv a_r, \psi_{2,s} \equiv b_s$  avec  $r, s > 0$  ainsi que  $\psi_{1,-s} \equiv b_s^\dagger, \psi_{2,-r} \equiv a_r^\dagger$ , avec  $r, s > 0$

$$\begin{aligned}\psi_1(z) &= \sum_{s>0} \{b_s^\dagger z^{s-1/3} + a_s z^{-s-1/3}\} \equiv \psi_{1/3<}(z) + \psi_{1/3>}(z) \\ \psi_2(z) &= \sum_{r>0} \{a_r^\dagger z^{r-2/3} + b_r z^{-r-2/3}\} \equiv \psi_{2/3<}(z) + \psi_{2/3>}(z).\end{aligned}\quad (3.2.15)$$

Ceci étant posé, le comportement des divers oscillateurs les uns par rapport aux autres n'est pas libre. La structure algébrique va induire des relations de commutation ne correspondant pas à celles mentionnées au chapitre précédent.

Si on se concentre sur les champs  $\psi_1$  et  $\psi_2$ , la cohérence implique que

1. les fonctions de corrélation à deux points redonnent (3.2.13)

$$\begin{aligned}\langle 0 | \psi_1(z) \psi_2(w) | 0 \rangle &= \sum_{r,s} \langle 0 | a_s a_r^\dagger | 0 \rangle z^{-s-1/3} w^{r-2/3} \sim \frac{-q}{z-w} \\ \langle 0 | \psi_2(z) \psi_1(w) | 0 \rangle &= \sum_{r,s} \langle 0 | b_s b_r^\dagger | 0 \rangle z^{-s-2/3} w^{r-1/3} \sim \frac{q^2}{z-w}. \\ \langle 0 | \psi_1(z) \psi_1(w) | 0 \rangle &= \sum_{r,s} \langle 0 | a_s b_r^\dagger | 0 \rangle z^{-s-1/3} w^{r-1/3} = 0 \\ \langle 0 | \psi_2(z) \psi_2(w) | 0 \rangle &= \sum_{r,s} \langle 0 | b_s a_r^\dagger | 0 \rangle z^{-s-2/3} w^{r-2/3} = 0\end{aligned}$$

2. Avant quantification, nous avons  $\psi_1(z)\psi_2(z) = q\psi_2(z)\psi_1(z)$ , ce qui nous suggère de définir une prescription d'ordre normal adaptée conduisant à

$$: \psi_1(z)\psi_2(z) : \sim q : \psi_2(z)\psi_1(z) : .$$

### 3.2 Supersymétrie fractionnaire en dimension 2 et invariance conforme 73

Nous avons résolu les contraintes (1) et (2) [63, 64]. Les équations (1) conduisent à des relations quadratiques entre les opérateurs de création  $A^\dagger = a_r^\dagger, b_s^\dagger$  et ceux d'annihilation  $A = a_r, b_s$  :  $A^\dagger A - q^a A A^\dagger \sim 1$ ; mais à ce stade, la puissance de  $q$  apparaissant dans les relations de  $q$ -mutation n'est pas fixée. Si maintenant on impose que l'algèbre soit fermée, ce qui se traduit dans notre cas par une charge centrale réelle (voir section (3.2.7)), alors on obtient

$$\begin{aligned} a_r a_s^\dagger - q a_s^\dagger a_r &= -q \delta_{rs} & b_r a_s^\dagger - q a_s^\dagger b_r &= 0 \\ b_r b_s^\dagger - q^2 b_s^\dagger b_r &= q^2 \delta_{rs} & a_r b_s^\dagger - q^2 b_s^\dagger a_r &= 0. \end{aligned} \quad (3.2.16)$$

Un calcul direct nous montre que (3.2.16) conduit bien aux fonctions de Green (3.2.13). Ensuite, si on définit une prescription d'ordre normal adapté (on note  $\phi_i = \psi_1, \psi_2$ )

$$: \phi_1(z) \phi_2(z) : \equiv \lim_{z \rightarrow w} [\phi_1(z) \phi_2(w) - \langle \phi_1(z) \phi_2(w) \rangle], \quad (3.2.17)$$

on obtient

$$\begin{aligned} : \psi_{1<}(z) \psi_{2>}(z) : &= q : \psi_{2>}(z) \psi_{1<}(z) : \\ : \psi_{2<}(z) \psi_{1>}(z) : &= q^2 : \psi_{1>}(z) \psi_{2<}(z) : \\ : \psi_{2<}(z) \psi_{2>}(z) : &= q : \psi_{2>}(z) \psi_{2<}(z) : \\ : \psi_{1<}(z) \psi_{1>}(z) : &= q^2 : \psi_{1>}(z) \psi_{1<}(z) : \end{aligned} \quad (3.2.18)$$

Les deux premières relations sont la traduction quantique de la relation de  $q$ -mutation entre les champs  $\psi_1(z), \psi_2(z)$  classiques. Il s'avère donc qu'après quantification, les champs ne satisfont plus de relations de monodromie simples (on ne peut pas exprimer  $\psi_1(z) \psi_2(w)$  en fonction de  $\psi_2(w) \psi_1(z)$ ). En outre, si maintenant on recherche une relation bilinéaire entre deux opérateurs de création ou d'annihilation ( $a_r a_s = q^{\alpha_{rs}} a_s a_r$ ), on peut montrer que l'on débouche sur une inconsistance dans l'algèbre des oscillateurs, donc au niveau de l'espace de Hilbert (en calculant par exemple  $a_r a_r^\dagger b_s^\dagger |0\rangle$  de deux façons différentes). De ce fait, la structure qui émerge naturellement après quantification de la FSUSY en dimension deux est l'algèbre des quons introduite par Greenberg et Mohapatra [87]. La conséquence de l'algèbre des quons est que nous avons un théorème de Wick affaibli et nulle relation entre les champs à fréquence positive ou négative n'est connue. Une telle structure avait été introduite pour produire une statistique avec une faible violation du principe de Pauli. Pour être tout à fait précis, il faut souligner le fait que pour Greenberg et Mohapatra nous avons  $q \in [0, 1[$ , alors que dans notre cas,  $q$  est un nombre complexe de module 1. Enfin, pour être complet dans la structure des oscillateurs, nous devons spécifier les relations

$$(a_r)^3 = (a_r^\dagger)^3 = (b_r)^3 = (b_r^\dagger)^3 = .0$$

### 3.2.6 Espace de Hilbert et quons

La notation du paragraphe précédent est trompeuse et laisse supposer que les opérateurs  $a, b$  et  $a^\dagger, b^\dagger$  sont hermitiques conjugués les uns des autres alors que ce n'est pas le cas. On pourrait alors vouloir rechercher une transformation analogue à celle établie dans le chapitre 2, et permettant de connecter l'algèbre de Heisenberg  $q$ -déformée au  $q$ -oscillateurs, mais une telle transformation (voir la section (2.2.1)) ne permet pas de construire des opérateurs conjugués les uns des autres. Une transformation un peu plus subtile est certainement nécessaire. En outre, vu la structure de l'algèbre des quons, l'opérateur nombre admet une expression complexe [120]. Ainsi, à la différence des  $q$ -oscillateurs, nous ne sommes pas encore en mesure de prouver que la représentation de l'algèbre de la FSUSY en  $2D$  est unitaire. Quoiqu'il en soit, on peut d'ores et déjà établir quelques propriétés de l'espace de Hilbert. On se limite, par souci de simplicité, au cas où nous n'avons qu'une série d'opérateurs  $(a, a^\dagger)$  et on note  $(a_{r_1}^\dagger)^{k_1} \cdots (a_{r_i}^\dagger)^{k_i} |0\rangle \sim |(k_1)_{r_1}; \cdots, (k_i)_{r_i}\rangle$ .

1. Il n'y a pas de relation bilinéaire entre deux opérateurs de création. De ce fait, il faut distinguer les deux états

$$a_r^\dagger a_s^\dagger |0\rangle \neq a_s^\dagger a_r^\dagger |0\rangle \quad \text{si } r \neq s.$$

Il s'ensuit que les états vont se décomposer en représentations irréductibles du groupe des permutations (voire du groupe des tresses) tout comme les parafermions de Green [23, 24].

2. On ne peut pas appliquer un opérateur de création plus de  $F$  fois. Ainsi, si on considère

$$|h\rangle = A_0 (a_r^\dagger)^{k_1} A_1 \cdots A_{i-1} (a_r^\dagger)^{k_i} A_i |0\rangle,$$

avec  $A_0, \cdots, A_i$  des produits arbitraires d'opérateurs de création distincts de  $a_r^\dagger$ , on a  $a_r^\dagger |h\rangle = 0$  si  $k_1 + \cdots + k_i = F - 1$ . En d'autres termes, on peut décomposer l'espace de Hilbert

$$H = H_0^{(r)} \oplus \cdots \oplus H_{F-1}^{(r)},$$

où  $H_i^{(r)}$  est le sous-espace où  $a_r^\dagger$  a été appliqué  $i$  fois. Cette propriété est la conséquence directe de la relation  $a_r^F = 0$ .

3. On peut se convaincre facilement que  $A_0 \cdots A_i |0\rangle$  est annihilé par  $a_r$ .

### 3.2.7 Algèbre des courants

Ayant défini précisément les différentes fonctions de Green et un théorème de Wick adapté aux types de champs rencontrés en FSUSY, nous sommes en mesure de déterminer l'algèbre des courants. Dans le calcul des diverses OPE, il faut tenir compte de la prescription d'ordre normal, ainsi pour calculer  $:\psi_1^2(z) : \psi_2(w)$ , on revient à la définition du théorème de Wick,  $:\psi_1^2(z) := \lim_{\epsilon \rightarrow 0} \psi_1(z + \epsilon)\psi_1(z)$ , puis on effectue toutes les contractions possibles, et enfin on prend la limite  $\epsilon \rightarrow 0$ .

En se référant aux résultats que nous avons établis [63, 64], nous obtenons le tenseur énergie-impulsion  $T$  et le supercourant  $G$

$$\begin{aligned} T(z) &= -\frac{1}{2} : \partial_z X(z) \partial_z X(z) : + \frac{F}{(q-1)^F} \sum_{a=1}^{F-1} \left[ \frac{F-a}{2F} ((q^{-a} - 1) : \partial_z \psi_{\frac{a}{F}}(z) \psi_{\frac{F-a}{F}}(z) \right. \\ &\quad \left. + (1 - q^a) : \psi_{\frac{F-a}{F}}(z) \partial_z \psi_{\frac{a}{F}}(z) : \right], \\ G(z) &= q^{1/2} \left[ : \partial_z X(z) \psi_{\frac{1}{F}}(z) : + \frac{F}{(q-1)^{F-1}} \sum_{a=1}^{F-2} \{a+1\} \{-a\} \frac{1}{1+\eta(a)} : \psi_{\frac{F-a}{F}}(z) \psi_{\frac{1+a}{F}}(z) : \right], \end{aligned} \quad (3.2.19)$$

où  $\eta(a) = q^{\frac{F-1}{2}}$  si  $a = \frac{F-1}{2}$  (si  $F$  est un nombre impair) et  $\eta(a) = 1$  sinon (une telle normalisation provient du calcul des contractions avec  $:(\psi_{\frac{F-1}{2}})^2 :$ ). En utilisant les fonctions de Green à deux points (3.2.13), on obtient

$$\begin{aligned} T(z)X(w) &= \frac{\partial_w X(w)}{z-w} + \dots \\ T(z)\psi_a(w) &= \frac{\frac{a}{F}\psi_a(w)}{(z-w)^2} + \frac{\partial_w \psi_a(w)}{z-w} + \dots \\ G(z)X(w) &= q^{1/2} \frac{\psi_1(w)}{z-w} + \dots \\ G(z)\psi_{F-1}(w) &= (-1)^F q^{1/2} \frac{(1-q)^{F-1}}{F} \frac{\partial_w X(w)}{z-w} + \dots \\ G(z)\psi_a(w) &= q^{1/2} \{a+1\} \frac{\psi_{a+1}}{z-w} + \dots \end{aligned} \quad (3.2.20)$$

Ces transformations montrent bien que les champs  $X, \psi_a$  sont de poids conformes  $0, a/F$  et que  $G$  est le courant conservé associé aux transformations FSUSY (voir les équations (3.1.10)). On établit également

$$\begin{aligned} T(z)T(w) &= \frac{1}{2} \frac{c_F}{(z-w)^4} + \frac{2T(w)}{(z-w)^2} + \frac{\partial_w T(w)}{z-w} + \dots \\ T(z)G(w) &= \frac{\frac{F+1}{F}G(w)}{(z-w)^2} + \frac{\partial_w G(w)}{z-w} + \dots, \end{aligned} \quad (3.2.21)$$



où la charge centrale vaut

$$c_F = 1 + \left(\frac{1}{2}\right) + 2 \sum_{a=1}^{E(\frac{F-1}{2})} \cos\left(\frac{2\pi a}{F}\right) \left\{ \left(\frac{a}{F}\right)^2 + \left(\frac{F-a}{F}\right)^2 - 4\frac{a(F-a)}{F^2} \right\}, \quad (3.2.22)$$

$(1/2)$  est présent uniquement si  $F$  est pair, il représente la contribution d'un fermion à la charge centrale. Uniquement  $F = 2, 3, 4$  admettent une charge centrale rationnelle et peuvent donc avoir un lien avec des systèmes intégrables. On peut noter que  $F = 4$  a la même charge centrale que  $F = 2$ .

L'extension de l'algèbre de Virasoro considérée est une généralisation naturelle de l'invariance superconforme et contient un courant conservé de poids conforme  $1 + 1/F$ . Cette nouvelle symétrie connecte les champs primaires de poids conforme  $(0, 1/F, \dots, (F-1)/F)$ .

Pour des raisons analogues à celles développées précédemment, on voit que l'algèbre FSUSY va impliquer des relations de fermeture d'ordre  $F$  et non pas quadratiques. De ce fait, lorsque l'on calcule  $G(z)G(w)$ , on engendre le pseudo-courant  $G_2$ , de poids conforme  $1 + 2/F$ . Ce processus itératif va conduire à  $G \equiv G_1, G_2, \dots, G_{F-1}$ , et parmi ces pseudo-courants, de poids conformes  $(1 + 1/F, 1 + 2/F, \dots, 1 + (F-1)/F)$ , on peut conclure que  $G_i$  engendre une symétrie si  $i$  divise  $F$ . On retrouve bien évidemment une structure algébrique identique à ce qui se passe à une dimension. Enfin,  $G_1(z)G_{F-1}(w)$  donne le tenseur énergie-impulsion  $T$ , et éventuellement des termes exprimés à partir des champs primaires. Ceci est la répercussion, au niveau de l'algèbre des courants, de  $Q_L^F = \partial_z$ . Il est facile de se rendre compte que (3.2.21) conduit aux deux premières relations de (3.2.5) (avec une charge centrale). Par contre, l'analogie de la troisième ne semble pas évidente à obtenir.

On peut comparer la structure construite à l'algèbre de Virasoro fractionnaire (FSV) considérée dans [116, 117], où, au côté du tenseur énergie-impulsion, un courant conservé de poids conforme  $1 + 1/F$  est introduit. Ces deux algèbres sont différentes, et ceci pour plusieurs raisons. FSV implique des relations de fermeture quadratiques mais non-locales, alors que FSUSY admet des relations de fermeture d'ordre  $F$  mais locales. En outre, les charges centrales diffèrent dans les deux théories ( $c_K = 3K/(K+2)$ ,  $K = 4, C_K = 2$  correspondant à  $F = 3$  etc.) [116, 117]. Enfin, les champs  $\psi$  que nous avons introduits ne sont pas des parafermions.

### 3.2.8 Associativité

Nous avons mentionné que l'algèbre associée à la FSUSY induisait des relations de fermeture non-quadratiques, mais pour qu'une théorie conforme soit cohérente, il n'est pas suffisant qu'elle soit fermée, elle doit également être associative. Ce nouveau type de contraintes a eu une incidence non nulle sur la structure introduite dans [116, 117]. L'associativité se manifeste

lorsque l'on calcule une fonction de corrélation, et impose que le résultat soit indépendant de la manière dont on groupe les différents champs .

Ainsi, par exemple, si on veut déterminer  $\langle \phi_1(z_1)\phi_2(z_2)\phi_3(z_3) \rangle$ , nous avons deux façons de distribuer les parenthèses :

$$\langle \phi_1(z_1)(\phi_2(z_2)\phi_3(z_3)) \rangle \quad \text{ou} \quad \langle (\phi_1(z_1)\phi_2(z_2))\phi_3(z_3) \rangle,$$

ces deux façons devant conduire au même résultat. Et ainsi de suite pour les fonctions à quatre, cinq *etc.* points.

Une solution à ce problème délicat a été donnée par l'étude des fonctions de Green à 4 points entre champs primaires, et débouche sur l'équation de bootstrap [113]. Une telle équation permet de déterminer les divers coefficients apparaissant dans les OPE entre les champs primaires. Dans le cas où  $F = 3$ , on a

$$\begin{aligned} \partial X(z)\partial X(w) &= \frac{-1}{(z-w)^2} + \sum_{n>0} C_{00}^{0,(n)} \partial^n X(w)(z-w)^{n-2} \\ \partial X(z)\psi_a(w) &= \sum_{n\geq 0} C_{0a}^{a,(n)} \partial^n \psi_a(w)(z-w)^{n-1}, \quad a = 1, 2 \\ \psi_1(z)\psi_1(w) &= \sum_{n\geq 0} C_{11}^{2,(n)} \partial^n \psi_2(w)(z-w)^n \\ \psi_2(z)\psi_2(w) &= \sum_{n\geq 0} C_{22}^{1,(n)} \partial^n \psi_1(w)(z-w)^{n-1} \\ \psi_1(z)\psi_2(w) &= \frac{-q}{z-w} + \sum_{n>0} C_{12}^{0,(n)} \partial^n X(w)(z-w)^{n-1} \\ \psi_2(z)\psi_1(w) &= \frac{q^2}{z-w} + \sum_{n>0} C_{21}^{0,(n)} \partial^n X(w)(z-w)^{n-1} \end{aligned} \tag{3.2.23}$$

Si on calcule

$$\langle \phi_1(z_1)\phi_2(z_2)\phi_3(z_3)\phi_4(z_4) \rangle,$$

avec  $\phi_i = \psi_1, \psi_2, \partial_z X$  on peut (en utilisant les équations (3.2.23))

- soit contracter  $\phi_1$  avec  $\phi_2$  et  $\phi_3$  avec  $\phi_4$  et ensuite calculer les fonctions à deux-points;
- soit contracter  $\phi_2$  avec  $\phi_3$  et  $\phi_1$  avec  $\phi_4$  puis calculer les fonctions à deux points.

Imposer que les deux façons de procéder conduisent au même résultat fixe les coefficients  $C$  introduits dans (3.2.23). Nous n'avons pas encore effectué de tels calculs qui peuvent être très lourds.

### 3.2.9 Applications

Le premier type d'applications envisageable à partir de la FSUSY consiste en l'étude des systèmes intégrables ou des modèles minimaux (en particulier pour  $F = 2, 3, 4$  où la charge centrale est un nombre rationnel): ainsi, une théorie FSUSY d'ordre 4 est obligatoirement supersymétrique.

Tout comme  $F = 2$  contient un champ primaire fermionique et débouche sur une description du modèle d'Ising, on peut se poser la question du système (si système il y a) sous-tendu par la théorie  $F = 3$ . On pourrait penser que les champs  $\psi_1$  et  $\psi_2$  sont corrélés au modèle de Potts à trois états. Mais tel n'est pas le cas car la charge centrale de  $\psi_1$  et  $\psi_2$  est  $1/3$  alors que celle de Potts à trois états est  $c = 4/5$ .

En marge (ou relié ?) à ce problème, plusieurs extensions sont alors envisageables:

1. introduire d'autres superchamps que le superchamp scalaire (3.2.6), par exemple des champs de poids conforme non-nul. C'est ce principe qui permet de construire une théorie  $fF$ -SUSY à partir d'une  $F$ -SUSY. Il a d'ailleurs été établi que les représentations de FSUSY sont en bijection avec celles (cycliques) du groupe quantique  $U_q(sl(2))$  (Saidi *et al* [67]);
2. on peut également introduire des termes d'interaction en définissant un superpotentiel (Debergh [67], Saidi *et al* [67]) ou encore un couplage entre différents superchamps de poids conformes distincts (Collato *et al* [67]);
3. enfin, si on modifie les relations de commutation entre les oscillateurs de la façon suivante [63]

$$a_r a_s^\dagger - q a_s^\dagger a_r = k_n(\Delta) \delta_{rs}, \quad (3.2.24)$$

on obtient

$$\langle 0 | \psi_1(z) \psi_2(w) | 0 \rangle = \frac{1}{z^\Delta} \sum_{n \geq 0} k_n(\Delta) \left(\frac{w}{z}\right)^n \sim \frac{1}{(z-w)^\Delta}, \quad (3.2.25)$$

et on peut reproduire des fonctions de Green non-locales. Evidemment, tout ce que nous avons fait n'est plus valable dans ce cas-là, et on peut se demander si une telle description a (ou n'a pas) de rapport avec les parafermions et FSV?

On peut également envisager que la FSUSY soit une symétrie sur la surface d'univers et donc appliquer les résultats en théorie des cordes. Si maintenant, on veut construire une action présentant une invariance locale (tout comme en dimension 1), les problèmes énoncés dans la première partie restent entiers et il faudrait construire proprement une telle action. D'après la discussion envisagée dans la section (3.1.4), il semblerait qu'il faille introduire  $F-1$

fractini, contrôlant l'invariance par FSUSY, et une métrique (ou un "zweibein") contrôlant les difféomorphismes. Parmi ces champs de jauge, seuls le zweibein et les fractini  $\chi_i$  couplant aux courants  $G_i$ , lorsque  $i$  divise  $F$ , pourront avoir une incidence sur la cohérence de la théorie (seulement ces champs se transformeront par FSUSY d'ordre  $i/F$  comme une dérivée totale) [64]. C'est par l'intermédiaire des fantômes que Polyakov a le premier démontré que les théories primitives des cordes/supercordes imposaient une dimension de l'espace-temps de 26, 10 [119]. Nous allons reproduire les étapes du raisonnement appliqué à une théorie FSUSY. Une extension des théories des cordes a également été obtenue dans le cadre des théories FSV [117].

Lors de la quantification par l'intégrale de chemin, le fait de fixer une jauge nécessite l'introduction de fantômes. Sans connaître précisément la forme de l'action invariante locale, utilisant les lois de transformation (2.3.14), on peut écrire (pour la FSUSY d'ordre  $F/i$ )

$$\begin{aligned}
 S_i &= \left( \det J_{\text{ghost}}^{(i)} \right)^{-F/i+1} & (3.2.26) \\
 &= \int \mathcal{D}\beta_1^{(i)} \mathcal{D}\gamma_1^{(i)} \cdots \mathcal{D}\beta_{F/i-1}^{(i)} \mathcal{D}\gamma_{F/i-1}^{(i)} \exp \left[ S_{\beta_1^{(i)}, \gamma_1^{(i)}} + \cdots + S_{\beta_{F/i-1}^{(i)}, \gamma_{F/i-1}^{(i)}} \right],
 \end{aligned}$$

où nous avons introduit  $F/i - 1$  paires de fantômes/anti-fantômes, champs bosoniques exprimant le déterminant apparaissant dans (3.2.26), chaque paire de fantômes contribuant pour une puissance 1 dans l'expression du déterminant. Comme le paramètre de la transformation  $F/i$ -SUSY est de poids conforme  $-i/F$ , les fantômes  $\gamma^{(i)}$ , anti-fantômes  $\beta^{(i)}$  sont de poids conformes  $-i/F$ ,  $1 + i/F$ . Un tel couple aura une charge centrale (Polyakov [107]) de  $c_{\beta^{(i)}, \gamma^{(i)}} = 2(1 + 6i/F(i/F + 1))$ . Les fantômes introduits de cette façon sont associés à une symétrie car  $G_i$  est un générateur. Etant donné que les représentations de la FSUSY font appel à des champs de tous les types, il est très probable qu'il faille également introduire des champs de poids conformes  $-i/F$ ,  $1 + i/F$  lorsque  $i$  ne divise pas  $F$ , de telle sorte que l'on puisse compléter les divers super-multiplets. Suivant la terminologie introduite, on pourrait appeler pseudo-fantômes de tels champs. Du fait qu'ils sont associés à une pseudo-symétrie, ils ne contribueraient pas à l'anomalie.

On résume alors dans le tableau suivant les différentes contributions à l'anomalie (on rappelle que la contribution du système  $c, b$ , contrôlant l'anomalie des difféomorphismes est toujours  $-26$ )

FSUSY	matière	fantômes	dimension critique
$F = 1$	1	-26	26
$F = 2$	$1 + \frac{1}{2}$	$-26 + 11$	10
$F = 3$	$1 + \frac{1}{3}$	$-26 + 2 \times \frac{22}{3}$	$\frac{17}{2}$
$F = 4$	$1 + \frac{1}{2} + 0$	$-26 + 11 + 3 \times \frac{23}{4}$	négative
$F > 4$	irrationnel		irrationnel

Les diverses contributions correspondent:

dans la colonne matière: aux différents champs (3.2.22);

dans la colonne fantômes: aux contributions provenant des diverses symétries (par exemple pour  $F = 4$ , on a la supersymétrie, la FSUSY d'ordre 4 et les difféomorphismes);

la dimension critique est obtenue en prenant  $D$  familles de multiplets d'ordre  $F$  de telle sorte que l'anomalie totale est nulle.

Cette étude générale montre que la FSUSY n'est pas applicable (du moins dans sa présente version) pour la description d'une théorie de corde car, pour  $F = 3$ , la dimension n'est pas entière et pour  $F = 4$ , elle est négative. Et a fortiori, dès que  $F > 4$ , on ne peut pas construire de théorie satisfaisante.

Dans les Refs.[121], une approche très semblable à celle que nous avons suivie pour construire la FSUSY a été proposée. La différence essentielle réside dans les propriétés des différents champs qui commutent ou anticommulent. Alors, d'une part, la charge centrale de la matière est toujours un nombre rationnel (il n'y a pas de  $q$  conduisant à un cosinus). D'autre part, dans cette approche, il apparaît des symétries de tous les types et les restrictions de type " $G_i$  est un générateur si  $i$  divise  $F$ " ne sont pas de mise. De cette façon, d'autres dimensions critiques apparaissent.

Pour clore cette partie, mentionnons que tous ces résultats militent en faveur d'une modification de la FSUSY en dimension 2

- soit par la considération d'autres multiplets;
- soit par une modification pertinente de l'algèbre des oscillateurs;
- ???

En effet, la FSUSY en  $2D$  présente des avantages et des inconvénients par rapport aux théories analogues telles que FSV.

### 3.2 Supersymétrie fractionnaire en dimension 2 et invariance conforme 81

**Avantage:** nous avons une structure de superspace explicite et des variables généralisant les variables de Grassmann adaptées pour décrire une telle extension de l'algèbre de Virasoro.

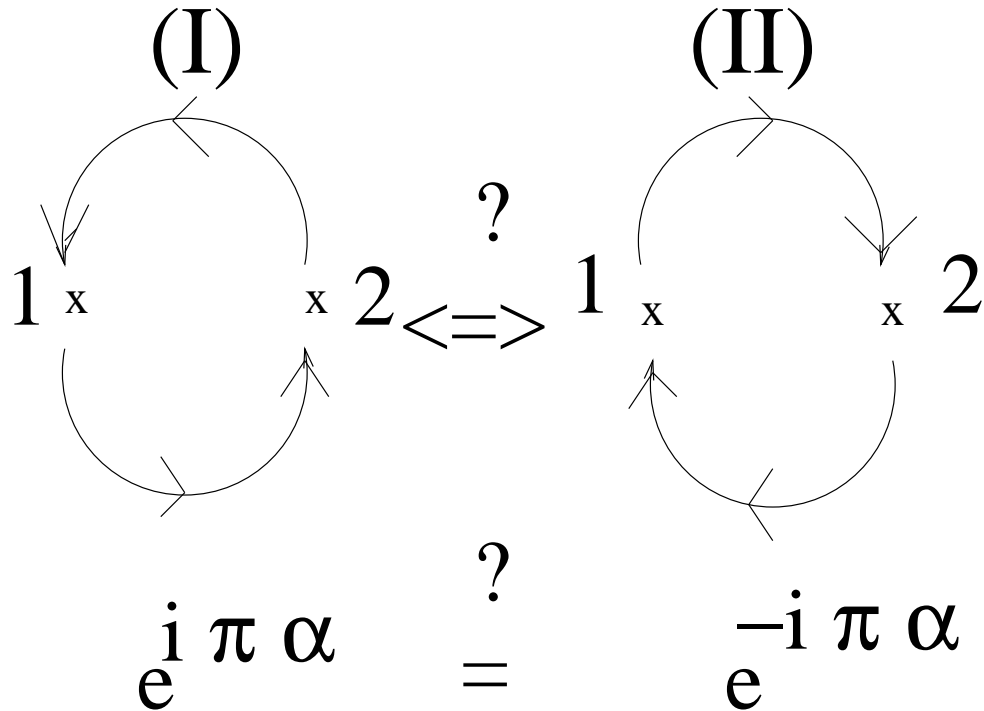
**Inconvénients:** la charge centrale est en général irrationnelle et de ce fait, la connexion avec une théorie de corde n'est pas envisageable. Nous n'avons également pas de relation évidentes avec des systèmes intégrables, et en particulier avec les parafermions de Fateev et Zamolodchikov.

### 3.3 Supersymétrie fractionnaire en dimension $1 + 2$ et anyons

La dernière dimension qui présente des propriétés particulières et permette de construire une extension des théories supersymétriques se trouve être  $1 + 2$ . Dans de tels espaces, l'existence de représentations qui ne sont ni bosoniques (ou parabosoniques) ni fermioniques (ou parafermioniques) permet de définir des particules de spin *arbitraire*. Nous allons voir comment, à partir de ces représentations *anyoniques*, il est possible de construire une symétrie allant au-delà de la supersymétrie et constituant une extension naturelle des théories FSUSY déjà définies en dimension 1 et 2. Nous nous attacherons ensuite à étudier les représentations de cette symétrie.

#### 3.3.1 Représentations de l'algèbre de Poincaré

IL existe plusieurs façons d'introduire les statistiques fractionnaires en dimension  $1 + 2$ . Par exemple, on peut se demander si le fait de permuter deux particules dans le sens rétrograde ou trigonométrique conduit à un même déphasage ( $\exp(i\pi\alpha) = \exp(-i\pi\alpha)$ , voir figure).



Dès que la dimension de l'espace-temps est supérieure à 4, l'existence de dimensions du genre espace perpendiculaires au plan de la figure impose que les deux manières d'échanger les particules 1 et 2 soient identiques (on peut faire une rotation, dans un plan contenant

l'axe reliant 1 à 2 et perpendiculaire au plan de la figure, échangeant  $I$  et  $II$ ) et donc  $\alpha = 0, 1$ . Par contre, si  $D = 3$ , tel n'est plus le cas et  $\alpha$  est arbitraire. Il s'ensuit, lorsque la dimension de l'espace-temps est égale (supérieure ou égale) à 3, que les particules sont dans une représentation du groupe des tresses (permutations). Ainsi, en dimension 1 + 2, des statistiques ni bosoniques ( $\alpha = 0$ ) ni fermioniques ( $\alpha = 1$ ) sont permises [101].

On peut également introduire les états de spin fractionnaire par la théorie des représentations. Etant donné que le premier groupe d'homotopie est  $\pi_1(SO(1, 2)) = \pi_1(SO(2)) = \mathbb{Z}$ , il existe un groupe de recouvrement universel permettant d'autres représentations que celles bosoniques et fermioniques.

On définit les générateurs du groupe de Poincaré  $J^\alpha = \frac{1}{2}\eta^{\alpha\beta}\epsilon_{\beta\mu\nu}J^{\mu\nu}$  et  $P^\alpha$  ( $\eta_{\alpha\beta} = \text{Diag}(-1, 1, 1)$  est la métrique de Minkowski et  $\epsilon_{\beta\mu\nu}$  le tenseur de Levi-Civita). L'algèbre de Poincaré s'écrit alors

$$\begin{aligned} [P^\alpha, P^\beta] &= 0 \\ [J^\alpha, P^\beta] &= i\eta^{\alpha\gamma}\eta^{\beta\delta}\epsilon_{\gamma\delta\eta}P^\eta \\ [J^\alpha, J^\beta] &= i\eta^{\alpha\gamma}\eta^{\beta\delta}\epsilon_{\gamma\delta\eta}J^\eta. \end{aligned} \quad (3.3.1)$$

Les représentations pour les particules de masse  $m \neq 0$  sont obtenues à partir de l'étude du petit groupe laissant invariant l'impulsion  $p^\alpha = (m, 0, 0)$ , calculée dans un référentiel où la particule est au repos. Etant donné que ce groupe de stabilité est abélien ( $SO(2)$ ), les représentations sont de dimension 1 et non-quantifiées ( $J^0 \rightarrow J^0 + s$  laisse invariante les relations de structure de  $SO(2)$ ). Les représentations sont donc paramétrisées par un paramètre continu  $s \in \mathbb{R}$ . Une telle substitution montre explicitement que lorsque l'on fait une rotation de  $2\pi$ , on engendre une phase  $e^{2is\pi}$ . Il est remarquable de constater alors, que pour le groupe  $SO(1, 2)$ , la transformation simultanée  $J^i \rightarrow J^i + s\frac{P^i}{P^0+m}$  préserve les relations de commutation de  $SO(1, 2)$ . Puisque pour une transformation propre et orthochrone, le dénominateur ne s'annule jamais,  $s$  n'est pas quantifié (ce n'est bien sûr pas vrai pour  $SO(3)$ ). En outre, à partir de la méthode des représentations induites, on peut montrer que, pour une représentation  $s$ , on a (les représentations du groupe de Poincaré ont été étudiées dans [122])

$$\begin{aligned} J_s^0 &= i\left(p^1\frac{\partial}{\partial p_2} - p^2\frac{\partial}{\partial p_1}\right) + s \\ J_s^1 &= -i\left(p^2\frac{\partial}{\partial p_0} - p^0\frac{\partial}{\partial p_1}\right) + s\frac{p^1}{p^0+m} \\ J_s^2 &= -i\left(p^0\frac{\partial}{\partial p_1} - p^1\frac{\partial}{\partial p_0}\right) + s\frac{p^2}{p^0+m}, \end{aligned} \quad (3.3.2)$$



avec  $p$  la valeur propre de  $P$ . Une telle modification des générateurs de Lorentz a été proposée dans [123]. L'idée de la démonstration est la suivante: partant du référentiel où  $p^\alpha = (m, 0, 0)$ , par une transformation de Lorentz, on passe dans un repère quelconque, pour lequel  $p^\alpha = (p^0, p^1, p^2)$  (avec  $p^\alpha p_\alpha = m^2$ ) et on regarde ce qu'induit un tel changement de base au niveau des générateurs de Lorentz [124].

Une fois les représentations (3.3.2) mises en évidence, il a été observé [122, 124, 125] qu'à partir des deux opérateurs de Casimir ( $P.P$  et  $P.J$ ), on pouvait construire une équation du mouvement pour une particule de masse  $m$  ( $P.P = m^2$ ) et de spin  $s$  ( $P.J = ms$ )

$$\begin{aligned} (P^2 - m^2)\Psi &= 0 \\ (P.J - sm)\Psi &= 0. \end{aligned} \tag{3.3.3}$$

Diverses approches ont également conduit à des équations analogues [125]. Il est important de noter qu'une telle description diffère de celle où, par l'intermédiaire d'un terme de Chern-Simons, on transmute un champ scalaire en un champ de spin fractionnaire [126].

Les équations (3.3.3) ne sont vraies que sur la couche de masse, et pour obtenir des équations covariantes, il faut aller au-delà de la condition de masse et étudier les représentations du groupe de Lorentz en dimension 3. Ainsi, en partant de ces représentations, en imposant une équation du mouvement appropriée, on peut retrouver (3.3.3) avec le bon nombre de degré(s) de liberté. C'est d'ailleurs ainsi que l'on passe, à quatre dimensions, d'un champ de Dirac à 4 composantes complexes, aux degrés de liberté de l'électron par exemple.

Jackiw et Nair [124] et Binengar [122] ont montré, par un calcul explicite, que les représentations non-unitaires de dimension  $2s + 1$  conduisaient à (3.3.3) (du moins pour les représentations vectorielle et spinorielle). Ces résultats ont ensuite été étendus pour  $s$  arbitraire [124, 125] et admettent comme point de départ les représentations de dimension infinie de  $SO(1,2)$ . Celles-ci ont été mises en évidence par Wybourne [127] et consistent en les séries discrètes bornées de plus haut ou de plus bas poids. C'est à partir de ces représentations que l'on peut obtenir une équation relativiste pour un anyon [124]. Il existe également les séries dites continues [127] qui ne sont bornées ni par le haut ni par le bas; une équation relativiste a également été proposée pour de telles représentations (voir le troisième article de [125]), mais nous n'en parlerons pas et nous nous limiterons aux séries discrètes. En notant  $J_\pm = J_1 \mp iJ^2$ , on obtient

$$\begin{aligned} J_s^0 |s_+, n\rangle &= (s + n) |s_+, n\rangle \\ \mathcal{D}_s^+ : J_{s,+} |s_+, n\rangle &= \sqrt{(2s + n)(n + 1)} |s_+, n + 1\rangle \\ J_{s,-} |s_+, n\rangle &= \sqrt{(2s + n - 1)n} |s_+, n - 1\rangle, \end{aligned} \tag{3.3.4}$$

pour les séries de plus bas poids, et pour celles de plus haut poids,

$$\begin{aligned}
 J_s^0 |s_-, n\rangle &= -(s+n) |s_-, n\rangle \\
 \mathcal{D}_s^- : J_{s,+} |s_-, n\rangle &= -\sqrt{(2s+n-1)n} |s_-, n-1\rangle \\
 J_{s,-} |s_-, n\rangle &= -\sqrt{(2s+n)(n+1)} |s_-, n+1\rangle.
 \end{aligned} \tag{3.3.5}$$

Ces deux représentations admettent  $s(s-1)$  comme valeur de l'opérateur de Casimir. Cette approche qui passe par les représentations du groupe de recouvrement universel de  $SO(1,2)$  diffère de celle où des représentations multi-valuées de  $SO(1,2)$  sont considérées [128].

Pour terminer cette section, mentionnons les résultats essentiels de Jackiw et Nair [124]: il est possible de construire une équation relativiste pour un anyon de spin  $s$ . La solution d'une telle équation s'exprime comme la somme directe d'une particule d'énergie positive dans la représentation  $\mathcal{D}_s^+$  et d'une solution d'énergie négative dans la représentations  $\mathcal{D}_s^-$ . Ceci revient à dire que l'on obtient un état d'énergie positive et d'hélicité  $h = s$  et un état d'énergie négative et d'hélicité  $h = -s$ :  $|s\rangle = |h = s, +\rangle \oplus |h = -s, -\rangle$ . Ces deux états sont donc  $CP$  conjugués l'un de l'autre et finalement, on obtient une représentation réelle (comme il se doit pour  $SO(2)$ ).

En fait, pour construire des équations covariantes reproduisant (3.3.3), on relève deux méthodes. La première admet comme point de départ la représentation  $\mathcal{D}_{-1} \oplus \mathcal{D}_{s+1}$  [124] et la seconde  $\mathcal{D}_{-1/2} \oplus \mathcal{D}_{s+1/2}$  [125] (troisième article);  $\mathcal{D}_{-1}, \mathcal{D}_{-1/2}$  sont les représentations vectorielle et spinorielle. Dans les deux cas, (3.3.3) ont été dérivées à partir d'une équation linéaire plus un certain nombre de conditions subsidiaires. Mentionnons que dans les deux dernières références de [125], une équation linéaire a été obtenue.

Nous allons, dans la section suivante, considérer le cas  $s = -1/F$ . Si on observe les équations (3.3.4) et (3.3.5), il apparaît immédiatement une ambiguïté liée à  $\sqrt{-2/F}$ . De ce fait, il y a *a priori* quatre représentations possibles: deux de plus haut poids et deux de plus bas poids liées au choix  $\sqrt{-1} = \pm i$ . On note  $\mathcal{D}_{-1/F;\pm}^\pm$  ces quatre représentations. On peut alors établir que celles-ci sont reliées de la manière suivante

- la représentation duale de  $\mathcal{D}_{-1/F;+}^+$  est définie moyennant la substitution  $J^a \longrightarrow -(J^a)^t$ :  $[\mathcal{D}_{-1/F;+}^+]^* = \mathcal{D}_{-1/F;+}^-$ ;
- la représentation complexe conjuguée de  $\mathcal{D}_{-1/F;+}^+$ , est obtenue en introduisant  $J^a \longrightarrow -(J^a)^*$  <sup>2, 3</sup> (comme, quelque soit la représentation choisie, par définition on a  $J^\pm = J^1 \mp iJ^2$ ,  $(J^\pm)^* = -((J^1)^* \mp i(J^2)^*)$ ). On obtient alors  $\overline{\mathcal{D}_{-1/F;+}^+} = \mathcal{D}_{-1/F;+}^-$ ;
- finalement  $\overline{[\mathcal{D}_{-1/F;+}^+]^*} = \mathcal{D}_{-1/F;-}^+$ .

<sup>2</sup>Etant donné que pour les mathématiciens il n'y a pas de facteur  $i$  dans la définition d'une algèbre de Lie, *-c.f.* (3.3.1)– il n'y a pas de signe moins dans la définition de la représentation complexe conjuguée.

<sup>3</sup>On peut noter que pour une matrice complexe  $X$ ,  $X^*$  représente la matrice complexe conjuguée, alors que pour un espace vectoriel  $V$ ,  $V^*$  représente son espace dual.

Si maintenant on considère  $\psi_a \in \mathcal{D}_{-1/F;+}^+$ ,  $\psi^a \in \mathcal{DC}_{-1/F;+}^-$ ,  $\bar{\psi}_{\dot{a}} \in \mathcal{D}_{-1/F;-}^-$  et  $\bar{\psi}^{\dot{a}} \in \mathcal{D}_{-1/F;-}^+$  (les notations suivent de très près celles de  $SL(2, \mathbb{C})$ ), nous avons les lois de transformation suivantes

$$\begin{aligned}\psi'_a &= S_a{}^b \psi_b \\ \psi'^a &= (S^{-1})_b{}^a \psi^b \\ \bar{\psi}'_{\dot{a}} &= (S^*)_{\dot{a}}{}^{\dot{b}} \bar{\psi}_{\dot{b}} \\ \bar{\psi}'^{\dot{a}} &= ((S^*)^{-1})_{\dot{b}}{}^{\dot{a}} \bar{\psi}^{\dot{b}}.\end{aligned}\tag{3.3.6}$$

On peut alors montrer que les représentations de plus haut/bas poids sont isomorphes (étant donné que nous considérons des espaces de dimension infinie, on a plus exactement  $\overline{\mathcal{D}_{-1/F;+}^+} \subset [\mathcal{D}_{-1/F;+}^+]^*$ ). Considérons les matrices  $g_{\dot{a}a} = g^{a\dot{a}} = g_{a\dot{a}} = g^{\dot{a}a} = \text{diag}(-1, 1, \dots, 1)$  ( $g_{\dot{a}a} = (g^{a\dot{a}})^{-1}$  et  $g_{a\dot{a}} = (g^{\dot{a}a})^{-1}$ ), on peut alors définir le produit scalaire

$$\varphi^a \psi_a = \bar{\varphi}_{\dot{a}} \psi_a g^{\dot{a}a} = -\bar{\varphi}_0 \psi_0 + \sum_{a>0} \bar{\varphi}_{\dot{a}} \psi_a,\tag{3.3.7}$$

établissant explicitement l'inclusion  $\overline{\mathcal{D}_{-1/F;+}^+} \subset [\mathcal{D}_{-1/F;+}^+]^*$  :  $(S^{-1})_b{}^a = g^{a\dot{a}} (S^*)_{\dot{a}}{}^b g_{\dot{b}b}$  (pour  $\overline{\mathcal{D}_{-1/F;+}^+}$  on prend des sommes finies alors que pour  $[\mathcal{D}_{-1/F;+}^+]^*$  les sommes peuvent être en principe infinies).

La raison pour laquelle nous avons un produit scalaire pseudo-hermitien est liée au fait que nous avons des représentations non-unitaires d'un groupe de Lie non-compact.

### 3.3.2 Extension de l'algèbre de Poincaré et supersymétrie fractionnaire

Le point de départ dans l'étude des extensions de l'algèbre de Poincaré consiste à définir des séries infinies de charges, dans les représentations appropriées de  $SO(1, 2)$ . Etant donné les résultats des sections consacrées à l'étude de la FSUSY en une et deux dimensions, on choisit des charges dans les représentations  $\mathcal{D}_{-1/F;+}^+$  et  $\mathcal{D}_{-1/F;-}^-$  notées respectivement  $\{Q_{-1/F+n}^+\}$  et  $\{Q_{-1/F+n}^-\}$ . On a donc  $(Q_{-1/F+n}^+)^{\dagger} = (Q_{-1/F+n}^-)$ . On résout l'ambiguïté liée à la racine carrée d'un nombre négatif en fixant  $\sqrt{-1} = i$ . D'après les équations (3.3.4) et (3.3.5), on en déduit les relations de commutation [68]

$$\begin{aligned}[J^0, Q_{-1/F+n}^+] &= (-1/F + n) Q_{-1/F+n}^+ \\ [J_+, Q_{-1/F+n}^+] &= \sqrt{(-2/F + n)(n + 1)} Q_{-1/F+n+1}^+\end{aligned}$$

$$\begin{aligned}
 [J_-, Q_{-1/F+n}^+] &= \sqrt{(-2/F + n - 1)n} Q_{-1/F+n-1}^+ \\
 [J^0, Q_{-1/F+n}^-] &= -(-1/F + n) Q_{-1/F+n}^- \\
 [J_+, Q_{-1/F+n}^-] &= -\left(\sqrt{(-2/F + n - 1)n}\right)^* Q_{-1/F+n-1}^- \\
 [J_-, Q_{-1/F+n}^-] &= -\left(\sqrt{(-2/F + n)(n + 1)}\right)^* Q_{-1/F+n+1}^-,
 \end{aligned} \tag{3.3.8}$$

On obtient donc une infinité de générateurs d'hélicité  $h = n - 1/F$  pour la représentation  $\mathcal{D}_{-1/F,+}^+$  et  $h = -n + 1/F$  pour  $\mathcal{D}_{-1/F,-}^-$ ; ces deux représentations ne sont pas équivalentes. Dans le cas particulier où  $F = 2$ ,  $\mathcal{D}_{-1/2}^+ \sim \mathcal{D}_{-1/2}^-$  et la représentation est de dimension 2.

Comme on a introduit des charges dans une représentation anyonique de  $SO(1, 2)$ , on aimerait pouvoir construire une extension non-triviale de l'algèbre de Poincaré. Nous notons de façon générique  $\mathcal{A}$ ,  $\mathcal{B}$  les générateurs anyoniques et bosoniques. On sait que les opérateurs du type  $\mathcal{A}$  induisent des générateurs du type  $\mathcal{B}$  en dimension un et deux. Par ailleurs, étant donné que  $\mathcal{A}$  prend une phase  $\exp(-\frac{2i\pi}{F})$  lors d'une rotation de  $2\pi$ , ses éléments admettront une graduation  $F - 1$  dans  $\mathbb{Z}_F$ , alors que les opérateurs bosoniques une graduation 0. Tout comme en dimension 1 et 2, on peut se poser la question de l'existence de charges de graduation  $-a/F$ , et on montrera que de telles charges peuvent être définies si  $a$  divise  $F$ . Nous nous pencherons sur cette alternative ultérieurement. Forts de ces résultats, on obtient

$$\begin{aligned}
 \{\mathcal{A}, \dots, \mathcal{A}\}_F &\sim \mathcal{B} \\
 [\mathcal{B}, \mathcal{A}] &\sim \mathcal{A} \\
 [\mathcal{B}, \mathcal{B}] &\sim \mathcal{B},
 \end{aligned} \tag{3.3.9}$$

la justification du produit complètement symétrique  $\{\dots\}_F$  (voir équation (1.1.4)) sera donnée par la suite.

A ce stade deux étapes, sont encore nécessaires: identifier précisément les relations entre  $\{\mathcal{A}\}$  et  $\{\mathcal{B}\}$  et ensuite s'assurer de la cohérence de l'algèbre ainsi définie. Ces deux contraintes seront en fait résolues en une seule étape, en définissant des identités de Jacobi appropriées

$$\begin{aligned}
 [[\mathcal{B}_1, \mathcal{B}_2], \mathcal{B}_3] + [[\mathcal{B}_2, \mathcal{B}_3], \mathcal{B}_1] + [[\mathcal{B}_3, \mathcal{B}_1], \mathcal{B}_2] &= 0 \\
 [[\mathcal{B}_1, \mathcal{B}_2], \mathcal{A}_3] + [[\mathcal{B}_2, \mathcal{A}_3], \mathcal{B}_1] + [[\mathcal{A}_3, \mathcal{B}_1], \mathcal{B}_2] &= 0 \\
 [\mathcal{B}, \{\mathcal{A}_1, \dots, \mathcal{A}_F\}_F] &= \{[\mathcal{B}, \mathcal{A}_1], \dots, \mathcal{A}_F\}_F + \dots + \{\mathcal{A}_1, \dots, [\mathcal{B}, \mathcal{A}_F]\}_F \\
 \sum_{i=1}^{F+1} [\mathcal{A}_i, \{\mathcal{A}_1, \dots, \mathcal{A}_{i-1}, \mathcal{A}_{i+1}, \dots, \mathcal{A}_{F+1}\}_F] &= 0.
 \end{aligned} \tag{3.3.10}$$

Les deux premières identités sont identiques à celles obtenues pour les superalgèbres de Lie, la troisième est dérivée en utilisant la règle de Leibniz avec  $\mathcal{B}$  et  $\{\dots\}$  et la dernière est donnée par un calcul direct. Vu la structure particulière de l'algèbre, il n'y a pas d'autre identités.

Pour déterminer le reste de la structure engendrée par  $\{\mathcal{A}, \mathcal{B}\}$  on postule la forme la plus générale pour la première équation de (3.3.9)

$$[[\mathcal{A}, \dots, \mathcal{A}]]_F = \alpha.P + \beta.J,$$

où  $[[\dots]]_F$  représente une combinaison de produits symétriques  $\{\dots\}_F$  d'ordre  $F$  à déterminer.

A partir de la première identité de Jacobi avec  $\mathcal{B} = P$ , en utilisant  $[P, Q] = 0$ , on montre que  $\beta = 0$ , alors que la même identité avec  $\mathcal{B} = J_0$  nous indique que les deux membres de l'équation ont la même hélicité. Enfin, l'action des opérateurs  $J_{\pm}$  impose que l'on ait [68]

$$\begin{aligned} \left\{ Q_{-\frac{1}{F}}^{\pm}, \dots, Q_{-\frac{1}{F}}^{\pm} \right\}_F &= \left( Q_{-\frac{1}{F}}^{\pm} \right)^F = P_{\mp} \\ \left\{ Q_{-\frac{1}{F}}^{\pm}, \dots, Q_{-\frac{1}{F}}^{\pm}, Q_{1-\frac{1}{F}}^{\pm} \right\}_F &= \pm i \sqrt{\frac{2}{F}} P^0 \\ -(F-1) \left\{ Q_{-\frac{1}{F}}^{\pm}, \dots, Q_{-\frac{1}{F}}^{\pm}, Q_{1-\frac{1}{F}}^{\pm}, Q_{1-\frac{1}{F}}^{\pm} \right\}_F &\pm i \sqrt{F-2} \left\{ Q_{-\frac{1}{F}}^{\pm}, \dots, Q_{-\frac{1}{F}}^{\pm}, Q_{2-\frac{1}{F}}^{\pm} \right\}_F = P_{\pm} \\ \left[ J_{\pm}, \left[ J_{\pm}, \left[ J_{\pm}, \left( Q_{-\frac{1}{F}}^{\pm} \right)^F \right] \right] \right] &= 0 \\ &\vdots \\ \left[ J_{\pm}, \left[ J_{\pm}, \left[ J_{\pm}, \dots \left[ \left( Q_{-\frac{1}{F}}^{\pm} \right)^F \right] \right] \right] \dots \right] &= 0 \\ &\vdots \end{aligned} \quad (3.3.11)$$

( $P_{\pm} = P^1 \mp iP^2$ ). Partant d'un vecteur primitif  $\left( Q_{-1/F}^{\pm} \right)^F$  ( $\left[ J_{\mp}, \left( Q_{-1/F}^{\pm} \right)^F \right] = 0$ ), que l'on identifie avec  $P_{\mp}$ , on construit la représentation vectorielle à partir de  $\mathcal{D}_{-1/F; \pm}^{\pm}$  par action successive de  $J_{\pm}$ . Si on suppose que  $\left[ J_{+}, \left[ J_{+}, \left[ J_{+}, \left( Q_{-\frac{1}{F}}^{+} \right)^F \right] \right] \right] \neq 0$ , c'est-à-dire que partant d'un vide d'hélicité  $h = -1$ , on peut obtenir un état d'hélicité  $h = 2$ , utilisant les méthodes usuelles de théorie des groupes, on arrive à une contradiction. En effet, une telle hypothèse conduirait à  $\left[ J_{\mp}, \left( Q_{-\frac{1}{F}}^{\pm} \right)^F \right] \neq 0$ , contredisant le fait que  $\left( Q_{-\frac{1}{F}}^{\pm} \right)^F$  est un vecteur primitif (voir (3.3.8)).

Les relations (3.3.11) nous montrent explicitement que nous avons construit une application d'un sous-espace de  $\mathcal{S}^F(\mathcal{D}_{-\frac{1}{F}; \pm}^{\pm})$  (le produit symétrique d'ordre  $F$ ) dans  $\mathcal{D}_{-1}$

$$\mathcal{D}_{-1} = \left\{ \left( Q_{-\frac{1}{F}}^\pm \right)^F, \left[ J_\pm, \left( Q_{-\frac{1}{F}}^\pm \right)^F \right], \left[ J_\pm, \left[ J_\pm, \left( Q_{-\frac{1}{F}}^\pm \right)^F \right] \right] \right\} \equiv \{P_0, P_\pm\}.$$

Si maintenant on suppose que l'on puisse décomposer la troisième équation de (3.3.11) en deux termes indépendants, on peut montrer, en utilisant les identités de Jacobi, que l'on obtient une contradiction car on débouche sur une incohérence. Ainsi donc, au fur et à mesure que l'hélicité du membre de droite va augmenter, on aura de plus en plus de termes dans la somme. Le fait que l'on obtienne des produits symétriques est tout simplement une conséquence de la règle de Leibniz. La raison de ce comportement s'explique: on veut construire à partir de  $\mathcal{S}^F \left\{ \mathcal{D}_{-1/F;\pm}^\pm \right\}$  (le produit symétrique d'ordre  $F$ ) la représentation vectorielle de  $SO(1,2)$ . La première est de dimension infinie et la seconde de dimension 3. En fait, (3.3.11) ne représente que  $\mathcal{S}^F \left\{ \mathcal{D}_{-1/F;\pm}^\pm \right\} \sim \mathcal{D}_{-1} \oplus \dots$ . Cependant, on observe qu'il est impossible de trouver une décomposition de  $\mathcal{S}^F \left( \mathcal{D}_{-1/F;\pm}^\pm \right)$

$$\mathcal{S}^F \left( \mathcal{D}_{-1/F;\pm}^\pm \right) = \mathcal{D}_{-1} \oplus V, \quad (3.3.12)$$

pour laquelle  $V$  soit stable par action de  $SO(1,2)$ . En effet, si tel était le cas, nous pourrions mettre en évidence une projection  $SO(1,2)$ -équivariante

$$\pi : \mathcal{S}^F \left( \mathcal{D}_{-1/F;\pm}^\pm \right) \longrightarrow \mathcal{D}_{-1}. \quad (3.3.13)$$

De ce fait, les vecteurs  $X^\pm = \pi \left( \mathcal{S}^F \left( Q_{-1/F}^\pm, \dots, Q_{-1/F}^\pm, Q_{3-1/F}^\pm \right) \right) \in \mathcal{D}_{-1}$  satisferaient

$$[J_\mp, [J_\mp, [J_\mp, X^\pm]]] = \pm i \sqrt{2/F} \sqrt{2(1-2/F)} \sqrt{3(2-2/F)} P_- \neq 0,$$

ce qui est en contradiction avec le fait que  $J_\pm^3$  est représenté par zéro pour la représentation vectorielle.

Si  $F = 2$ , on obtient  $\mathcal{S}^2 \left\{ \mathcal{D}_{-1/2} \right\} = \mathcal{D}_{-1}$  et une telle extension de l'algèbre de Poincaré constitue l'extension supersymétrique que l'on peut exprimer en termes de matrices de Pauli.

### 3.3.3 Propriétés

#### 3.3.3.1. Structure de l'algèbre

Il est également possible, lorsque l'ordre de la supersymétrie fractionnaire n'est pas un nombre premier ( $F' = fF$ ), de construire une extension de FSUSY d'ordre  $F$  à partir d'une extension d'ordre  $fF$ . En reprenant le langage et les notations que nous avons utilisées, on construit une identification  $\mathcal{S}^f \left\{ \mathcal{D}_{-1/fF;\pm}^\pm \right\} \sim \mathcal{D}_{-1/F;\pm}^\pm \oplus \dots$ . Bien entendu, les restrictions énoncées resteront vraies

$$\begin{aligned}
(Q_{-1/fF}^\pm)^f &= Q_{-1/F}^\pm \\
&\vdots \\
\left[ J_{\mp}, \dots, \left[ J_{\pm}, (Q_{-1/fF}^\pm)^f \right] \dots \right] &\sim Q_{-1/F+n}^\pm \\
&\vdots
\end{aligned} \tag{3.3.14}$$

Toutes les propriétés mentionnées lors du plongement de  $\mathcal{S}^F \left\{ \mathcal{D}_{-1/F;\pm}^\pm \right\}$  dans la représentation vectorielle restent vraies. Si en outre  $F$  est pair et  $f = F/2$ , (3.3.14) conduit aux charges de la supersymétrie et on obtient une représentation de dimension finie; donc comme précédemment, le premier membre de l'équation s'annule (après l'application de l'opérateur  $J_\pm$  plus de deux fois).

L'existence de sous-symétries peut être mise en relation avec les résultats de [129] où une supersymétrie entre particules de spin  $1/4$  et  $3/4$  (semions) a été mise en évidence.

### 3.3.3.2. Extensions avec charges centrales

Tout comme dans les théories supersymétriques usuelles, il est possible de construire des extensions de l'algèbre de Poincaré avec  $N$  séries de supercharges dans la représentation  $\mathcal{D}_{-1/F;\pm}^\pm$  de  $SO(1,2)$ . On peut montrer que l'on obtient des extensions avec des charges centrales.

### 3.3.3.3. Propriétés générales

Dans la prochaine section, nous allons rechercher les représentations de FSUSY. Cependant, on peut déjà tirer un certain nombre de conclusions. Il est facile de se rendre compte que  $P^2$  est un opérateur de Casimir donc tous les états apparaissant dans une représentation irréductible auront la même masse. Ensuite, si on introduit un opérateur nombre anyonique  $\mathcal{N}_A$  satisfaisant  $\exp(\mathcal{N}_A)Q_s = q^s Q_s \exp(\mathcal{N}_A)$ , par une technique analogue à celle utilisée en supersymétrie (en montrant que  $\text{tr} \left( \exp(2i\pi\mathcal{N}_A) \left\{ Q_{-\frac{1}{F}}^+, \dots, Q_{-\frac{1}{F}}^+, Q_{1-\frac{1}{F}}^+ \right\}_F \right) = 0$ ), on obtient que  $\text{tr}(\exp(\mathcal{N}_A)) = 0$ . Ceci nous permet de conclure que chaque représentation irréductible contient  $F$  statistiques différentes  $(\lambda, \lambda - 1/F, \dots, \lambda - (F - 1/F)) - \lambda$  sera spécifié ultérieurement– et que le nombre d'états d'une statistique donnée est indépendant de sa statistique; ceci revient à dire que la dimension de  $E_{\lambda-a/F}$  ne dépend pas de  $a$  ( $E_{\lambda-a/F}$  étant l'espace des états de statistique  $\lambda - a/F$ ). Un tel résultat a été obtenu en dimension deux par

Saidi *et al* [67]. Il faut cependant mentionner que la trace doit être construite avec précaution car nous avons affaire à des algèbres de dimension infinie.

### 3.3.4 Représentations de l'algèbre

Pour des raisons de commodité, nous allons rechercher les représentations de l'algèbre dans le cas le plus simple. Nous allons choisir une série de charges que nous fixons dans la représentation  $\mathcal{D}_{-1/F;\pm}^{\pm}$ . Nous allons voir que l'unitarité de la représentation impose que l'on prenne des charges dans les représentations  $\mathcal{D}_{-1/F;+}^+$  et  $\mathcal{D}_{-1/F;-}^-$ .

Les représentations massives sont obtenues en étudiant la sous-algèbre préservant l'impulsion au repos  $p^\alpha = (m, 0, 0)$ . De ce fait, les états à une particule seront déterminés par la valeur propre associée aux rotations dans le plan  $(x^1, x^2)$ , c'est-à-dire l'hélicité. Si on regarde la structure du second membre de (3.3.11), on observe que les relations invoquant les charges  $Q_{-1/F+1+n}^+, n > 0$  admettent toujours un second membre nul. Ceci nous suggère fortement de représenter ces charges par zéro. Ce faisant, après un choix de normalisation approprié, on obtient

$$\begin{aligned} \left\{ Q_{-\frac{1}{F}}^+, \dots, Q_{-\frac{1}{F}}^+, Q_{1-\frac{1}{F}}^+ \right\}_F &= 1/F \\ \left\{ Q_{s_1}^+, \dots, Q_{s_F}^+ \right\}_F &= 0, \quad i_1, \dots, i_F = -1/F, 1 - 1/F \quad \text{and,} \quad i_1 + \dots + i_F \neq 0. \end{aligned} \quad (3.3.15)$$

Si on se reporte au chapitre 1, on voit que  $Q_{-1/F}^+$  et  $Q_{1-1/F}^+$  engendrent l'algèbre de Clifford du polynôme  $x^{F-1}y$ , justifiant a posteriori notre choix  $Q_{-1/F+1+n} = 0, n > 0$ . Tout comme en dimension 1 et 2, l'algèbre FSUSY est associée à l'algèbre de Clifford de  $x^{F-1}y$ . De ce fait, pour obtenir les représentations de (3.3.1), (3.3.8) et (3.3.11), il suffit de connaître celles de  $\mathcal{C}_{x^{F-1}y}$  [68]. De telles représentations ont été mises en évidence dans la section (1.1.3). On voit donc apparaître une certaine unité dans cette série d'extensions algébriques et on peut comparer l'étude de ses représentations à celles dérivées en supersymétrie [130]. On obtient donc

$$Q_{-\frac{1}{F}}^+ = \begin{pmatrix} 0 & 0 & 0 & \dots & 0 & 0 \\ 1 & 0 & 0 & \dots & 0 & 0 \\ 0 & 1 & 0 & \dots & 0 & 0 \\ \vdots & \vdots & & \ddots & \ddots & \vdots \\ 0 & 0 & \dots & 0 & 1 & 0 \end{pmatrix} \quad \text{et} \quad Q_{1-\frac{1}{F}}^+ = \begin{pmatrix} 0 & 0 & 0 & \dots & 0 & 1 \\ 0 & 0 & 0 & \dots & 0 & 0 \\ 0 & 0 & 0 & \dots & 0 & 0 \\ \vdots & \vdots & & \ddots & \ddots & \vdots \\ 0 & 0 & 0 & \dots & 0 & 0 \end{pmatrix}. \quad (3.3.16)$$

Cependant, les matrices obtenues ci-dessus ne sont pas appropriées pour mettre en évidence que la représentation de l'algèbre FSUSY est unitaire. Autrement dit, elles ne



conduisent pas à des relations quadratiques simples entre  $Q^+$  et  $(Q^+)^\dagger = Q^-$ . De ce fait, il est préférable de choisir d'autres représentations matricielles (reliées à (3.3.16) par un changement d'échelle)

$$Q_{-\frac{1}{F}}^+ = \begin{pmatrix} \begin{pmatrix} 0 & 0 & 0 & \dots & 0 & 0 \\ \sqrt{[1]} & 0 & 0 & \dots & 0 & 0 \\ 0 & \sqrt{[2]} & 0 & \dots & 0 & 0 \\ \vdots & \vdots & \vdots & \ddots & \vdots & \vdots \\ 0 & 0 & \dots & 0 & \sqrt{[F-1]} & 0 \end{pmatrix} \\ \begin{pmatrix} 0 & 0 & 0 & \dots & 0 & 0 \\ \sqrt{1(F-1)} & 0 & 0 & \dots & 0 & 0 \\ 0 & \sqrt{2(F-2)} & 0 & \dots & 0 & 0 \\ \vdots & \vdots & \vdots & \ddots & \vdots & \vdots \\ 0 & 0 & \dots & 0 & \sqrt{(F-1)1} & 0 \end{pmatrix} \end{pmatrix} \quad Q_{1-\frac{1}{F}}^+ = \begin{pmatrix} \begin{pmatrix} 0 & 0 & 0 & \dots & 0 & \{\sqrt{[F-1]!}\}^{-1} \\ 0 & 0 & 0 & \dots & 0 & 0 \\ 0 & 0 & 0 & \dots & 0 & 0 \\ \vdots & \vdots & \vdots & \ddots & \vdots & \vdots \\ 0 & 0 & 0 & \dots & 0 & 0 \end{pmatrix} \\ \begin{pmatrix} 0 & 0 & 0 & \dots & 0 & 1/(F-1)! \\ 0 & 0 & 0 & \dots & 0 & 0 \\ 0 & 0 & 0 & \dots & 0 & 0 \\ \vdots & \vdots & \vdots & \ddots & \vdots & \vdots \\ 0 & 0 & 0 & \dots & 0 & 0 \end{pmatrix} \end{pmatrix} \quad (3.3.17)$$

Il est clair que les trois séries de matrices (3.3.16,3.3.17) sont reliées par un changement de base (ou un changement d'échelle). A partir de  $Q^+$ , on construit alors  $Q^-$

$$\begin{aligned} Q_{-\frac{1}{F}}^- &= \left(Q_{-\frac{1}{F}}^+\right)^\dagger \\ Q_{1-\frac{1}{F}}^- &= \left(Q_{1-\frac{1}{F}}^+\right)^\dagger \end{aligned} \quad (3.3.18)$$

On observe alors deux conséquences de la représentation obtenue:

1. Un calcul direct nous prouve que les matrices  $Q_{-1/F}^+$  et  $Q_{-1/F}^-$  satisfont des relations quadratiques
  - (a) Avec le premier choix proposé en (3.3.17), on montre que l'on obtient l'algèbre des  $q$ -oscillateurs

$$\begin{aligned} Q_{-1/F}^- Q_{-1/F}^+ - q^{\pm 1/2} Q_{-1/F}^+ Q_{-1/F}^- &= q^{\mp N/2} \\ [N, Q_{-1/F}^+] &= Q_{-1/F}^+ \\ [N, Q_{-1/F}^-] &= -Q_{-1/F}^-, \end{aligned} \quad (3.3.19)$$

et  $N = \text{diag}(0, 1, \dots, F-1)$  l'opérateur nombre.

- (b) Alors qu'avec le second, on obtient

$$\begin{aligned} [Q_{-1/F}^-, Q_{-1/F}^+] &= N = \text{diag}(F-1, F-3, \dots, 1-F) \\ [N, Q_{-1/F}^\pm] &= \mp 2Q_{-1/F}^\pm, \end{aligned} \quad (3.3.20)$$

et  $Q^\pm$  engendrent la représentation de dimension  $F$  de  $SL(2, \mathbb{R})$ .

Parmi ces séries de matrices, nous n'avons pas pu trouver d'argument permettant de choisir l'une des séries plutôt qu'une autre. Autrement, dit nous ne sommes pas parvenus à mettre en évidence de relations quadratiques *intrinsèques* (indépendamment de toute réalisation matricielle) de l'algèbre FSUSY.

Les relations quadratiques (3.3.19) ou (3.3.20) nous permettent de montrer que la représentation de l'algèbre FSUSY est unitaire. C'est-à-dire que si l'on définit un vide  $|0 \rangle$  annihilé par  $Q_{-1/F}^-$  (voir ci-après), les états  $(Q_{-1/F}^+)^n |0 \rangle$ ,  $n = 0, \dots, F - 1$  forment une base orthonormée de l'espace de Hilbert.

2. Deuxièmement, nous avons

$$Q_{1-1/F}^+ = \frac{1}{[F-1]!} (Q_{-1/F}^-)^{F-1};$$

dans le cas des  $q$ -oscillateurs et

$$Q_{1-1/F}^+ = \frac{1}{((F-1)!)^2} (Q_{-1/F}^-)^{F-1}$$

pour  $SL(2, \mathbb{R})$ . De ce fait la représentation est construite uniquement avec les matrices  $Q_{-1/F}^\pm$ . On peut se poser la question des autres choix possibles, pour  $Q_{1-1/F}^+$ , analogues à la matrice  $Y$  pour  $F = 3$  (voir section (1.3.1)). Etant donné que  $Q_{1-1/F}^+$  augmente l'hélicité de  $1 - 1/F$  et que  $Q_{-1/F}^+$  l'augmente de  $-1/F$ , l'unique choix compatible avec la structure du groupe de Poincaré est celui proposé. Autrement dit, le fait d'imposer que les matrices  $Q$  soient dans une représentation du petit groupe sélectionne automatiquement la représentation la plus simple parmi toutes les représentations de  $\mathcal{C}_{x^{F-1}y}$ .

Pour construire la représentation de FSUSY, on choisit un vide  $\Omega_\lambda$  de spin  $\lambda$ , ce qui donne, d'après les résultats de Jackiw et Nair [124], plus le fait que les représentations de  $SO(2)$  sont réelles

$$\Omega_\lambda = \Omega_\lambda^+ \oplus \Omega_{-\lambda}^-, \tag{3.3.21}$$

c'est-à-dire que nous devons considérer un vide d'hélicité  $h = \lambda$  et d'énergie positive ainsi qu'un vide d'hélicité  $h = -\lambda$  et d'énergie négative. Ces deux états sont  $CPT$ -conjugués.

Le vide  $\Omega_\lambda^+$  est annihilé par  $Q_{-1/F}^-$ , les divers états sont engendrés par l'action successive de  $Q_{-1/F}^+$ . L'invariance par conjugaison  $CPT$  nous force à choisir  $Q_{-1/F}^+ \Omega_\lambda^- = 0$ . On obtient donc la représentation de l'algèbre [68] (avec les normalisations des  $q$ -oscillateurs)

states	helicity	states	helicity
$\Omega_\lambda^+$	$\lambda$	$\Omega_{-\lambda}^-$	$-\lambda$
$Q_{-1/F}^+ \Omega_\lambda^+$	$\lambda - 1/F$	$Q_{-1/F}^- \Omega_{-\lambda}^-$	$-\lambda + 1/F$
$\vdots$			$\vdots$
$\frac{(Q_{-1/F}^+)^a}{\sqrt{[a]!}} \Omega_\lambda^+$	$\lambda - a/F$	$\frac{(Q_{-1/F}^-)^a}{\sqrt{[a]!}} \Omega_{-\lambda}^-$	$-\lambda + a/F$
$\vdots$			$\vdots$
$\frac{(Q_{-1/F}^+)^{F-1}}{\sqrt{[F-1]!}} \Omega_\lambda^+$	$\lambda - (F-1)/F$	$\frac{(Q_{-1/F}^-)^{F-1}}{\sqrt{[F-1]!}} \Omega_{-\lambda}^-$	$-\lambda + (F-1)/F$

On illustre explicitement la propriété qui affirme que l'on a autant d'états de spin 0, de spin  $1/F \dots$  et de spin  $(F-1)/F$  (modulo  $\lambda$ , le spin du vide). Les états d'énergie positive et d'hélicité  $(\lambda, \lambda - \frac{1}{F}, \dots, \lambda - \frac{F-1}{F})$ , sont  $CPT$ -conjugués des états d'énergie négative et d'hélicité  $(-\lambda, -\lambda + \frac{1}{F}, \dots, -\lambda + \frac{F-1}{F})$ . Outre le fait que la représentation est unitaire, le second choix pour les matrices  $Q$  (3.3.17) permet de conclure que la représentation de la FSUSY est dans une représentation de dimension  $F$  de  $SU(2)$ .

Une telle méthode, lorsque l'on considère un nombre arbitraire  $N$  de représentations  $\mathcal{D}_{-1/F;\pm}^\pm$ , est transposable. Dans le cas le plus simple <sup>4</sup>, et en l'absence de charge centrale, on doit mettre en évidence les représentations de l'algèbre de Clifford du polynôme  $x_1^{F-1}y_1 + \dots + x_N^{F-1}y_N$  (ceci renforce encore l'analogie avec la supersymétrie [130]). Un choix probable consisterait à prendre  $N$  séries de matrices  $q$ -mutantes les unes par rapport aux autres (voir chapitre 1).

Enfin, notons que lorsque  $F$  n'est pas premier, comme en dimension 1 et 2, on peut décomposer le supermultiplet en sous-supermultiplets (voir eq.(3.1.16)).

### 3.3.5 Perspectives

Nous avons été capables de mettre en évidence les représentations unitaires de l'algèbre FSUSY en  $3D$ . Est-il possible d'exhiber des représentations hors couche de masse et de définir des champs auxiliaires (comme en dimension 2)? Dans cette voie, est-il possible de relier les représentations de  $SO(1,2)$  à l'approche exploitée dans la section (3.1), c'est-à-dire profiter de l'existence de représentations de dimension infinie pour l'algèbre de Clifford du

<sup>4</sup>Il n'est pas toujours possible d'écrire  $\{Q_{-1/F}^{i_1}, \dots, Q_{-1/F}^{i_F}\} = \delta^{i_1 \dots i_F} P_-$  où  $Q^i$  correspond aux différentes familles de supercharges. En général, à la différence des théories supersymétriques usuelles, le coefficient multiplicatif de  $P_-$  est un tenseur symétrique d'ordre  $F$  non-forcément équivalent à  $\delta^{i_1 \dots i_F}$ , le tenseur de Kronecker généralisé.

polynôme  $x_0^2 y_0 - x_1^2 y_1 - x_2^2 y_2$ , de telle sorte que les variables de Grassmann généralisées apparaissant soient susceptibles de décrire les degrés de liberté (infinis) de spin? Comme étape ultérieure dans la compréhension, on pourrait vouloir définir un modèle de Wess-Zumino. Comme point de départ, on peut prendre les lagrangiens proposés dans [124, 125] ou éventuellement l'équation (3.1.33) après avoir montré sa correspondance avec un anyon. On peut également se poser la question suivante: est-il possible de jauger la FSUSY en  $3D$ , et de définir des représentations non-massives de (3.3.1), (3.3.8) et (3.3.11)? Et à plus long terme, on peut s'interroger sur la pertinence d'un tel formalisme et de ses relations avec la physique à 3 dimensions.

Pour conclure cette étude générale de la FSUSY en dimension 1, 2, 3, il serait intéressant de relier ces résultats à ceux de [98] où il a été montré que la FSUSY en dimension 1 est un cas particulier de la ligne quantique. Il serait également intéressant de construire un formalisme général, analogue aux algèbres de Lie  $\mathbb{Z}_2$ -graduées, adapté pour  $F$  arbitraire.



# Conclusion

Nous avons montré, tout au long de ce travail, comment une classe particulière d’extensions d’algèbres de Clifford et de Grassmann permettait de munir naturellement une structure non-commutative d’une différentielle ou, ce qui revient au même, de définir des  $q$ -oscillateurs. Profitant des propriétés spécifiques des espaces de dimension un, deux ou trois, nous avons construit une extension non-triviale des théories supersymétriques. Celles-ci ont ensuite engendré une théorie des champs appropriée. Pour chacune des dimensions considérées ( $D = 1, 2, 3$ ), nous avons mis en avant une série de problèmes non résolus, ce qui nous a conduit à envisager un certain nombre de perspectives.

Mentionnons celles qui nous paraissent les plus prometteuses. Devant la richesse des théories conformes, une connexion de la FSUSY, dans sa présente version ou pas, avec les systèmes intégrables, nous semble riche de perspectives. Par ailleurs, en marge des théories sur les  $q$ -oscillateurs, s’est développée l’étude des statistiques  $q$ -déformées. Devant la profonde similitude des relations de  $q$ -mutation entre les oscillateurs et de celles proposées par Greenberg pour les quons [87], on peut envisager une étude de la FSUSY en relation avec ce nouveau type de statistique. Il serait également intéressant de pouvoir relier la FSUSY en dimension 1 et 3, en relation avec une approche basée sur la théorie des groupes pour la description des états de spin fractionnaire ou les anyons. A plus long terme, on pourrait étudier les relations de la FSUSY avec la physique en  $3d$ . Tout au long de cette étude sur les algèbres de Clifford et la FSUSY, nous avons perçu des points communs avec les groupes quantiques, résultats qui ont été renforcés par les travaux de Azcarraga *et al* [98]. Il serait peut-être souhaitable d’envisager une approche de la FSUSY sous l’angle des groupes quantiques, de façon à dégager une assise et un éclairage différent (et unitaire ?). Au cours du dernier chapitre, on a relevé deux problèmes, résolus partiellement et certainement corrélés: celui du statut des générateurs et de la construction d’une théorie invariante locale. En effet, bien que l’algèbre fondamentale n’admette pas de générateurs de toutes les graduations, ce n’est pas le cas au niveau de ses représentations, où les champs de toutes les graduations sont présents. Cette particularité a compliqué quelque peu la construction d’une théorie présentant une invariance locale; il serait vivement souhaitable d’étudier l’extension aux structures non-quadratiques des méthodes conduisant à des symétries locales.

La structure algébrique de la FSUSY est principalement basée sur des crochets symétriques d'ordre  $F$  se refermant sur des champs bosoniques, structure présentant des similitudes avec la définition de l'algèbre de Clifford d'un polynôme (voir eq. (1.1.4)). Or nous avons, par le biais de représentations non-fidèles, remplacé, pour l'étude de l'algèbre de Clifford d'un polynôme, les relations de fermeture d'ordre  $F$  par des relations quadratiques. Si on applique le même raisonnement à (3.3.11), on pourrait d'une part, définir des opérateurs de toutes les graduations, et d'autre part, introduire des relations de commutation analogues à celles établies pour les algèbres de Lie généralisées [56] et de ce fait, on pourrait alors étudier les relations entre la FSUSY et les résultats de Wills Toro [93].

L'approche que nous avons suivie est très spécifique car nous avons considéré une représentation non-fidèle d'un polynôme particulier ( $x^{F-1}y$ ). A la différence des théories quadratiques où les polynômes sont tous équivalents, dès que le degré est supérieur à deux, ce n'est plus le cas. On peut donc se demander si, à chaque famille de polynômes et pour chaque représentation de son algèbre de Clifford associée, on peut construire une extension différente des théories supersymétriques. A titre d'illustration, la parasupersymétrie [95] ou les considérations des références [94] sont basées sur d'autres représentations de l'algèbre  $n$ -extérieure que les variables de Grassmann généralisées. Il semble donc qu'une classification des diverses familles de polynômes, et des représentations de son algèbre de Clifford associée, permettrait de mettre un peu d'ordre dans les extensions de SUSY envisagées. A cet égard, mentionnons les travaux de Durand [59] où une connexion entre les théories FSUSY et PSUSY est mise en évidence.

On voit donc que d'un point de vue mathématique et physique, l'étude des théories FSUSY, ou de ses homologues, est riche de perspectives, et que ceci permettra d'élucider un certain nombre de problèmes fondamentaux qui ne sont toujours pas résolus.

# Bibliography

- [1] N. Roby, C. R. Acad. Sc. Paris **268** (1969) 484.
- [2] Ph. Revoy, C. R. Acad. Sc. Paris **284** (1977) 985.
- [3] L. N. Childs, Lin. and Mult. Alg. **5** (1978) 267.
- [4] Ph. Revoy, Commun. in Alg. **11** (1983) 1877.
- [5] D. H. Haile, Amer. J. Math. **106** (1984) 1269.
- [6] M. Van den Bergh, J. Alg. **109** (1987) 172.
- [7] D. H. Haile et S. Tesser, J. Alg. **116** (1988) 372.
- [8] Ph. Revoy, Adv. Appl. Cliff. Alg. **3** (1993) 39.
- [9] N. Heerema, Duke Math. J. **21** (1954) 423.
- [10] N. Roby, Bull. Sc. Math. **94** (1970) 49.
- [11] Ph. Revoy, J. Alg. **46** (1977) 268.
- [12] N. Fleury et M. Rausch de Traubenberg, J. Math. Phys. **33** (1992) 3556; N. Fleury et M. Rausch de Traubenberg, Adv. Appl. Cliff. Alg. **4** (1994) 123.
- [13] K. Morinaga et T. Nōno, J. of Sc. of Hiroshima Univ. Ser. **A16** (1952) 13.
- [14] K. Yamazaki, J. Fac. Tokyo Sect. 1 **10** (1964) 147.
- [15] A. O. Morris, Quart. J. Math., Oxford **18** (1967) 7; A. O. Morris, Quart. J. Math., Oxford **19** (1968) 289.
- [16] I. Popovici et C. Ghéorghe, C.R. Acad. Sc. Paris **262** (1966) 682; I. Popovici et C. Ghéorghe, Rev. Roum. Math. Pures et Appl. **11** (1966) 989.
- [17] E. Thomas, Glasgow Math. J. **15** (1974) 74; F. W. Long, J. London Math. Soc. **2** (1976) 438.
- [18] A. K. Kwasniewski, J. Math. Phys. **26** (1985) 2234.
- [19] Edité par A. Ramakrishnan, *Proceedings of the Conference on Clifford Algebra, its Generalization an Application* ( Mathscience, Madras, 1971).
- [20] M. F. Atiyah, R. Bott et A. Shapiro, Topology **3**, Suppl. 1 (1964) 3.



- [21] R. Brauer et H. Weyl, *Am. J. Math.* **57** (1937) 425.
- [22] M. Omote et S. Kamefuchi, *Lett. Nuovo Cim.* **24** (1979) 345.
- [23] H. S. Green, *Phys. Rev.* **90** (1952) 270.
- [24] Y. Onuki et S. Kamefuchi, *Quantum Field Theory and Parastatistics* (Spinger Verlag, 1982).
- [25] P. J. McCarthy, *Lett. Math. Phys.* **4** (1980) 39.
- [26] A. Ramakrishnan, *L-matrix Theory or Grammar of Dirac Matrices* (Tata McGraw-Hill, New-Delhi, 1972).
- [27] N. Fleury, M. Rausch de Traubenberg et R. M. Yamaleev, *J. Math. Anal. and Appl.* **180** (1993) 431.
- [28] N. Fleury, M. Rausch de Traubenberg et R. M. Yamaleev, *J. Math. Anal. and Appl.* **191** (1995) 118.
- [29] J. L. Gervais, *Phys. Lett.* **B201** (1988) 306.
- [30] A. Ederlyi, *Higher Transcendental Functions*, pp.212-217 (McGraw-Hill, New-York 1966).
- [31] Jan G. Mikusinski, *Ann. Soc. Polon Math.* **21** (1948) 46; M. Théodore Oniga, *C. R. Acad. Sci.* **227** (1948) 1138; M. L. Bruwier, *Mathesis* **58** (1949) 216.
- [32] M. L. Bruwier, *Bull. Soc. Roy. Sci. Liège* **18** (1949) 169.
- [33] F. Brackx, R. Delanghe et F. Sommen, *Clifford Analysis*, Recherches, notes in Mathematics, vol. 76 (Pitman, Boston, 1982).
- [34] A. K. Kwasniewski, *Rep. Math. Phys.* **22** (1985) 133.
- [35] J. Horváth, *Contributions to Differential Equations* **1** (1960) 39.
- [36] B. Chabat, *Introduction à l'analyse complexe*, tome 2 (ed. Mir Moscou 1990).
- [37] C. Itzykson et J. M. Drouffe, *Théorie Statistiques des Champs* (Savoirs Actuels, Interéditions du CNRS, Paris, 1989).
- [38] M. B. Green, J. H. Schwarz et E. Witten, *Superstring Theory* (Cambridge Univ. Press., London/New-York, 1987).
- [39] V. Tapia, *Int. J. Mod. Phys.* **D2** (1993) 413.
- [40] N. Fleury, M. Rausch de Traubenberg et R. M. Yamaleev, *Int. J. Theor. Phys.* **32** (1993) 503.
- [41] D. Finkelstein, *Phys. Rev. Lett.* **56** (1986) 1532; D. Finkelstein, S. R. Finkelstein, C. Holm, *Int. J. Theor. Phys.* **25** (1986) 441.
- [42] M. J. Duff, B. E. Nilsson et C. N. Pope, *Phys. Rep.* **131** (1986) 1.

- [43] H. Weyl, *The Theory of Groups and Quantum Mechanics* (Réimprimer par Dover, New York, 1950) pp.272-280.
- [44] J. Schwinger, *Proc. Nat. Acad. of Sc.* **46** (1960) 570.
- [45] T. S. Santhanam et A. R. Tekumalla, *Found. Phys.* **6** (1976) 583; R. Jagannathan et T. S. Santhanam, *Int. J. Theor. Phys.* **20** (1981) 755.
- [46] A. K. Kwasniewski, *J. Phys.* **A19** (1986) 1469.
- [47] N. Fleury, M. Rausch de Traubenberg et R. M. Yamaleev, *Adv. Appl. Cliff. Alg.* **3** (1993) 7.
- [48] J. Wess et J. Bagger, *Supersymmetry and Supergravity*, (Princeton Series in Physics, Princeton Univ. Press 1983, Princeton, New-York); P. West, *Introduction to Supersymmetry and Supergravity* (World Scientific, 1986, Singapore).
- [49] V. Kac, *Func. Anal.* **9** (1975) 263; V. Kac, *Comm. Math. Phys.* **53** (1977) 31; W. Nahm, M. Scheunert, *J. Math. Phys.* **17** (1976) 868.
- [50] A. O. Barut et R. Raczka, *Theory of Group Representation and Applications* (World Scientific, Sigapore, 1986).
- [51] A. Nowicki, *Fortschr. Phys.* **34** (1986) 649.
- [52] L. Baulieu et E. G. Floratos, *Phys. Lett.* **B258** (1991) 171.
- [53] A. T. Filipov, A. P. Isaev et A. B. Kurdikov, *Mod. Phys. Lett.* **A7** (1992) 2129; A. T. Filipov, A. P. Isaev et A. B. Kurdikov, *Theor. Math. Phys.* **94** (1993) 150.
- [54] L. C. Biedenharn, *J. Phys.* **A22** (1989) L873; A. J. Macfarlane, *J. Phys.* **A22** (1989) 4581.
- [55] J. Fuchs, *Affine Lie Algebras, Quantum Groups: an introduction with applications in conformal field theory* (Cambdridge Univ. Press., Cambridge, 1992).
- [56] V. Rittenberg et D. Wyler, *Nucl. Phys.* **B139** (1978) 189; M. Scheunert, *J. Math. Phys.* **20** (1979) 712.
- [57] M. Rausch de Traubenberg, *Adv. Appl. Cliff. Alg.* **4** (1994) 131.
- [58] C. Ahn, D. Bernard and A. Leclair, *Nucl. Phys.* **B346** (1990) 409.
- [59] S. Durand, *Mod. Phys. Lett* **A7** (1992) 2905.
- [60] J. L. Matheus-Valle and Marco A. R. Monteiro, *Mod. Phys. Lett.* **A7** (1992) 3023.
- [61] J. A. de Azcárraga and A. J. Macfarlane, *J. Math. Phys.* **37** (1996) 1115.
- [62] N. Fleury and M. Rausch de Traubenberg, *Mod. Phys. Lett.* **A11** (1996) 899.
- [63] A. Perez, M. Rausch de Traubenberg and P. Simon, *Nucl. Phys.* **B 482** (1996) 325.
- [64] M. Rausch de Traubenberg and P. Simon, accepté pour publication par *Nucl. Phys. B*, hep-th/9606188.

- [65] S. Durand, *Mod. Phys. Lett* **A8** (1993) 2323.
- [66] N. Debergh, *J. Phys.* **A26** (1993) 7219; N. Mohammadi, *Mod. Phys. Lett.* **A10** (1995) 1287; L. P. Colatto and J. L. Matheus-Valle, *J. Math. Phys.* **37** (1996) 6121.
- [67] J. L. Matheus-Valle and Marco A. R. Monteiro, *Phys. Lett.* **B300** (1993) 66; E. H. Saidi, M. B. Sedra and J. Zerouaoui, *Class. and Quantum Grav.* **12** (1995) 1567; E. H. Saidi, M. B. Sedra and J. Zerouaoui, *preprint IC/94/131*, Trieste; A. Kadiri, E. H. Saidi, M. B. Sedra and J. Zerouaoui, *preprint IC/94/216*, Trieste.
- [68] M. Rausch de Traubenberg et M. Slupinski, *Mod. Phys. Lett.* **A12** (1997) 3051, hep-th/9609203.
- [69] V. G. Drinfel'd, *Proc. Int. Cong. of Mathematicians* (MSRI, Berkley 1986).
- [70] C. Zachos, *Proc. Conf. on Deformation Theory of Algebras and Quantization with Applications to Physics*, Contemporary Mathematics, AMS 1991, J. Stasheff et M. Gerstenhaber (ed.).
- [71] Won-Sang Chung, *J. Math. Phys.* **35** (1994) 2497.
- [72] E. Ahmed, N. Mohammadi et S. .S. Al-Mahdy, *Phys. Lett.* **A183** (1993) 277.
- [73] E. G. Floratos, *J. Phys.* **A24** (1991) 4739.
- [74] M. Chaichian et P. Kulish, *Phys. Lett.* **B234** (1990) 72.
- [75] R. Parthasarathy et K. S. Viswanathan, *J. Phys.* **A24** (1991) 613; J. Beckers et N. Debergh, *J. Phys.* **A24** (1991) L1277.
- [76] R. W. Gray et C. A. Nelson, *J. Phys.* **A23** (1990) L945.
- [77] P. P. Kulish et E. V. Damaskinsky, *J. Phys.* **A23** (1990) L415.
- [78] M. Chaichian, P. Kulish et J. Lukierski, *Phys. Lett.* **B262** (1991) 43.
- [79] B. D. Fairlie et C. K. Zachos, *Phys. Lett.* **B256** (1991) 43.
- [80] M. Chaichian, A. P. Isaev, J. Lukierski, Z. Popowicz et P. Presnajder, *Phys. Lett.* **B262** (1991) 32.
- [81] R. Floreanini, V. P. Spiridonov et L. Vinet, *Commun. Math. Phys.* **137** (1991) 149.
- [82] N. Fleury et M. Rausch de Traubenberg, dans *Leite Lopes Festschrift* (World Scientific, Singapore, 1988).
- [83] M. Chaichian et A. P. Demichev, *Phys. Lett.* **B320** (1993) 273.
- [84] J. Wess et B. Zumino, *Nucl. Phys. (Proc. Suppl.)* **18B** (1990) 302.
- [85] W. Pusz et S. L. Woronowicz, *Rep. Math. Phys.* **27** (1989) 231; W. Pusz, *Rep. Math. Phys.* **27** (1989) 349.
- [86] M. Jimbo, *Int. J. Mod. Phys.* **A4** (1989) 3759.

- [87] O. W. Greenberg, Phys. Rev. **D43** (1991) 4111; R. N Mohapatra, Phys. Lett. **B242** (1990) 407.
- [88] M. Chaichian, R. Gonzalez Felipe et C. Montonen, J. Phys. **A26** (1993) 4017.
- [89] F. A. Berezin, *Introduction to Superanalysis* (édité par A. A. Kirillov, D. Reidel pub. Cie, Dordrecht, Boston, Lancaster, Tokyo, 1987).
- [90] S. Coleman and J. Mandula, Phys. Rev. **159** (1967) 1251.
- [91] R. Haag, J. T. Lopuszanski and M. Sohnius, Nucl. Phys. **B88** (1975) 257.
- [92] O. Ogievetskii, W. B. Schmidke, J. Wess, B. Zumino, Commun. Math. Phys. **150** (1992) 495.
- [93] L. A. Wills Toro, J. Math. Phys. **36** (1995) 2085; L. A. Wills Toro, *(I, q)–Graded Superspace Formalism For a  $\mathbb{Z}_2 \otimes (\mathbb{Z}_4 \otimes \mathbb{Z}_4)$  Graded Extension of the Poincaré Algebra*, preprint CERN-TH-7505-94.
- [94] R. Kerner, J. Math. Phys. **33** (1992) 403; R. Kerner, Class. and Quantum Grav. **9** (1992) S137; V. Abramov, R. Kerner, B. Le Roy, J. Math. Phys. **38** (1997) 1650.
- [95] V. A. Rubakov et V. P. Spiridonov Mod. Phys. Lett. **A3** (1988) 1337; J. Beckers et N. Debergh Mod. Phys. Lett. **A4** (1989) 1209; S. Durand, R. Floreanini, M. Mayrand et L. Vinet Phys. Lett. **B233** (1989) 158; A. Khare, J. Phys. **A25**(1992) L749; N. Fleury, M. Rausch de Traubenberg et R. M. Yamaleev, Int. J. Mod. Phys. **A10** (1995) 1269.
- [96] G. P. Korchemsky, Int. J. Mod. Phys. **A7** (1992) 3493.
- [97] J. Beckers et N. Debergh, Int. J. Mod. Phys. **A8** (1993) 5041.
- [98] R. S. Dunne, A. J. Macfarlane, J. A. de Azcarraga and J. C. Pérez Bueno, hep-th/9607220, Phys.Lett. **B387** (1996) 294; J. A. de Azcarraga, R. S. Dunne, A. J. Macfarlane, J. C. Pérez Bueno, Czech. J. Phys. **46** (1996) 1235; R. S. Dunne, A. J. Macfarlane, J. A. de Azcarraga and J. C. Pérez Bueno, Czech. J. Phys. **46** (1996) 1235; R. S. Dunne, A. J. Macfarlane, J. A. Azcárraga et J. C. Pérez Bueno, Int. J. Mod. Phys. **A12** (1997) 3275.
- [99] S. Durand, Phys. Lett. **B312** (1993) 115.
- [100] E. Witten, Nucl. Phys. **B188** (1981) 513.
- [101] J. Leinaas and J. Myrheim, Nuovo Cim. **37B** (1977) 1.
- [102] P. Goddard et D. Olive, Int. J. Mod. Phys **A1** (1986) 303.
- [103] L. Brink, S. Deser, B. Zumino, P. Di Vecchia and P. Howe, Phys. Lett. **64B** (1976) 435; L. Brink, P. Di Vecchia and P. Howe, Nucl. Phys. **B118** (1977) 76.
- [104] R. Casalbuoni, Phys. Lett. **62B** (1976) 49; R. Casalbuoni, Nuovo Cimento **33A** (1976) 389; F. A. Berezin and M. S. Marinov, Ann. Phys. **104** (1977) 336; M. Henneaux and C. Teitelboim, Ann. Phys. **143** (1982) 127; V. Y. Fainberg and A. V. Marshakov, Nucl. Phys. **B306** (1988) 659; J. C. Henty, P. S. Howe and P. K. Townsend, Class. and Quantum Grav. **5** (1988) 807.

- [105] P. Howe, S. Penati, M. Pernici and P. Townsend, Phys. Lett **B215** (1988) 555.
- [106] A. P. Balachandran, P. Salomonson, B.-S. Skagerstam and J.-O. Winnberg, Phys. Rev. **D15** (1977) 2308; A. Barducci, R. Casalbuoni and L. Lusanna, Nucl. Phys. **B124** (1977) 521.
- [107] A. M. Polyakov, *Gauge Fields and Strings*, Harwood, 1987; Z. Bern and D. A. Kosower, Nucl. Phys. **B379** (1992) 451; M. J. Strassler, Nucl. Phys. **B385** (1992) 145.
- [108] M. G. Schmidt and C. Schubert, Phys. Lett. **B318** (1993) 438; D. Fliegner, M. G. Schmidt and C. Schubert, Z. Phys. **C64** (1994) 111; M. G. Schmidt and C. Schubert, Phys.Lett. **B331** (1994) 69.
- [109] V. K. Kac et A. K. Raina, *Highest Weight Representation of Infinite Dimensional Lie Algebras*, (World Scientific, Sigapore, 1987).
- [110] M. Rausch de Traubenberg, M. G. Schmidt et C. Schubert, *A Note on 1D Supergravity*, en préparation.
- [111] P. M. A. Dirac, *Lecture on Quantum mechanics* (Belfer Graduate School of Science, Yeshiva University, 1964).
- [112] R. P. Malik, Phys. Lett. **B316** (1993) 257.
- [113] A. A. Belavin, A. M. Polyakov et A. B. Zamolodchikov, Nucl. Phys. **B241** (1984) 333.
- [114] D. Friedan, Z. Qiu et S. Shenker, Phys. Rev. Lett. 52 (1984) 1575; D. Friedan, Z. Qiu et S. Shenker, Phys. Lett. 151B (1985) 37.
- [115] A. B. Zamolodchikov et V. A. Fateev, Sov. Phys. J. E. T. P. **62** (1985) 215.
- [116] D. Kastor, E. Martinec et Z. Qiu, Phys. Lett. **B200** (1988) 434; J. Bagger, D. Nemeschansky et S. Yankielowicz, Phys. Rev. **60** (1988) 389; F. Ravianini, Mod. Phys. Lett. **A3** (1988) 397.
- [117] Philip C. Argyres, James M. Grochocinski et S. -H. Henry Tye, Nucl. Phys. **B367** (1991) 217; Philip C. Argyres, James M. Grochocinski et S. -H. Henry Tye, Nucl. Phys. **B391** (1993) 409.
- [118] P. Goddard, A. Kent and D. Olive, Phys. Lett. **152B** (1985) 88.
- [119] A. M. Polyakov, Phys. Lett. **103B** (1981) 207; A. M. Polyakov, Phys. Lett. **103B** (1981) 211.
- [120] D. Zagier, Commun. Math. Phys. **147** (1992) 199; S. Stanciu, Commun. Math. Phys. **147** (1992) 221.
- [121] T. Nakanishi, Mod. Phys. Lett. **A3** (1988) 1507; T. Nakanishi, Progress Theor. Phys. **82** (1989) 207.
- [122] B. Binengar, J. Math. Phys. **23** (1982) 1511.
- [123] J. Schonfeld, Nucl. Phys. **B185** (1981) 157.
- [124] R. Jackiw et V. P. Nair, Phys. Rev. **D43** (1991) 1933.

- [125] M. S. Plyushchay, Phys. Lett. **B262** (1991) 71; M. S. Plyushchay, Nucl. Phys. **B362** (1991) 54; M. S. Plyushchay, Phys. Lett. **B273** (1991) 250; J. L. Cortes and M. S. Plyushchay, Int. J. Mod. Phys. **A11** (1996) 1427; M. S. Plyushchay, Phys. Lett. **320** (1994) 91; J. L. Cortes and M. S. Plyushchay, J. Math. Phys. **35** (1994) 6049.
- [126] F. Wilczek, Phys. Rev. Lett. **48** (1982) 1144; A. Lerda *Anyons: Quantum Mechanics of Particles with Fractional Statistics* (Springer, Berlin, 1992).
- [127] B. Wybourne, *Classical Groups for Physicists*, (Wiley, New-York, -1974)
- [128] S. Forte et T. Jolicoeur, Nucl. Phys. **B350** (1991) 589.
- [129] D. P. Sorokin et D. V. Volkov, Nucl. Phys. **B409** (1993) 547.
- [130] S. Ferrara and C. A. Savoy, *Supergravity 81* p.47, eds. S. Ferrara and J. .G Taylor, (Cambridge Univ. Press, Cambridge 1982); S. Ferrara, C. A. Savoy and B. Zumino, Phys. Lett. **100B** (1981) 393.